



Cáncer en Guayaquil 2010 - 2014

REGISTRO DE TUMORES SOLCA - GUAYAQUIL

Consejo Directivo Nacional
Sociedad de Lucha contra el Cáncer del Ecuador SOLCA

Ing. José Jouvín Vernaza
Presidente

Sr. Francisco Solá Tanca
Vicepresidente

Dr. César Drouet Candel
Síndico

Ing. Sixto Cuesta Compán
Secretario

Dr. Guillermo Paulson Vernaza
Sub-Secretario

Miembros del Consejo Directivo Nacional

Ing. Carlos Andrade González

Dr. José Baquerizo Maldonado

Ing. Fernando Jiménez Carbo

Ing. José Macchiavello Almeida

Dr. Oswaldo Molestina Zavala

Sr. Juan Paulson Andrade

Dr. Juan Tanca Campozano

Ing. José Suárez Arosemena

Ing. Olmedo Icaza Ruperti

Dr. Ángel Duarte Valverde

Dr. Luis Plaza Febres-Cordero

Dr. Juan Peña Carrasco

Dr. Gabriel Rovayo Vera

Sra. Mirabel Estrada de Suárez

Dr. Ramón Villacreses Peña

Dr. José Apolo Terán

Ing. Juan González Portés

Dr. Lenin Salmon Alvarado

Ing. Francisco Manfredi Trullas

Dignidades de SOLCA Matriz
Instituto Oncológico Nacional “Dr. Juan Tanca Marengo”

Presidente: Ing. José Jouvín Vernaza

Presidente Consejo Hospitalario: Dr. Ramón Villacreses Peña

Gerente General: Ing. Ernesto Burbano De Lara Plaza

Gerente Hospitalario: Dr. Gonzalo Puga Peña

Director Médico: Dr. Guido Panchana Egüez

Dignidades de los Núcleos de SOLCA

NÚCLEO DE AZUAY

Presidente: Ing. Pedro Vintimilla Moscoso

Instituto del Cáncer

Director Médico: Dr. Raúl Alvarado Corral

NÚCLEO DE MANABÍ

Presidente: Dr. Bosco Barberán Mera

Instituto Oncológico Dr. Julio Villacreses Colmont

Director Médico: Dr. Ángel Ganchozo Villavicencio

NÚCLEO DE LOJA

Presidente: Lcdo. Claudio Burneo Burneo

Hospital Oncológico

Director Médico (e): Dr. Luis Morales Vivar

NÚCLEO DE PICHINCHA

Presidente: Dr. Jorge Cevallos Jácome

Hospital Oncológico Solón Espinosa Ayala

Director Médico: Dr. Ramiro Hidalgo Roja

NÚCLEO DE MACHALA

Presidente: Ing. Miriam Aguilar Pesantes

Director Médico del Hospital Oncológico: Dr. Carlos Arreaga Salazar

Dignidades de las Unidades Oncológicas

SANTA ELENA

Coordinador: Eco. Leonor González de Amador

GUARANDA

Coordinador: Dr. Vinicio Campana Baux

BABAHOYO

Coordinador: Ing. Frank Stopar Montero

MILAGRO

Coordinador: Dr. Galo Vaca Rodríguez

AMBATO

Presidente: Ing. Marcelo Mejía

Director Médico: Dr. Diego Pinto

RIOBAMBA

Director Médico: Dr. Ángel Tapia Murillo

REGISTRO DE TUMORES SOLCA GUAYAQUIL GESTIÓN DE LA INFORMACIÓN Y PRODUCTIVIDAD - GIP

DIRECTOR DE REGISTRO DE TUMORES

Dr. Juan Tanca Campozano

JEFE DE GIP

Ing. Leyda Jaramillo Feijoo, Mg

COORDINADOR MÉDICO

Dra. Rina Quinto Briones, MSc

ESPECIALISTA MÉDICO Y EPIDEMIÓLOGO

Dr. Jhony Real Cotto, PhD

REGISTRADORES

Lcdo. Ronald Bastidas Palacios

Ing. Carlos Campoverde Ortiz

Sr. Neycer Loor Mazamba

Sr. Jorge Villarroel Llerena

ANALISTAS ESTADÍSTICOS

Ing. Andrea Jaramillo Briones, Mg

Ing. Ana Roha Ochoa

AGRADECIMIENTO

Nuestro profundo agradecimiento a toda Red Pública Integral de Salud y la Red Complementaria de Salud, conformada por: hospitales y clínicas; así como al Instituto Nacional de Estadísticas y Censos INEC, Médicos Especialistas y personal que no constan en este listado, pero que de manera desinteresada colaboran con el Registro de Tumores, que proporcionan la información de los casos de cáncer y que se ve reflejada en este informe.

¡A Ustedes muchas gracias!

Patólogos

Dra. Andrade Rendon Jessica
Dra. Auncancela Sánchez Jinna
Dra. Bautista Litardo Mariana
Dr. Camacho Alvares Fernando
Dr. Castillo Rodríguez Abel
Dr. Cedeño Navarrete Carlos
Dra. Cevallos De Sánchez María Elena
Dr. Cozarelli Mera Cellini
Dra. Díaz Cevallos Linda
Dr. Estrada Morales Allan
Dr. Franco Estrella Walter
Dr. Garcés Santos Juan Carlos
Dra. Guerrero Cedeño Maritza
Dr. Hidrovo Barreiro Rubén
Dra. Jurado Barahona Kerly
Dra. Kuri González Margarita
Dr. Ledesma Lavayen Mauricio
Dr. Leone Stay Aldo
Dr. Loayza Sánchez Enrique
Dr. Mendoza Moran José
Dr. Miranda Vargas Freddy
Dra. Moran Pareja Eufemia
Dra. Noboa Cercado Andrea
Dra. Nuques Martínez María
Dra. Pérez Cepeda Carolina
Dr. Pérez Merizalde Juan
Dr. Plaza Vélez Luis Enrique
Dr. Ramírez Gaona Alex
Dra. Ramírez Rosero Ana
Dra. Rodas Suarez Patricia
Dra. Romero Coronel Aurora
Dra. Romero García Nelly
Dr. Rubio Coronel Gustavo
Dr. Rubio Sotomayor Alfonso
Dra. Saltos Viteri Diana
Dra. Sánchez Jaramillo Gianella
Dr. Solórzano José Luis
Dra. Soria Arteaga Laura
Dra. Triana Castro Tania
Dra. Urrea Terán Isabel
Dra. Van Isschot De Leone Monserrathe
Dr. Von Buchwald Jervis Carlos

Clínicas

Alborada
Alcívar
Alfa
Altamirano Barcia
Aprofe
Cemoplaf
Domínguez
Fiallos
Galeno
Génesis
Gentile
Gil
Guayaquil
Idrovo
Kennedy
Kennedy Norte
Moderna
Ortiz
Panamericana
Parker
Pasteur
Pediátrica
Proaño
Rendón
San Francisco
San Gabriel
San Marcos
Sánchez Villalta
Santa Ana
Santa Marianita
Sotomayor
Sudamericana
Tamayo Ortega
Universitario
Urdenor
Vargas Ortega
Omni Hospital
Sur Hospital

Instituciones

Coordinación Zonal 8 - Salud
Fuerzas Armadas del Ecuador
Instituto Ecuatoriano de Seguridad Social
Instituto Nacional Estadísticas y Censos del Ecuador
Junta de Beneficencia de Guayaquil
Ministerio de Gobierno del Ecuador
Ministerio de Salud Pública del Ecuador
Registro Civil del Guayas
Sociedad de Lucha Contra el Cáncer del Ecuador
Sociedad Protectora de la Infancia de Guayaquil

Hospitales

Del Niño "Dr. Francisco de Icaza Bustamante"	Ministerio de Salud Pública del Ecuador
Del niño "Dr. Roberto Gilbert Elizalde"	Junta de Beneficencia de Guayaquil
General "Luis Vernaza"	Junta de Beneficencia de Guayaquil
De la mujer Alfredo G. Paulson"	Junta de Beneficencia de Guayaquil
Guayaquil "Abel Gilbert Pontón"	Ministerio de Salud Pública del Ecuador
Infectología "José Rodríguez Maridueña"	Ministerio de Salud Pública del Ecuador
Instituto Nacional de Investigación en Salud Pública "Leopoldo Izquieta Pérez"	Ministerio de Salud Pública del Ecuador
Instituto Oncológico Nacional "Dr. Juan Tanca Marengo"	Sociedad de Lucha Contra el Cáncer Sociedad
León Becerra	Sociedad Protectora de Infancia de Guayaquil
Materno Infantil del Guasmo "Matilde Hidalgo de Procel"	Ministerio de Salud Pública del Ecuador
Naval	Fuerzas Armadas del Ecuador
Neumológico "Alfredo J. Valenzuela"	Ministerio de Salud Pública del Ecuador
Policía Nacional G-2	Ministerio de Gobierno del Ecuador
Psiquiátrico "Instituto de Neurociencias"	Junta de Beneficencia de Guayaquil
Regional "Teodoro Maldonado Carbo"	Instituto Ecuatoriano de Seguridad Social
Territorial	Fuerzas Armadas del Ecuador
Universitario	Ministerio de Salud Pública del Ecuador
Del Día "Dr. Efrén Jurado"	Instituto Ecuatoriano de Seguridad Social
Madre Berenice.	Red de Dispensarios Médicos de la Arquidiócesis de Guayaquil
Sagrada Familia	Privado

CONTENIDO

INTRODUCCIÓN.....	8
METODOLOGÍA	9
PIRÁMIDE POBLACIONAL DE GUAYAQUIL. 2010-2014.....	11
PIRÁMIDE POBLACIONAL DE GUAYAQUIL. 2010-2014	12
COMPARACIÓN DE PIRÁMIDE POBLACIONAL DE GUAYAQUIL	12
PRINCIPALES LOCALIZACIONES DE CÁNCER RESIDENTES EN LA CIUDAD DE GUAYAQUIL. 2010-2014	14
TODOS LOS SITIOS	15
ESTÓMAGO.....	16
COLON-RECTO	17
HÍGADO	18
PULMÓN.....	19
MELANOMA.....	20
PIEL	21
MAMA	22
CUELLO DEL ÚTERO INVASOR.....	23
CUELLO DEL ÚTERO	24
IN SITU	24
OVARIO.....	25
PRÓSTATA.....	26
ENCÉFALO.....	27
TIROIDES.....	28
LINFOMA NO HODGKIN	29
LEUCEMIAS	30
CÁNCER INFANTIL RESIDENTES EN LA CIUDAD DE GUAYAQUIL. 2010-2014.....	31
ANEXOS	35
TASAS DE INCIDENCIA DEL CÁNCER INFANTIL DE 0 A 19 AÑOS EN NIÑOS. RESIDENTES EN GUAYAQUIL.....	36
TASAS DE INCIDENCIA DEL CÁNCER INFANTIL DE 0 A 19 AÑOS EN NIÑAS. RESIDENTES EN GUAYAQUIL.....	36
TASAS DE INCIDENCIA DE RESIDENTES EN GUAYAQUIL SEGÚN GRUPOS DE EDAD POR 100.000. 2010-2014 HOMBRES	37
TASAS DE INCIDENCIA DE RESIDENTES EN GUAYAQUIL SEGÚN GRUPOS DE EDAD POR 100.000. 2010-2014 MUJERES.....	39
LOCALIZACIÓN TOPOGRÁFICA SEGÚN DIAGNÓSTICO HISTOLÓGICO Y SEXO. RESIDENTES EN GUAYAQUIL 2010- 2014.....	41
INCIDENCIA DE CÁNCER DETERMINADO POR INSTITUCIÓN Y POR SEXO	54
TRABAJOS, PÓSTERES Y CONTRIBUCIONES REALIZADAS	55

INTRODUCCIÓN

Los registros de cáncer de base poblacional, recolectan en forma continua y sistemática todos los casos nuevos de cáncer que se diagnostican entre los habitantes de un área geográfica bien definida a partir de una fecha determinada; y como producto final se efectúan estas publicaciones.

A fines del año 2001, el MSP inició un proceso de desarrollo de un Sistema Integrado de Vigilancia Epidemiológica cuyo objetivo es proveer información necesaria a los actores de todos los niveles de salud para planificar y evaluar el impacto de sus intervenciones.

La Sociedad de Lucha Contra el Cáncer - SOLCA y sus núcleos, son los responsables del registro de las neoplasias en el Ecuador; por el cual, se tienen sistemas de vigilancia que recolectan, almacenan, procesan y analizan de forma continua y sistemática datos sobre los casos de cáncer que se producen en una población, estos son los denominados “Registros de Tumores”.

En Guayaquil el registro de tumores depende de SOLCA Matriz; es de anotar, que esta ciudad se localiza en la costa del Pacífico del Ecuador, se divide en 16 parroquias urbanas, y 10 distritos; siendo la ciudad con mayor densidad poblacional en el país.

Con la investigación epidemiológica realizada de carácter observacional, se puede describir con exactitud la residencia del caso investigado y se construyen indicadores con mayor precisión; contribuyendo a la vigilancia epidemiológica y por ende al mejoramiento en la respuesta de la prestación de servicios de salud, que constituye la segunda función esencial de la salud pública.

El Registro en Guayaquil inicia sus actividades en 1990 hasta la actualidad, aportando en este tiempo con 6 publicaciones las cuales han comprendido periodos de estudios de: 1990 a 1996, 1997 a 2000, 2001 a 2002, 2003 a 2006, 2007 a 2009 y esta última de 2010 a 2014.

En este período se mantiene la relación de aproximadamente de 0,78 / 1 (hombres / mujeres).

Siguiendo la comparación de los tres últimos periodos de publicación, es decir 1999 a 2002; 2003 a 2006; 2007 a 2009 se observa lo siguiente:

Aunque la relación se mantiene en el porcentaje de cáncer por sexo, en las diferentes localizaciones no se presentan de forma igual; este último período los canceres con mayor frecuencia en **hombres** fueron: (C44) Piel no Melanoma con una tasa estandarizada de 32,17 casos por cada 100.000 habitantes, seguido de (C61) Tumor maligno de Próstata (30,70); (C16) Tumor maligno de Estómago (17,57); (C42) Sistema hematopoyético y reticuloendotelial (11,02); (C34) Tumor maligno de los Bronquios y del Pulmón (9,26); (C18) Tumor maligno de Colon - Recto (11,72); entre otros.

En cuanto a los Tumores en las **mujeres** se tuvo al (C50) Tumor maligno de Mama con tasa estandarizada de 34,03 casos por cada 100.000 habitantes, seguido de (C44) Piel no Melanoma (26,27); (C53) Tumor maligno de Cuello de Útero Invasor (20,30); (C16) Tumor maligno de Estómago (9,93); (C42) Sistema hematopoyético y reticuloendotelial (9,16); (C73) Tumor maligno de la Glándula Tiroides (8,54); entre otros.

En este periodo se observó en los hombres un incremento de la tasa cruda del año 2010 al 2014 del Sistema hematopoyético y reticuloendotelial del 35%; Tumor maligno de Piel del 33%; Tumor maligno de Estómago del 11%; en cuanto a Próstata es estable su presentación.

En lo referente a los Tumores en las mujeres hubo un incremento en el Tumor maligno de Cuello de Útero del 43%; Tumor maligno de Piel del 42%; Tumor maligno de Mama del 18%, Tumor maligno de Glándula Toroides del 14%; mientras que el Tumor maligno de Estómago y Colon se mantienen constantes entre el inicio y fin del período estudiado.

En esta publicación, se presentan los resultados del estudio de Supervivencia de Cáncer – Concord 3 de las neoplasias más frecuentes entre hombres y mujeres de la ciudad de Guayaquil.

Dr. Juan Tanca Campozano
DirectordelRegistrodeTumoresSOLCAGuayaquil

METODOLOGÍA

El Registro de Tumores de SOLCA, es un registro de base poblacional y su área geográfica es la ciudad de Guayaquil.

La metodología consiste en una recolección activa de casos de cáncer diagnosticados en las distintas fuentes de información, tales como: laboratorios de patología, hematología, citología, establecimientos de salud públicos y privados, donde los registradores revisan las historias clínicas para completar los datos clínicos y demográficos del paciente. Además, se visitan otras fuentes de información, tales como: Instituto Nacional de Estadísticas y Censos INEC, para los egresos hospitalarios y certificados de defunción.

El análisis de la información se realiza a través de las medidas epidemiológicas: proporción, porcentaje, tasas de incidencia (cruda, específicas por edad, estandarizada, truncada). Además de indicadores de calidad razón incidencia/mortalidad, porcentaje de casos conocidos por certificado de defunción y verificación histológica.

Para garantizar exhaustividad y calidad de los datos, se confronta la base del registro con los certificados de defunción enviados por el departamento de estadística de la Coordinación Zonal 8 - Salud en Guayaquil.

Los certificados de defunción por cáncer que no se encuentran en la base de datos del registro, son sometidos a una investigación retrospectiva, donde se rastrean las actas de defunción identificando el hospital y médico que certifica la defunción y luego se visita para confirmar la base de diagnóstico del certificado.

BASE DE DATOS

El registro de tumores recolecta información desde el año 1990, la cual se ingresa a través del sistema informático desarrollado por el departamento de cómputo de SOLCA Guayaquil en plataforma ORACLE. El registro lleva más de 20 años almacenando información de casos de cáncer en hombres y mujeres en Guayaquil de forma permanente.

CÓDIGO DE CLASIFICACIÓN

Las tabulaciones en este informe comprenden todos los nuevos casos de cáncer. El carcinoma in situ del cérvix uterino, se lo clasificó separadamente, los cánceres invasivos se clasifican en los sitios respectivos. Se omiten lesiones precancerosas de los otros sitios, y se clasifican a todas las neoplasias malignas del sistema nervioso central.

TOPOGRAFÍA Y MORFOLOGÍA DEL TUMOR

En este informe todos los casos tanto la topografía como la morfología se presentan en el formato de ICD-O-III: se clasifican los tumores sólidos según el órgano de origen. Los tumores no sólidos (los linfomas malignos, leucemias y mieloma) se presentan según la categoría de la enfermedad independiente del órgano de origen, la gran mayoría de linfomas se encuentra en la codificación alfa-numérica C77 y las leucemias y los mielomas están en C42.

EXTENSIÓN DE LA ENFERMEDAD

IN SITU: Posición en que la neoplasia no es invasiva.

LOCALIZADO: Neoplasia invasiva confinada completamente al órgano de origen

REGIONAL: La neoplasia se ha extendido más allá de los límites del órgano de origen en los ganglios linfáticos regionales (clínico o histológico) o directamente en el tejido circundante u órganos.

DISTANTE: La neoplasia se ha extendido a otros ganglios linfáticos, metástasis a los órganos remotos (al hígado, pulmón, al cerebro, a la piel, al hueso, sistema nervioso central).

SIN ESTADIO: La información es desconocida o insuficiente para asignar una fase.

BASE DEL DIAGNÓSTICO

La base del diagnóstico es:

- 0 Defunción
- 1 Clínica
- 2 Rayos x y otros
- 3 Cirugía
- 4 Citología
- 5 Hematología
- 6 Histología de metástasis
- 7 Histología del tumor primario
- 8 Autopsia

TUMORES MÚLTIPLES

Los tumores múltiples en los diferentes órganos son registrados como enfermedades separadas según los criterios establecidos por la IACR, donde se indica que el tumor múltiple es aquel que se origina en un tejido o localización primaria y no es una extensión, recidiva o metástasis. Debe estar localizado en diferente sitio anatómico o, si está en la misma localización, su morfología debe pertenecer a una familia histopatológica distinta.

CALIDAD DE LOS DATOS

Para garantizar la calidad de los casos de cáncer ocurridos en la ciudad de Guayaquil y recolectados por el Registro de tumores, se deben medir los indicadores de exhaustividad y validez, además debe permitir comparación con los datos de otros registros de cáncer.

En exhaustividad, se calcula la razón mortalidad/incidencia. En promedio en todas las localizaciones del 2010-2014 excluyendo cáncer de piel no melanoma y los tumores in situ, se obtuvieron índices de mortalidad/incidencia del 43.8% en hombres y 40.9% en mujeres.

La Validez, se determina por el porcentaje de casos conocidos por los certificados de defunción, el porcentaje de casos con verificación histológica y el porcentaje de casos sin edad. En el periodo 2010-2014 el porcentaje de casos que ingresaron por certificado de defunción fue del 3,7% y con porcentaje de verificación histológica fue del 83%.

DEFINICIONES

Edad. Es la edad en años al momento del diagnóstico.

Residencia. Es la municipalidad de residencia en el momento del diagnóstico.

Proporción. Es la comparación de dos variables con características similares y se obtiene al realizar la variable estudiada en el numerador y en el denominador la variable estudiada más el resto de la población en estudio.

Razón. Es la comparación de dos variables que tienen características distintas.

Incidencia. Es el número de los casos nuevos de cáncer en una población definida dentro un periodo de tiempo especificado.

Tasa de Incidencia. Es el número de los casos nuevos de cáncer que se informaron dentro de un periodo definido de tiempo dividido para la población en riesgo en el mismo periodo (persona-años) de tiempo (generalmente expresado como la tasa por 100.000 personas por años).

Tasa Estandarizada. Son las tasas totales de incidencia que se ajustaron a la edad por medio del método directo y de la población mundial estándar.

Las tasas más altas de cáncer se presentan entre la población adulta, de ahí que las tasas crudas o brutas se vean afectadas por la estructura poblacional del lugar que se analiza. La manera de eliminar esta distorsión y por lo tanto volverlas comparables con otros registros de cáncer nacionales e internacionales es la estandarización, para lo cual existen varios métodos estadísticos. En este registro al igual que otros registros del Ecuador se utiliza el método directo, que consiste en aplicar las tasas específicas de cada grupo de edad en la distribución de la población mundial sugerida por la Agencia Internacional de Registros de Cáncer.

Tasa Cruda o Bruta. Es el número total de casos nuevos en un año, dividido para la población en estudio multiplicado por la constante de 100.000 y se expresa en tasas por 100.000 habitantes.

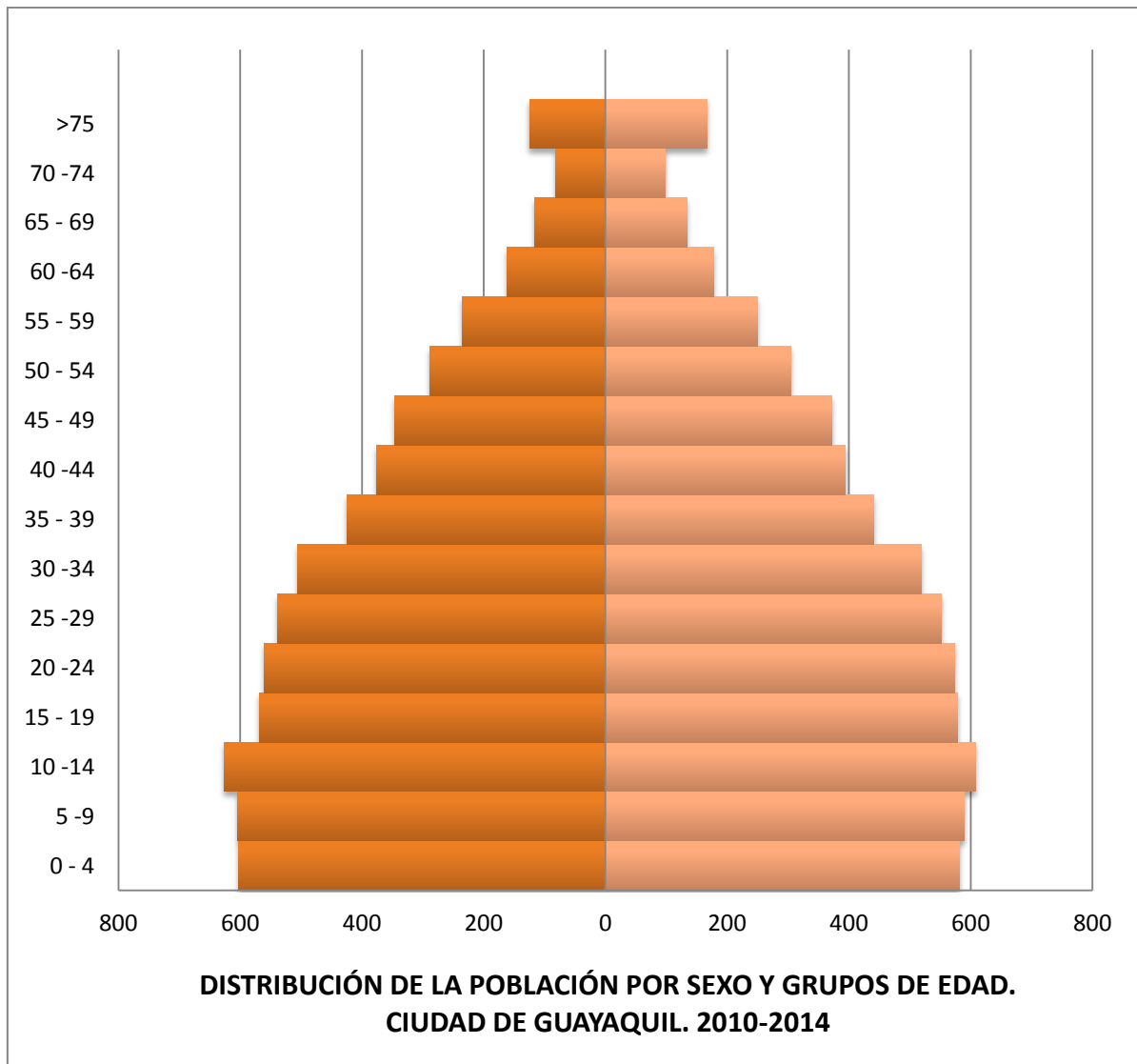
Tasa de Edad-Específica. Es la tasa de incidencia para los casos y la población de referencia en una edad especificada (grupo etario).

Tasa de Mortalidad. Es la relación entre el número de muertes ocurrido por cáncer y la población de riesgo dentro de un periodo definido de tiempo, multiplicando por el factor de amplificación 100.000.

Tendencia. Representa la direccionalidad de las tasas en los diferentes años. Utilizándose regresión lineal simple y la significación se realizó mediante análisis de varianza.

PIRÁMIDE POBLACIONAL DE GUAYAQUIL. 2010-2014

PIRÁMIDE POBLACIONAL DE GUAYAQUIL. 2010-2014

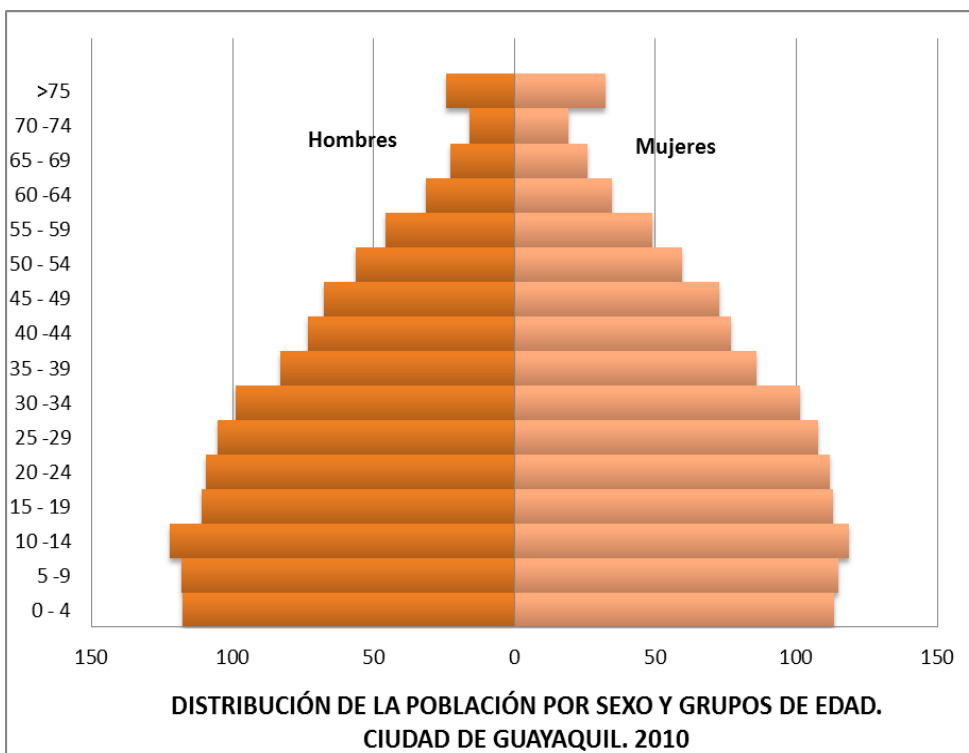
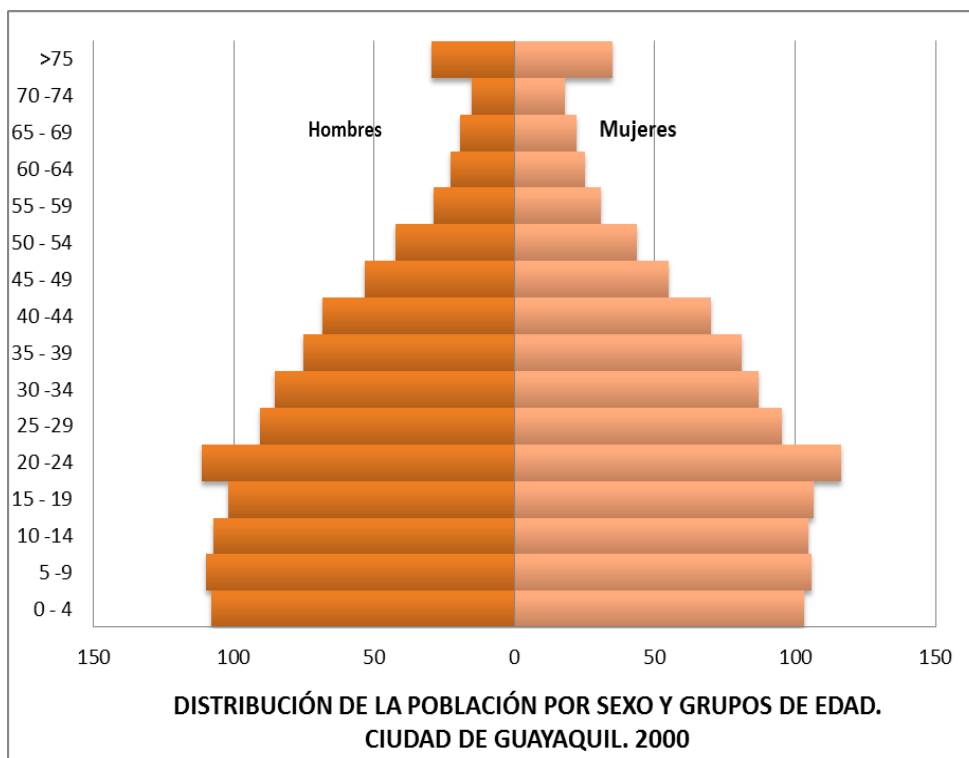


Hombres 6'160.757

Mujeres 6'274.754

En el año 2012 la población estimada para hombres es **1'232.371** y para mujeres es **1'269.050** siendo el mismo el punto medio del periodo 2010 a 2014.

COMPARACIÓN DE PIRÁMIDE POBLACIONAL DE GUAYAQUIL

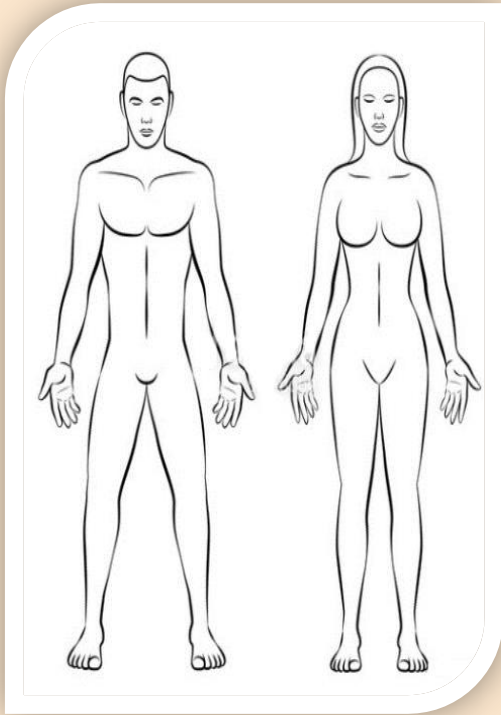


En los gráficos de población se puede observar un incremento en la población en el grupo etario de 10 a 14 años tanto para hombres como para mujeres.

PRINCIPALES LOCALIZACIONES DE CÁNCER RESIDENTES EN LA CIUDAD DE GUAYAQUIL. 2010-2014

TODOS LOS SITIOS

GUAYAQUIL



En Guayaquil, se diagnosticaron un promedio anual de **4.078** casos nuevos de cáncer, siendo el **44%** en hombres y **56%** en mujeres. La tasa bruta de incidencia es de **147,01** en hombres y **181,70** en mujeres por cada 100.000 habitantes. La tasa bruta de mortalidad es de **64,08** en hombres y **70,77** en mujeres por cada 100.000 habitantes.

Los grupos etarios con mayor afectación en mujeres fueron de 45 a 59 años y de 60 a 74 años, y en los hombres de 60 a 74 años. El **81%** de los casos fue con base histológica primaria. Se observa que la incidencia de cáncer en mujeres viene incrementándose en mayor proporción que en hombres; sin embargo, la mortalidad por cáncer presenta un aumento en el año 2005 y se encuentra estable hasta el 2011 que presenta otro incremento y desde ese punto se estabiliza.

Gráfico de Distribución por Grupos de Edad y Sexo

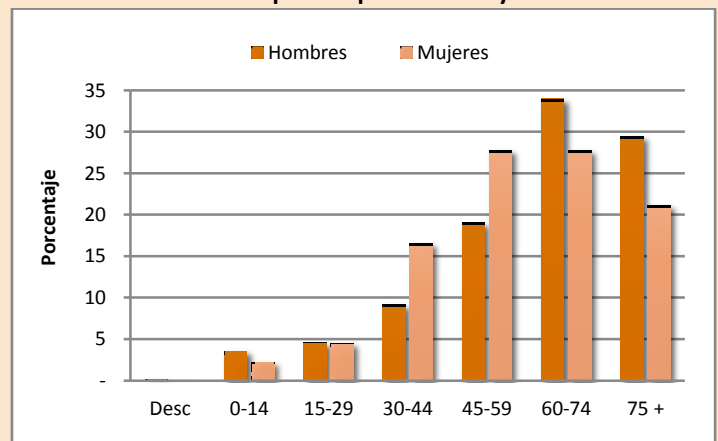


Tabla: Síntesis de Incidencia y Mortalidad

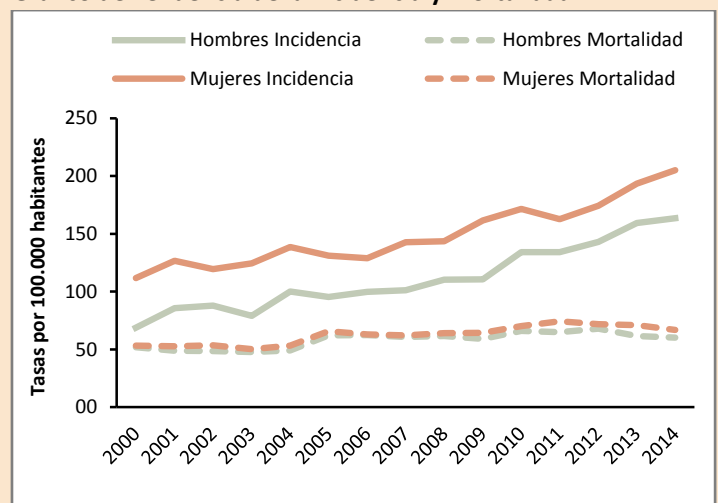
	Incidencia		Mortalidad	
	Hombre	Mujer	Hombre	Mujer
Número de casos	9.057	11.527	3.948	4.490
% del total de casos	44%	56%	47%	53%
Tasa cruda	147,01	181,7	64,08	70,77
Tasa estandarizada	173,25	188,94	74,88	72,85

Tasa por 100.000 hab.

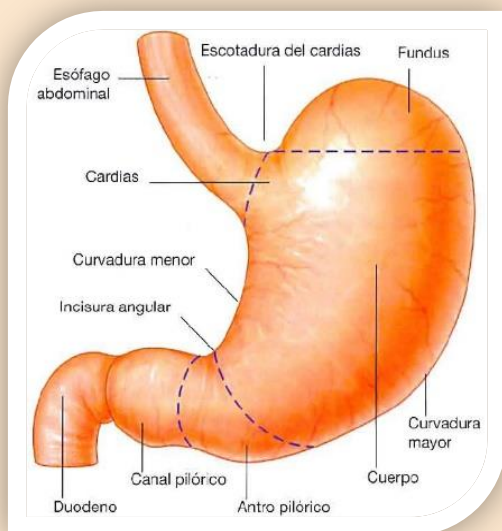
Tabla: Base de Diagnóstico

N° CASOS	MÉTODO	PORCENTAJE
20.584	HISTOLOGÍA PRIMARIO	81,29%
	RX Y OTROS	5,75%
	DEFUNCIONES	3,78%
	CLÍNICA	3,59%
	HEMATOLOGÍA	3,08%
	HISTOLOGÍA DE METÁSTASIS	1,94%
	CITOLOGÍA	0,34%
	CIRUGÍA	0,21%
	DESCONOCIDA	0,00%

Gráfico de Tendencia de la Incidencia y Mortalidad



ESTÓMAGO



Se diagnosticaron un promedio anual de **305** casos nuevos de cáncer de estómago, siendo el **59%** en hombres y **41%** mujeres. La tasa cruda de incidencia es de **18,21** en hombres y **9,87** en mujeres por cada 100.000 habitantes, la tasa cruda de mortalidad es de **9,97** en hombres y **7,8** en mujeres.

Los grupos etarios con mayor afectación en mujeres fueron en mayores de 75 años y en hombres de 60 a 74 años. El **75%** de los casos fue con base de diagnóstico histológico primaria. Se observa, en mujeres y en hombres que la incidencia por cáncer de estómago incrementa, aunque existen algunos años que presentan quiebres en las tendencias en ambos sexos. Igual comportamiento se observa con las tasas de mortalidad, aunque el incremento es menor. La supervivencia en ambos sexos es baja y se mantiene en **14%** en los periodos 2005-2009 y el 2010-2014.

Tabla: Síntesis de Incidencia y Mortalidad

	Incidencia		Mortalidad	
	Hombre	Mujer	Hombre	Mujer
Número de casos	898	626	614	495
% del total de casos	9,9%	5,4%	15,6%	11,0%
Tasa cruda	18,21	9,87	9,97	7,8
Tasa estandarizada	17,57	9,93	11,86	7,79

Tasa por 100.000 hab.

Gráfico de Distribución por Grupos de Edad y Sexo

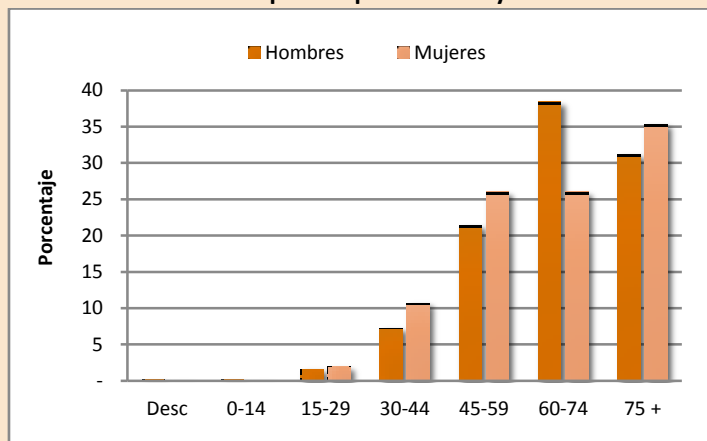
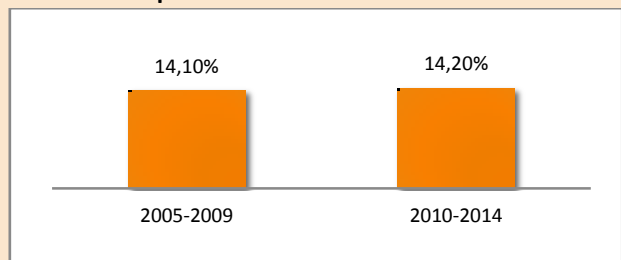


Gráfico de Supervivencia



Fuente: "Global surveillance of trends in cancer survival 2000–14 (CONCORD-3)", de Allemani, C., Matsuda, T., Di-Carlo, V., et al., 2018, The Lancet.

Gráfico de Tendencia de la Incidencia y Mortalidad

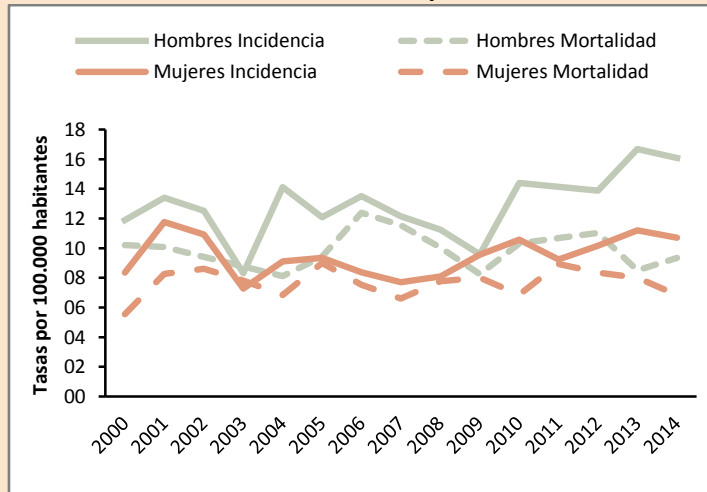
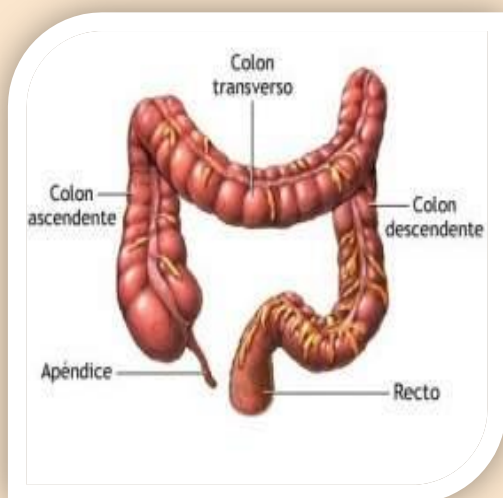


Tabla: Base de Diagnóstico

Nº CASOS	MÉTODO	PORCENTAJE
1.524	HISTOLOGÍA PRIMARIO	75,4%
	DEFUNCIONES	10,8%
	RX Y OTROS	7,5%
	CLÍNICA	6,2%
	CITOLOGÍA	0,1%
	HISTOLOGÍA DE METÁSTASIS	0,1%

COLON-RECTO



Se diagnosticaron un promedio anual de **256** casos nuevos de cáncer de colorrectal, **48%** en hombres y **52%** mujeres. La tasa cruda de incidencia fue **9,97** en hombres y **10,5** en mujeres por cada 100.000 habitantes. La tasa cruda de mortalidad fue **4,92** en hombres y **6,64** en mujeres.

Los grupos etarios con mayor afectación en mujeres fueron en 60 a 74 años y mayores de 75 años, y en hombres de 60 a 74 años. El **84%** de los casos tuvo base de diagnóstico histológico. Se observa una tendencia creciente en la incidencia del cáncer colon-rectal para ambos sexos; mientras que las tasas de mortalidad presentan un ligero incremento a partir del año 2006 en hombres y a partir del 2008 en las mujeres. Con respecto a la supervivencia se observa disminución en el cáncer de colon del **44%** en el 2005-2009 al **40%** en 2010-2014, mientras que el de recto se mantiene estable en ambos periodos con un **38%**, aunque es inferior al cáncer de colon.

Tabla: Síntesis de Incidencia y Mortalidad

	Incidencia		Mortalidad	
	Hombre	Mujer	Hombre	Mujer
Número de casos	614	666	303	421
% del total de casos	6,8%	5,8%	7,7%	9,4%
Tasa cruda	9,97	10,50	4,92	6,64
Tasa estandarizada	11,72	10,86	5,77	6,72

Tasa por 100.000 hab.

Gráfico de Distribución por Grupos de edad y sexo

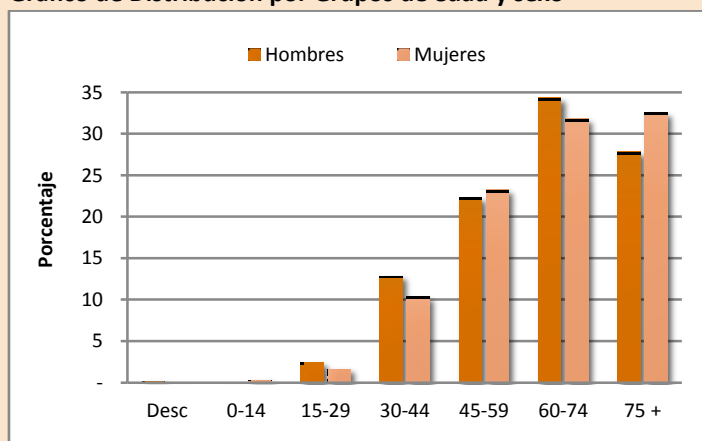
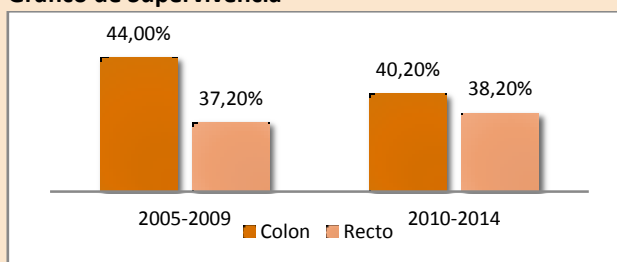


Gráfico de Supervivencia

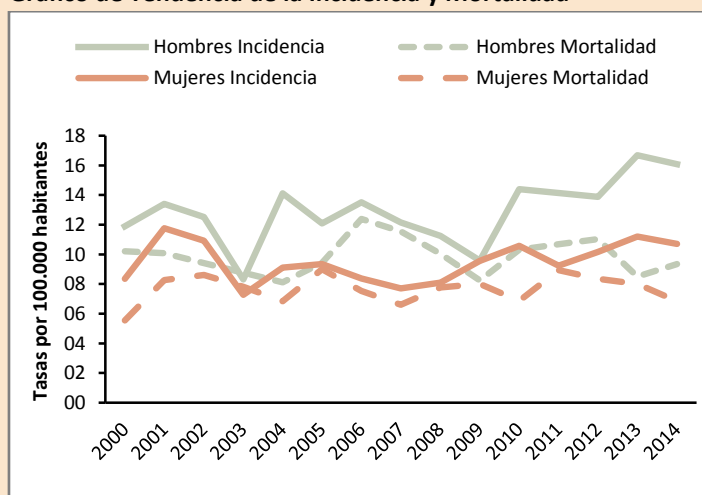


Fuente: "Global surveillance of trends in cancer survival 2000-14 (CONCORD-3)", de Allemani, C., Matsuda, T., Di-Carlo, V., et al., 2018, The Lancet.

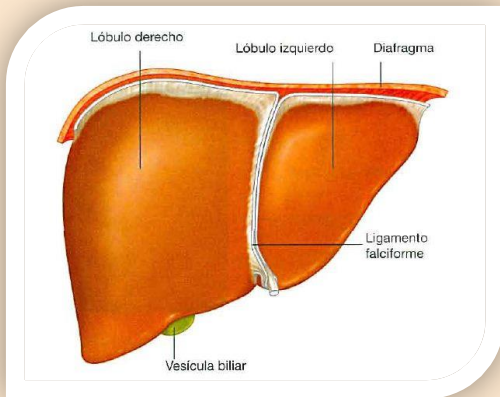
Tabla: Base de Diagnóstico

N° CASOS	MÉTODO	PORCENTAJE
1.280	HISTOLOGÍA PRIMARIO	83,8%
	CLÍNICA	5,2%
	RX Y OTROS	5,2%
	DEFUNCIONES	5,0%
	CIRUGÍA	0,8%

Gráfico de Tendencia de la Incidencia y Mortalidad



HÍGADO



Se diagnosticaron en promedio anual de **103** casos nuevos de cáncer de hígado, siendo el **49%** en hombres y **51%** en mujeres. La tasa cruda de incidencia fue **4,06** en hombres y **4,13** en mujeres por cada 100.000 habitantes. La tasa cruda de mortalidad fue **4,22** en hombres y **4,49** en mujeres.

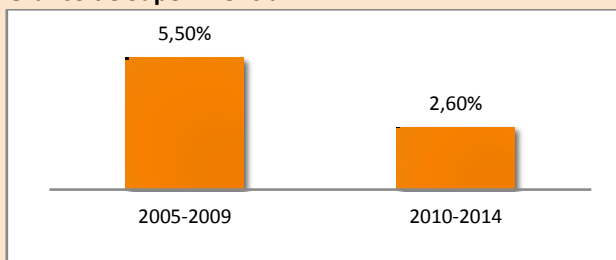
Los grupos etarios con mayor afectación en mujeres fueron en mayores de 75 años y en hombres de 60 a 74 años. El **36%** de los casos fue con base de diagnóstico histológico y un **24%** por certificado de defunción. Se observa en mujeres y hombres un incremento de la incidencia a partir del 2003, luego se estabiliza a partir del año 2005 hasta el 2009; posterior al año 2010 se observa un decrecimiento en la tasa cruda de incidencia, mientras que la mortalidad de dicha patología es variable en ambos sexos. La supervivencia es muy baja en el periodo del 2005-2009 con un **5,5%**, y disminuye aún más en 2010-2014.

Tabla: Síntesis de Incidencia y Mortalidad

	Incidencia		Mortalidad	
	Hombre	Mujer	Hombre	Mujer
Número de casos	253	264	260	285
% del total de casos	2,8%	2,3%	6,6%	6,3%
Tasa cruda	4,06	4,13	4,22	4,49
Tasa estandarizada	4,89	4,21	5,14	4,48

Tasa por 100.000 hab.

Gráfico de Supervivencia



Fuente: "Global surveillance of trends in cancer survival 2000-14 (CONCORD-3)", de Allemani, C., Matsuda, T., Di-Carlo, V., et al., 2018, The Lancet.

Tabla: Base de Diagnóstico

N° CASOS	MÉTODO	PORCENTAJE
517	HISTOLOGÍA PRIMARIO	35,9%
	RX Y OTROS	28,9%
	DEFUNCIONES	24,4%
	CLÍNICA	9,2%
	CIRUGÍA	1,0%
	HISTOLOGÍA DE METÁSTASIS	0,6%

Gráfico de Distribución por Grupos de Edad y Sexo

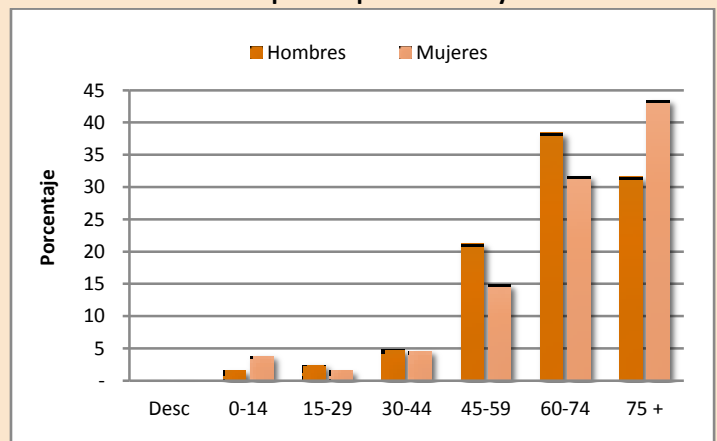
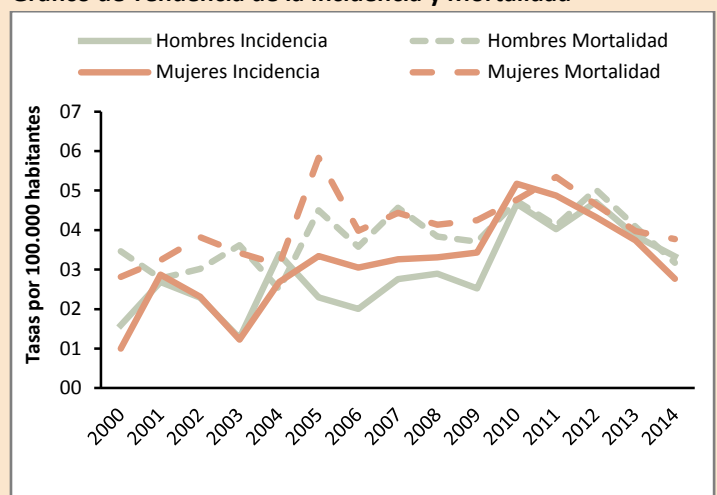
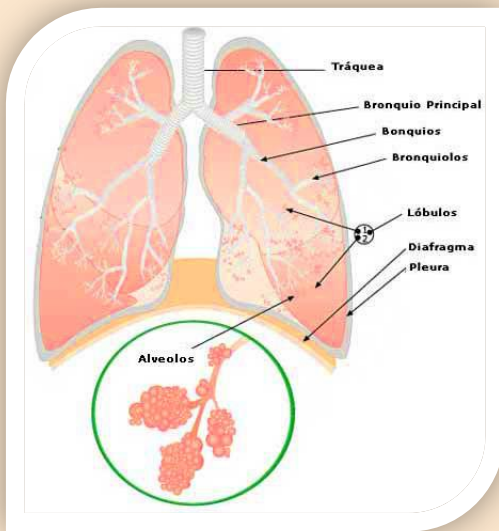


Gráfico de Tendencia de la Incidencia y Mortalidad



PULMÓN



Se diagnosticaron un promedio anual de **161** casos nuevos de cáncer de pulmón, siendo el **59%** en hombres y **41%** en mujeres. La tasa cruda de incidencia fue **7,69** en hombres y **5,25** en mujeres por cada 100.000 habitantes. La tasa cruda de mortalidad fue **8,44** en hombres y **5,26** en mujeres.

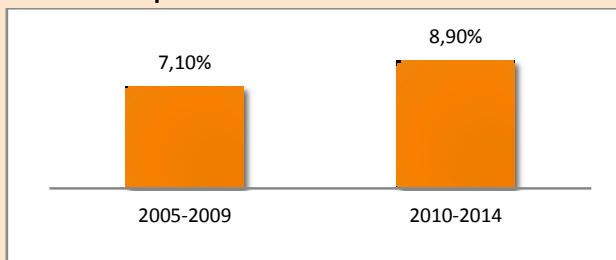
Los grupos etarios con mayor afectación tanto en hombres y mujeres fueron los de 60 a 74 años seguido por los mayores de 75 años. El **51%** de los casos fue con base de diagnóstico histológico. La incidencia del cáncer de pulmón incrementó en hombres de **5.1** en el año 2000 a **7,69** en el año 2014; en mujeres incrementa de **2.3** en el año 2000 a **5,25** en el año 2014. En tanto que la mortalidad muestra ligero decrecimiento en hombres de **7.3** a **7.21** entre los años 2000 y 2014, mientras que en mujeres incrementa de **3.4** en el año 2000 a **5.4** en el año 2014. La supervivencia muestra leve aumento de **7.1%** al **8.9%**.

Tabla: Síntesis de Incidencia y Mortalidad

	Incidencia		Mortalidad	
	Hombre	Mujer	Hombre	Mujer
Número de casos	474	333	520	334
% del total de casos	5,2%	2,9%	13,2%	7,4%
Tasa cruda	7,69	5,25	8,44	5,26
Tasa estandarizada	9,26	5,49	10,01	5,43

Tasa por 100.000 hab.

Gráfico de Supervivencia



Fuente: "Global surveillance of trends in cancer survival 2000–14 (CONCORD-3)", de Allemani, C., Matsuda, T., Di-Carlo, V., et al., 2018, The Lancet.

Tabla: Base de Diagnóstico

Nº CASOS	MÉTODO	PORCENTAJE
807	HISTOLOGÍA PRIMARIO	50,93%
	RX Y OTROS	19,83%
	DEFUNCIONES	17,47%
	CLÍNICA	8,80%
	CITOLOGÍA	1,86%
	CIRUGÍA	0,74%
	HISTOLOGÍA DE METÁSTASIS	0,37%

Gráfico de Distribución por Grupos de Edad y Sexo

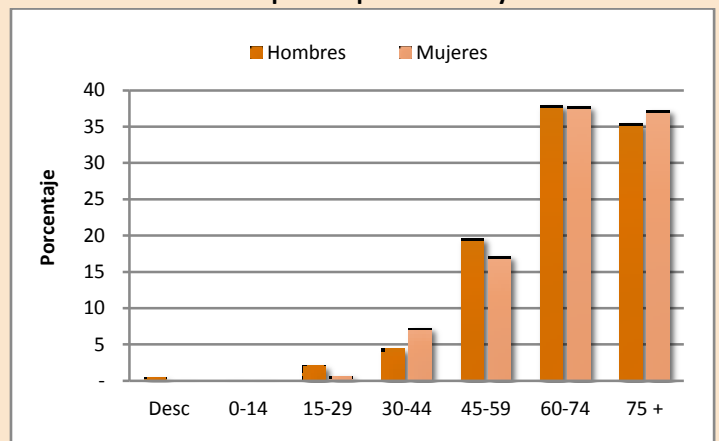
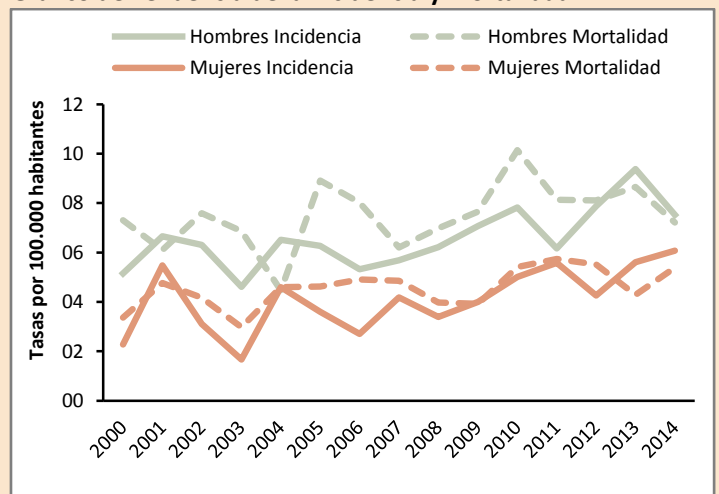
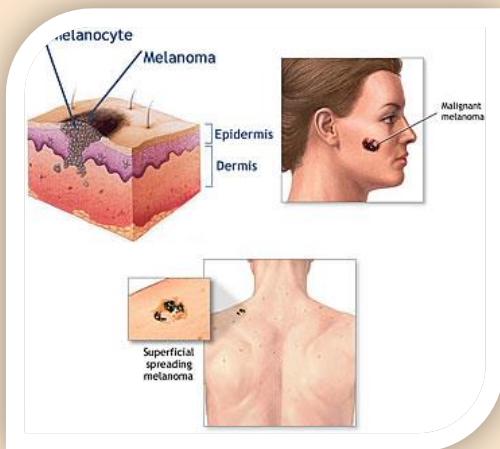


Gráfico de Tendencia de la Incidencia y Mortalidad



MELANOMA



Se diagnosticaron un promedio anual de **35** casos nuevos de melanoma, siendo el **55%** en hombres y **45%** mujeres. La tasa cruda de incidencia fue **1,56** en hombres y **1,25** en mujeres por cada 100.000 habitantes. La tasa cruda de mortalidad fue **0,45** en hombres y **0,35** en mujeres.

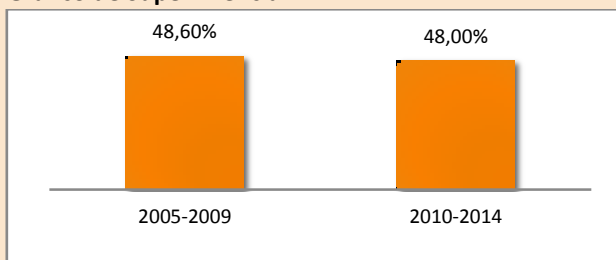
Los grupos etarios con mayor afectación en mujeres y hombres fueron de 60 a 74 años. El 100% de los casos fue con base de diagnóstico histológico. En la incidencia, se observa un incremento ligeramente mayor en hombres que en mujeres y la mortalidad de melanoma tiene un ligero incremento al final del periodo llegando a **2,38** en hombres y a **1,77** en mujeres. La supervivencia se mantiene en **48%** para ambos sexos en los periodos analizados.

Tabla: Síntesis de Incidencia y Mortalidad

	Incidencia		Mortalidad	
	Hombre	Mujer	Hombre	Mujer
Número de casos	96	79	28	22
% del total de casos	1,1%	0,7%	0,7%	0,5%
Tasa cruda	1,56	1,25	0,45	0,35
Tasa estandarizada	1,88	1,29	0,51	0,33

Tasa por 100.000 hab.

Gráfico de Supervivencia



Fuente: "Global surveillance of trends in cancer survival 2000–14 (CONCORD-3)", de Allemani, C., Matsuda, T., Di-Carlo, V., et al., 2018, The Lancet.

Tabla: Base de Diagnóstico

N° CASOS	MÉTODO	PORCENTAJE
175	HISTOLOGÍA PRIMARIO	100%

Gráfico de Distribución por Grupos de Edad y Sexo

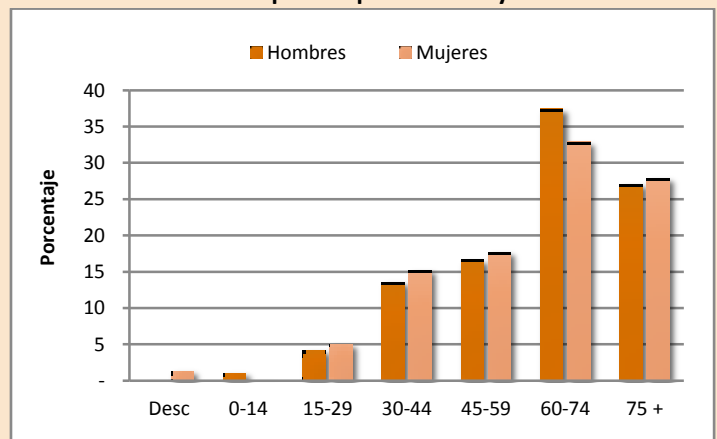
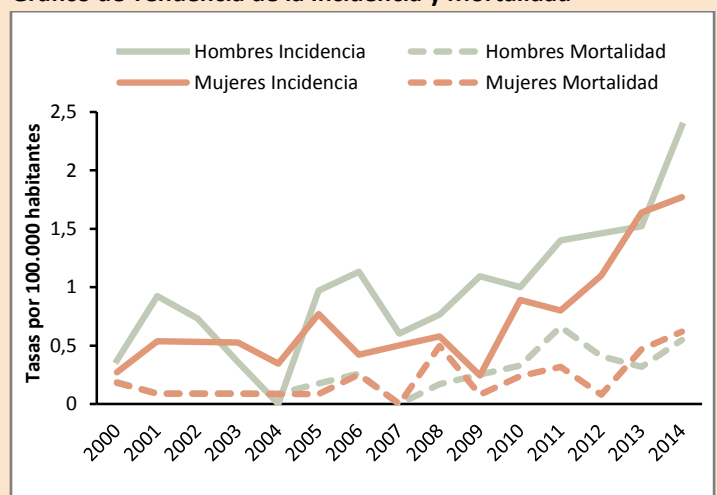
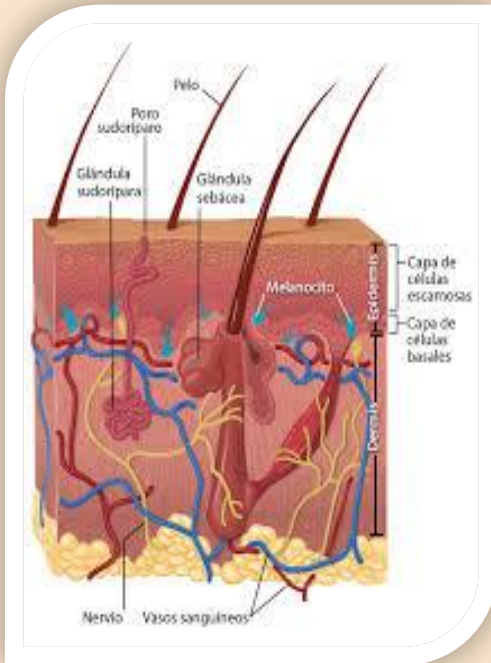


Gráfico de Tendencia de la Incidencia y Mortalidad



PIEL



Se diagnosticaron un promedio anual de **655** casos nuevos de cáncer de piel, siendo el **51%** en hombres y **49%** en mujeres. La tasa cruda de incidencia fue **27,14** en hombres y **25,30** en mujeres por cada 100.000 habitantes. La tasa cruda de mortalidad **0,62** en hombres y **0,50** en mujeres.

Los grupos etarios con mayor afectación tanto en mujeres como en hombres fueron los mayores de 60 años. El **99%** de los casos fue con base de diagnóstico histológico. Se observa una tendencia creciente en la incidencia del cáncer de piel tanto en hombres como en mujeres, mientras que tendencia de la tasa de mortalidad se mantiene en la década, para ambos sexos, inferior a 1.

Gráfico de Distribución por Grupos de Edad y Sexo

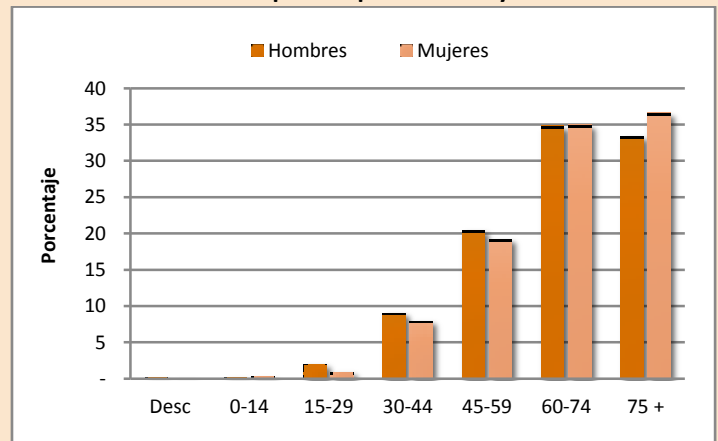


Tabla: Síntesis de Incidencia y Mortalidad

	Incidencia		Mortalidad	
	Hombre	Mujer	Hombre	Mujer
Número de casos	1.672	1.605	38	32
% del total de casos	18,5%	13,9%	1,0%	0,7%
Tasa cruda	27,14	25,30	0,62	0,5
Tasa estandarizada	32,17	26,27	0,69	0,47

Tasa por 100.000 hab.

Gráfico de Tendencia de la Incidencia y Mortalidad

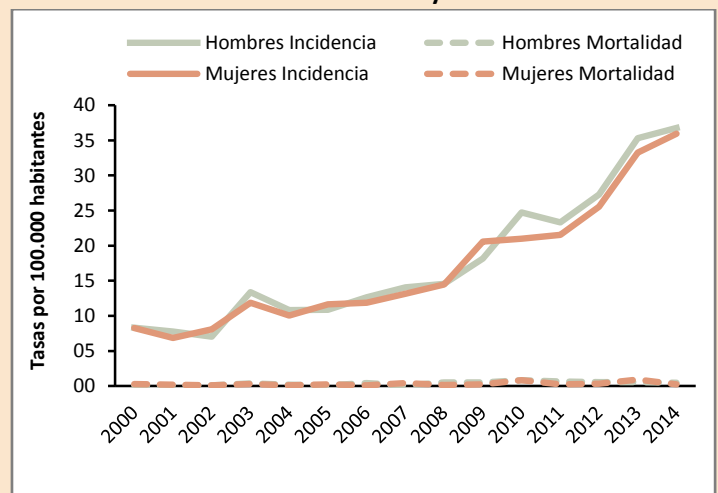
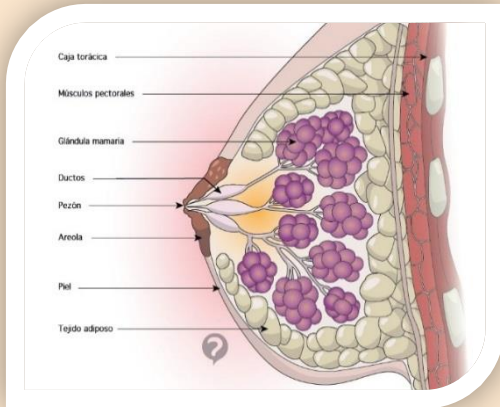


Tabla: Base de Diagnóstico

Nº CASOS	MÉTODO	PORCENTAJE
3277	HISTOLOGÍA PRIMARIO	99,36%
	RX Y OTROS	0,09%
	CLÍNICA	0,52%
	DESCONOCIDA	0,03%

MAMA



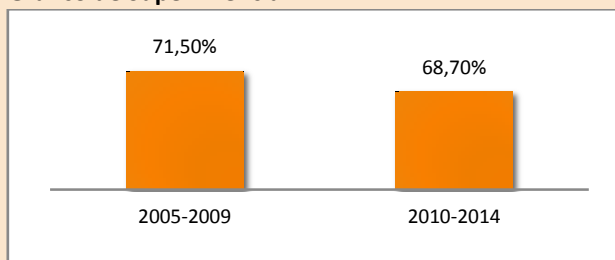
Se diagnosticaron un promedio anual de **414** casos nuevos de cáncer de mama en mujeres. La tasa cruda de incidencia fue **32,63** por cada 100.000 mujeres. La tasa cruda de mortalidad **9,87**. Los grupos etarios con mayor afectación fueron de 45 a 59 años. El **95%** de los casos fue con base de diagnóstico histológico. La tasa de incidencia del cáncer de mama incrementó de **20,0** en el año 2000 a **37,26** en el año 2014, así también, la mortalidad incrementó de **7.1** en el año 2000 a **9,01** en el año 2014. Se observa además una disminución de la supervivencia por esta patología, de **71,5%** en el 2005-2009, a **68,7%** en 2010-2014.

Tabla: Síntesis de Incidencia y Mortalidad

	Incidencia	Mortalidad
Número de casos	2.070	626
% del total de casos	18,0%	13,9%
Tasa cruda	32,63	9,87
Tasa estandarizada	34,03	10,54

Tasa por 100.000 hab.

Gráfico de Supervivencia



Fuente: "Global surveillance of trends in cancer survival 2000–14 (CONCORD-3)", de Allemani, C., Matsuda, T., Di-Carlo, V., et al., 2018, The Lancet.

Tabla: Base de Diagnóstico

N° CASOS	MÉTODO	PORCENTAJE
2.070	HISTOLOGÍA PRIMARIO	95,02%
	CLÍNICA	2,61%
	RX Y OTROS	1,59%
	HISTOLOGÍA DE METÁSTASIS	0,05%
	DEFUNCIONES	0,34%
	CITOLOGÍA	0,14%
	CIRUGÍA	0,24%

Gráfico de Distribución por Grupos de Edad

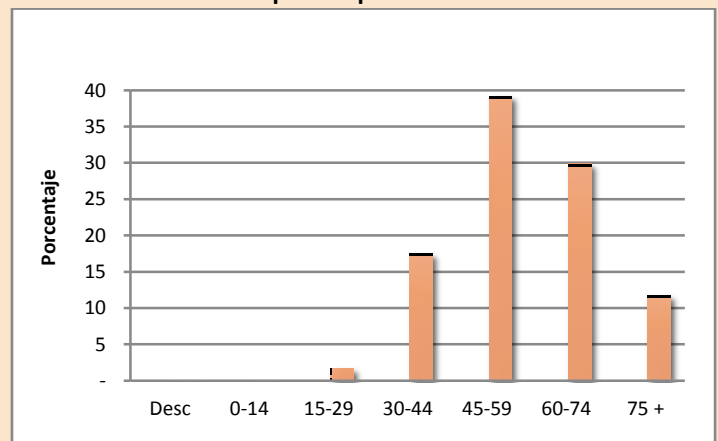
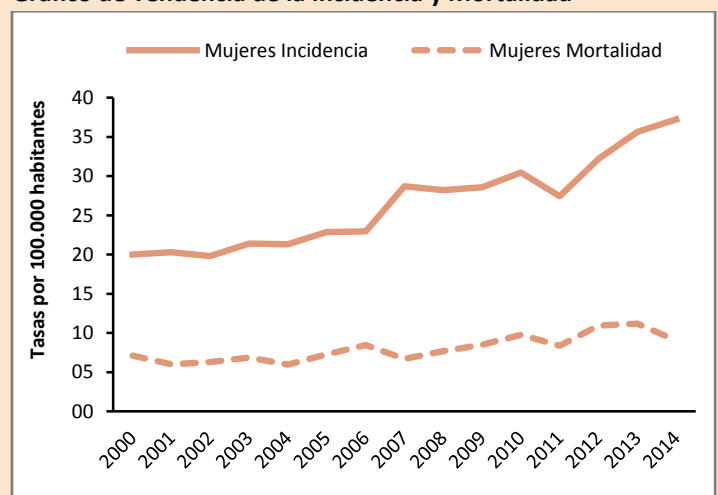
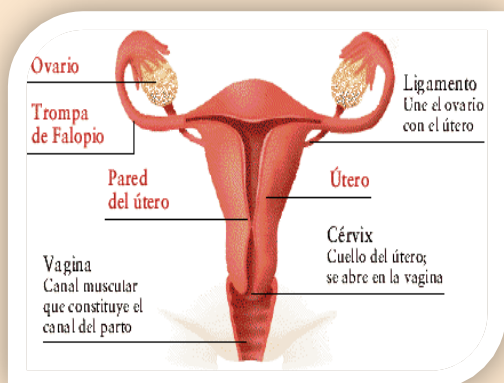


Gráfico de Tendencia de la Incidencia y Mortalidad



CUELLO DEL ÚTERO INVASOR



Se diagnosticaron un promedio anual de **252** casos nuevos de cáncer de cuello del útero invasor, con una razón invasor/in situ de **2,3**, es decir por cada 1 caso in situ se diagnostican 2 invasores. La tasa cruda de incidencia fue **19,91** por cada 100.000 mujeres y la tasa cruda de mortalidad **5,15**.

Los grupos etarios con mayor afectación fueron de 45 a 59 años seguidos de 30 a 44 años. El **96%** de los casos fue con base de diagnóstico histológico. La tasa cruda de incidencia del cáncer de cuello del útero invasor se mantiene estable en casi todo el período, pero en el año 2014 incrementa a **24,85**; en tanto que la tasa cruda de mortalidad incrementó de **4,6** en el año 2000 a **5,16** en el año 2014.

Tabla: Síntesis de Incidencia y Mortalidad

	Incidencia	Mortalidad
Número de casos	1.262	327
% del total de casos	11,0%	7,3%
Tasa cruda	19,91	5,15
Tasa estandarizada	20,30	5,44

Tasa por 100.000 hab.

Gráfico de Distribución por Grupos de Edad

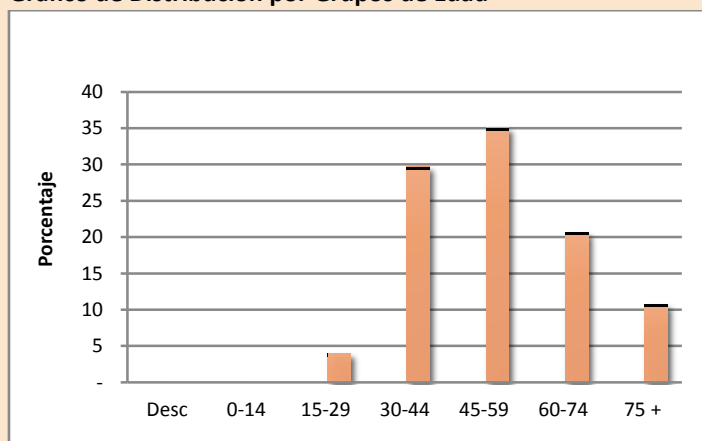
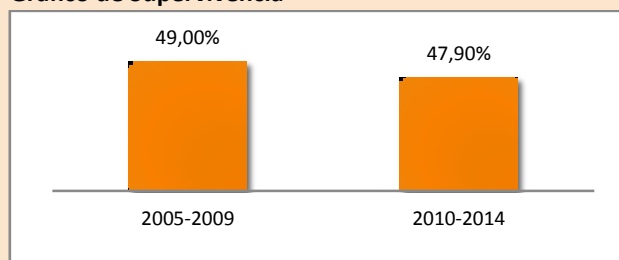


Gráfico de Supervivencia



Fuente: "Global surveillance of trends in cancer survival 2000–14 (CONCORD-3)", de Allemani, C., Matsuda, T., Di-Carlo, V., et al., 2018, The Lancet.

Gráfico de Tendencia de la Incidencia y Mortalidad

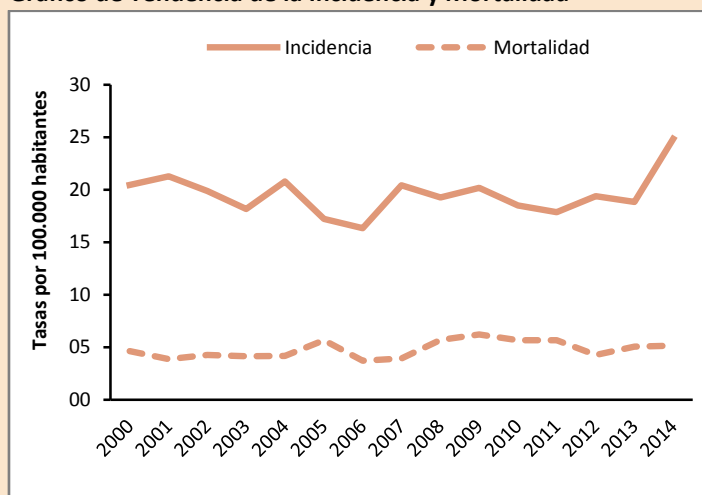
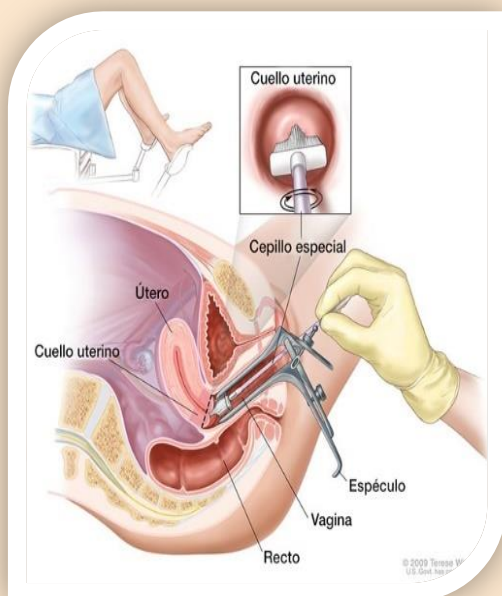


Tabla: Base de Diagnóstico

Nº CASOS	MÉTODO	PORCENTAJE
1.262	HISTOLOGÍA PRIMARIO	95,64%
	CLÍNICA	1,98%
	RX Y OTROS	1,66%
	DEFUNCIONES	0,16%
	CITOLOGÍA	0,55%

CUELLO DEL ÚTERO IN SITU



Se diagnosticaron un promedio anual de **110** casos nuevos de cáncer de cuello del útero in situ. La tasa cruda de incidencia fue **8,65** por cada 100.000 mujeres.

Los grupos etarios con mayor afectación fueron de 30 a 44 años. El **98,7%** de los casos fue con base histológica. Se observa una tendencia decreciente en la incidencia del cáncer de cuello del útero in situ, disminuye de **18,6** en el año 2000 a **7,85** en el año 2014. Con respecto a la mortalidad por esta patología, los 3 casos reportados por primera vez corresponden a 1 caso del año 2013 y 2 casos del año 2014, con una tasa cruda de **0,05** por cada 100.000 mujeres.

Gráfico de Distribución por Grupos de Edad

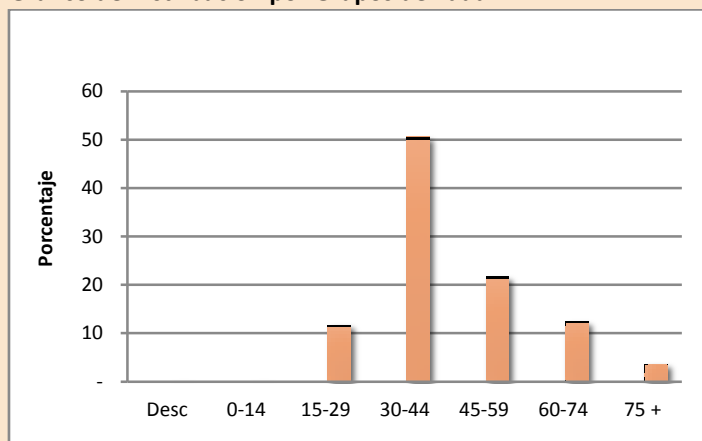


Tabla: Síntesis de Incidencia y Mortalidad

	Incidencia	Mortalidad
Número de casos	549	3
% del total de casos	4,8%	0,03%
Tasa cruda	8,65	0,05
Tasa estandarizada	8,29	0,05

Tasa por 100.000 hab.

Gráfico de Tendencia de la Incidencia y Mortalidad

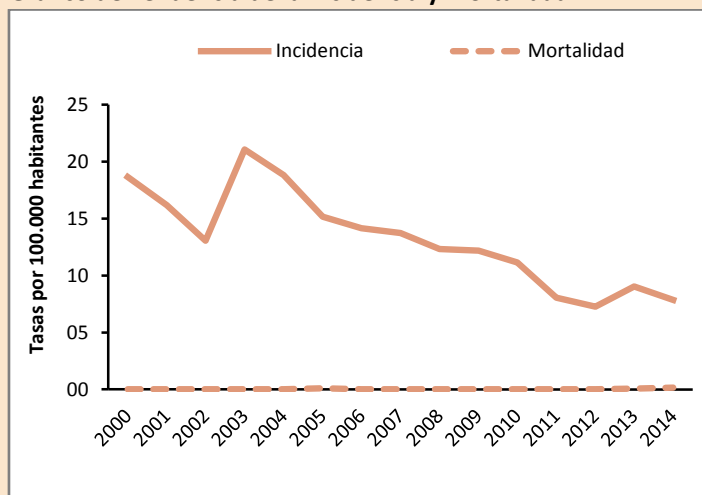
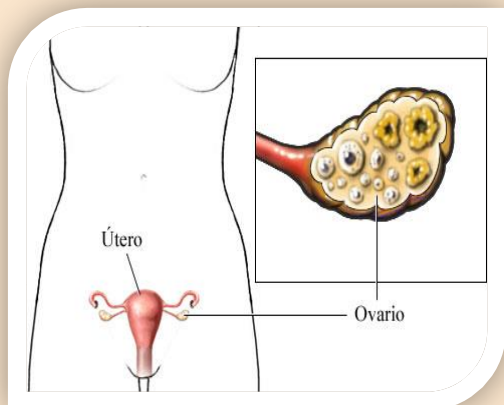


Tabla: Base de Diagnóstico

Nº CASOS	MÉTODO	PORCENTAJE
549	HISTOLOGÍA PRIMARIO	98,72%
	CITOLOGÍA	1,09%
	HISTOLOGÍA DE METÁSTASIS	0,18%

OVARIO



Se diagnostican un promedio anual de **71** casos nuevos de cáncer de ovario. La tasa cruda de incidencia fue **5,58** por cada 100.000 mujeres y la tasa cruda de mortalidad **2,81**.

Los grupos etarios con mayor afectación fueron de 45 a 59 años. El **83,6%** de los casos fue con base de diagnóstico histológico. La tasa cruda de incidencia de cáncer de ovario incrementó de **2,5** en el año 2000 a **5,7** en el año 2014 y la tasa cruda de mortalidad decreció de **2,5** en el año 2000 a **2,39** en el año 2014, sin embargo la supervivencia por esta patología baja de **37,3%** en el 2005-2009 a **35,7%** en el siguiente quinquenio.

Tabla: Síntesis de Incidencia y Mortalidad

	Incidencia	Mortalidad
	Mujer	Mujer
Número de casos	354	178
% del total de casos	3,1%	4,0%
Tasa cruda	5,58	2,81
Tasa estandarizada	5,86	3,02

Tasa por 100.000 hab.

Gráfico de Distribución por Grupos de Edad

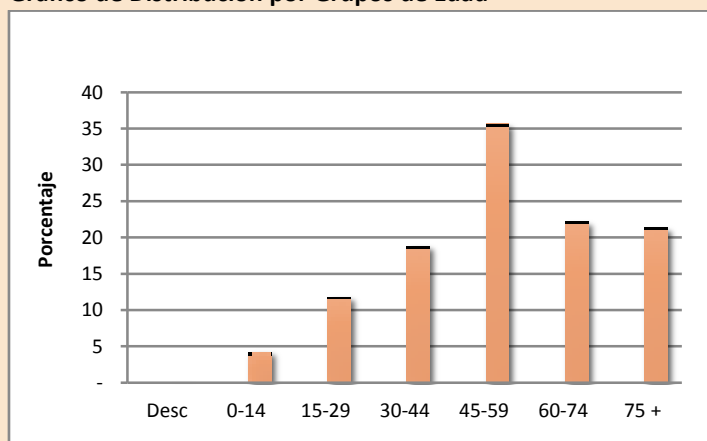
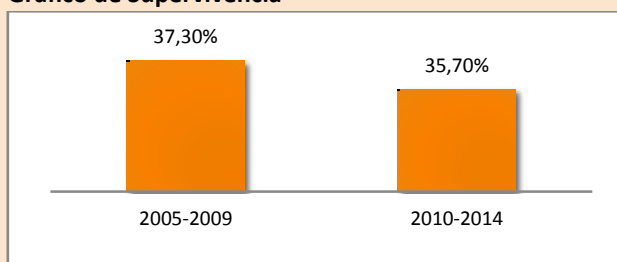


Gráfico de Supervivencia



Fuente: "Global surveillance of trends in cancer survival 2000-14 (CONCORD-3)", de Allemani, C., Matsuda, T., Di-Carlo, V., et al., 2018, The Lancet.

Gráfico de Tendencia de la Incidencia y Mortalidad

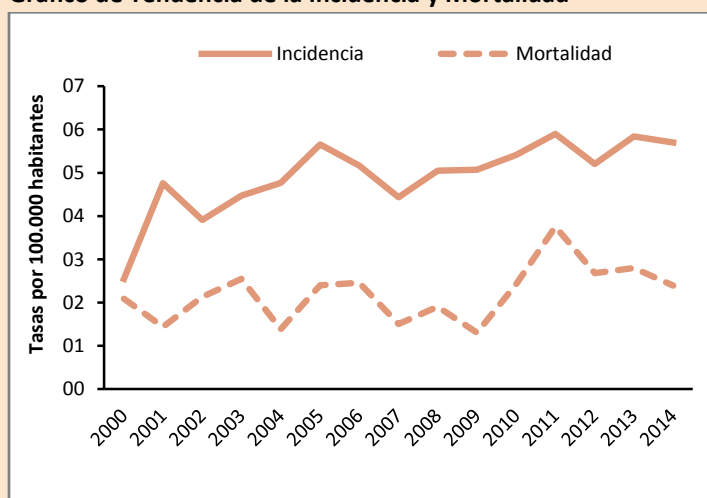
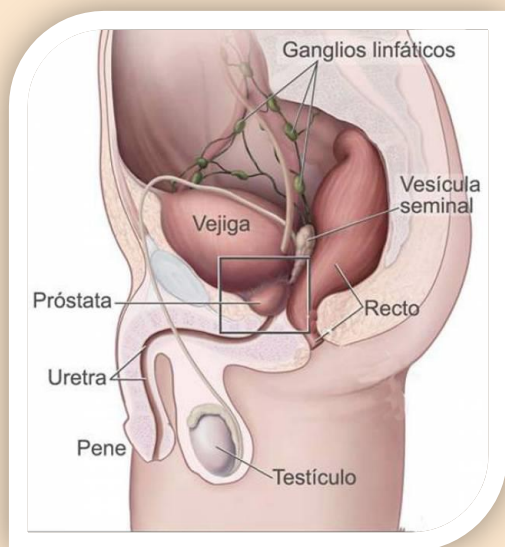


Tabla: Base de Diagnóstico

Nº CASOS	MÉTODO	PORCENTAJE
354	HISTOLOGÍA PRIMARIO	83,62%
	HISTOLOGÍA DE METÁSTASIS	0,56%
	CITOLOGÍA	0,85%
	RX Y OTROS	8,76%
	CLÍNICA	4,52%
	CIRUGÍA	0,85%
	DEFUNCIONES	0,85%

PRÓSTATA



Se diagnosticaron un promedio anual de **305** casos nuevos de cáncer de próstata. La tasa cruda de incidencia fue **24,77** por cada 100.000 hombres y la tasa cruda de mortalidad **10,71**.

Los grupos etarios con mayor afectación fueron mayores de 75 años y de 60 a 74 años. El **81,45%** de los casos fue con base de diagnóstico histológico. Se observa una tendencia creciente en la incidencia del cáncer de próstata, incrementando de **14,2** en el año 2000 a **25,9** en el año 2014; de igual manera la mortalidad muestra un ligero incremento de **8,9** en el año 2000 a **9,35** en el año 2014, mientras que la supervivencia para los dos quinquenios analizados se mantiene en **67%**.

Tabla: Síntesis de Incidencia y Mortalidad

	Incidencia	Mortalidad
Número de casos	1.526	660
% del total de casos	16,9%	16,7%
Tasa cruda	24,77	10,71
Tasa estandarizada	30,70	12,23

Tasa por 100.000 hab.

Gráfico de Distribución por Grupos de Edad.

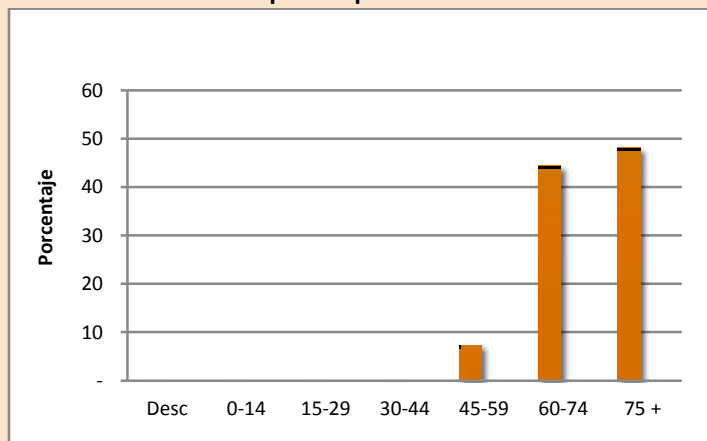
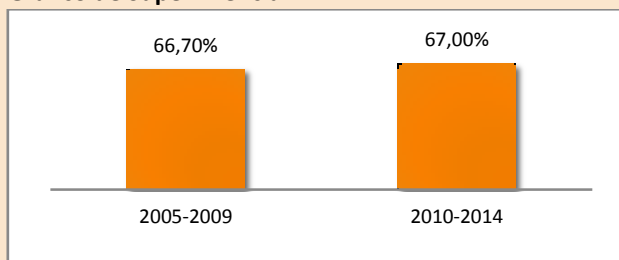


Gráfico de Supervivencia

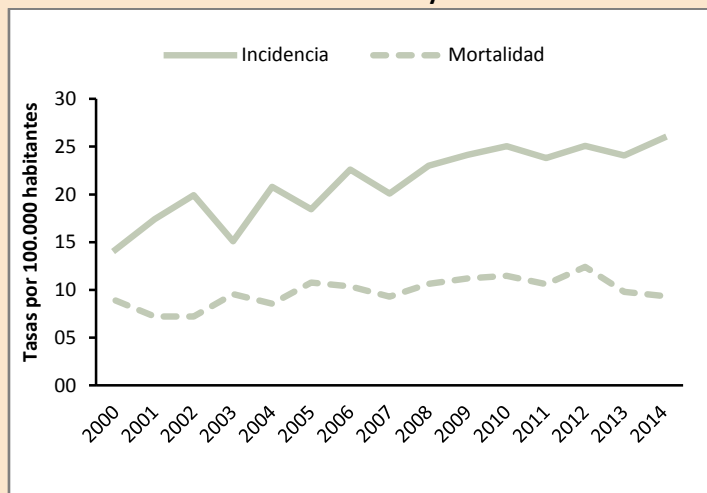


Fuente: "Global surveillance of trends in cancer survival 2000–14 (CONCORD-3)", de Allemani, C., Matsuda, T., Di-Carlo, V., et al., 2018, The Lancet.

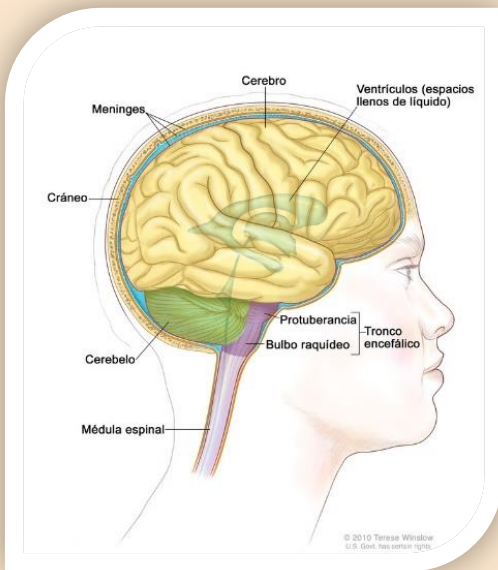
Tabla: Base de Diagnóstico

Nº CASOS	MÉTODO	PORCENTAJE
1.526	HISTOLOGÍA PRIMARIO	81,45%
	RX Y OTROS	5,70%
	CLÍNICA	6,75%
	DEFUNCIONES	6,09%

Gráfico de Tendencia de la Incidencia y Mortalidad



ENCÉFALO



Se diagnosticaron un promedio anual de **97** casos nuevos de cáncer de encéfalo, siendo el **53%** en hombres y **47%** mujeres. La tasa cruda de incidencia fue **4,20** en hombres y **3,58** en mujeres por cada 100.000 habitantes. La tasa cruda de mortalidad **2,13** en hombres y **2,52** en mujeres.

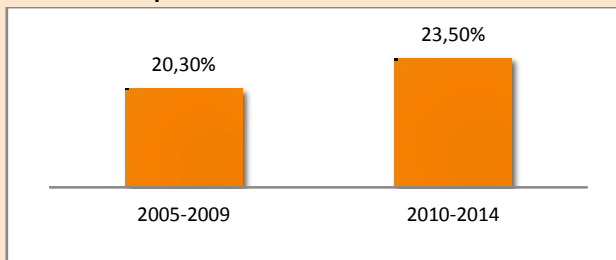
Los grupos etarios con mayor afectación en mujeres fueron de 45 a 59 años y hombres 30 a 44 años. El **70%** de los casos fue con base de diagnóstico histológico, seguido del **19,7%** por imágenes. Se observa una tendencia creciente en la incidencia del cáncer de encéfalo tanto en hombres como en mujeres; de igual forma la mortalidad muestra un ligero incremento, sin embargo la supervivencia en adultos por esta patología muestra un ligero incremento de **20,3%** en el 2005-2009 a **23,5%** en 2010-2014; la supervivencia en niños se presenta en otra sección.

Tabla: Síntesis de Incidencia y Mortalidad

	Incidencia		Mortalidad	
	Hombre	Mujer	Hombre	Mujer
Número de casos	259	227	131	160
% del total de casos	2,9%	2,0%	3,3%	3,6%
Tasa cruda	4,20	3,58	2,13	2,52
Tasa estandarizada	4,53	3,70	2,41	2,54

Tasa por 100.000 hab.

Gráfico de Supervivencia



Fuente: "Global surveillance of trends in cancer survival 2000–14 (CONCORD-3)", de Allemani, C., Matsuda, T., Di-Carlo, V., et al., 2018, The Lancet.

Tabla: Base de Diagnóstico

Nº CASOS	MÉTODO	PORCENTAJE
486	HISTOLOGÍA PRIMARIO	69,96%
	RX Y OTROS	19,75%
	CLÍNICA	4,94%
	DEFUNCIONES	5,14%
	HEMATOLOGÍA	0,21%

Gráfico de Distribución por Grupos de Edad y Sexo

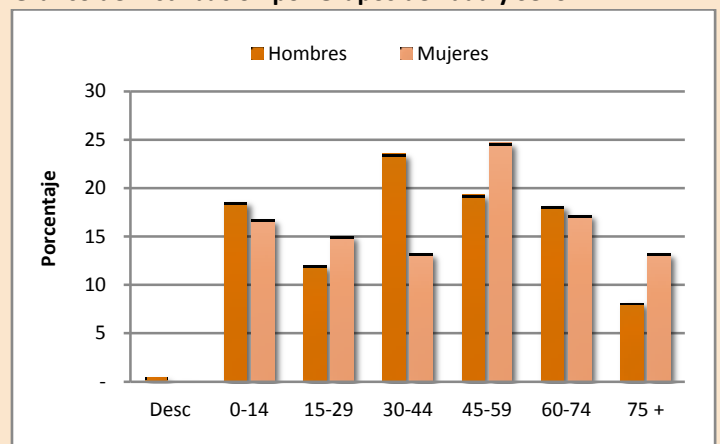
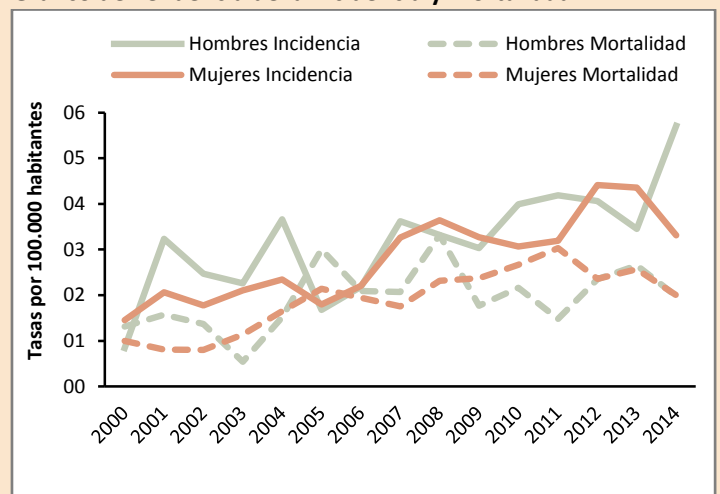
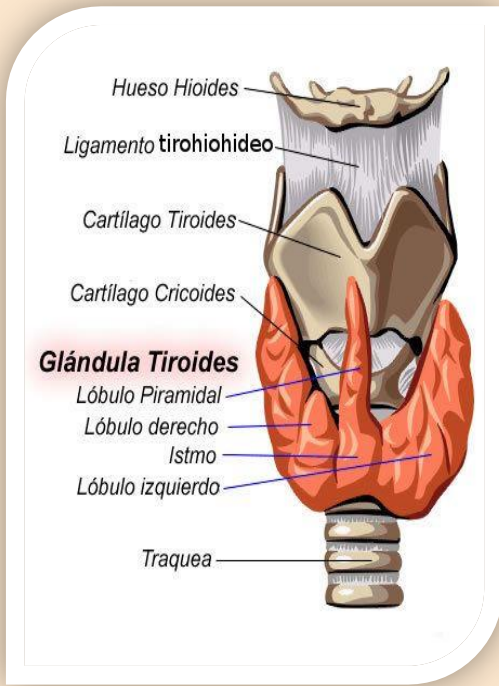


Gráfico de Tendencia de la Incidencia y Mortalidad



TIROIDES



Se diagnosticaron un promedio anual de **125** casos nuevos de cáncer de tiroides, siendo el **18%** en hombres y **82%** mujeres. La tasa cruda de incidencia fue **1,80** en hombres y **8,53** en mujeres por cada 100.000 habitantes. La tasa cruda de mortalidad **0,21** en hombres y **0,73** en mujeres.

Los grupos etarios con mayor afectación en mujeres fueron de 45 a 59 años y en hombres son de 30 a 44 años. Se observa una tendencia creciente en la incidencia del cáncer de tiroides en mujeres, de **1,9** en el año 2000 a **7,62** en el año 2014; en hombres la incidencia se mantiene estable en casi todo el periodo aunque a partir del 2012 incrementa ligeramente a **2,7** al 2014. La mortalidad por cáncer de tiroides tiene el mismo comportamiento a lo largo del periodo en ambos sexos.

Gráfico de Distribución por grupos de Edad y Sexo

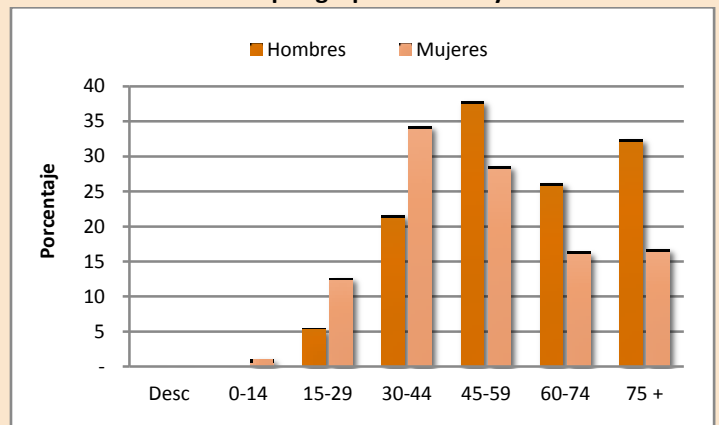


Tabla: Síntesis de Incidencia y Mortalidad

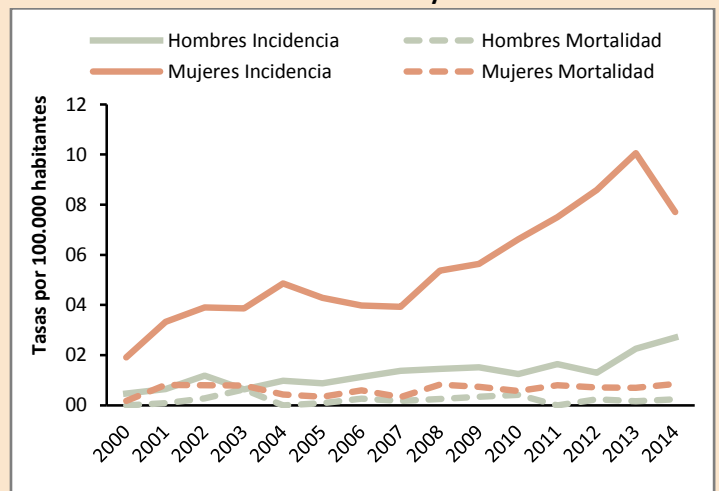
	Incidencia		Mortalidad	
	Hombre	Mujer	Hombre	Mujer
Número de casos	113	514	13	46
% del total de casos	1,2%	4,5%	0,3%	1,0%
Tasa cruda	1,80	8,53	0,21	0,73
Tasa estandarizada	2,04	8,54	0,27	0,79

Tasa por 100.000 hab.

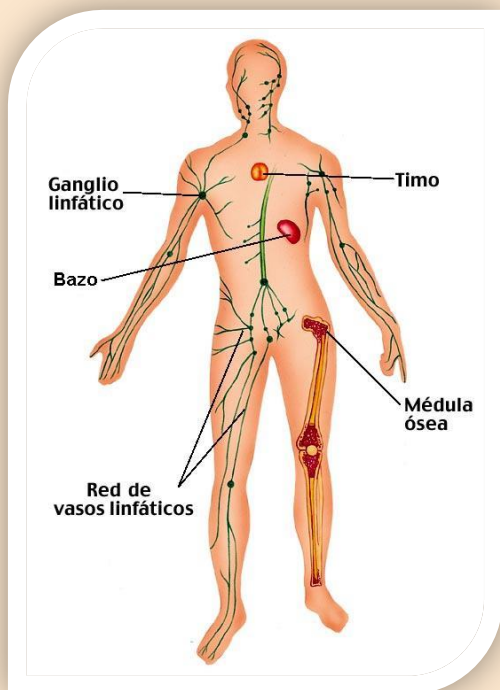
Tabla: Base de Diagnóstico

N° CASOS	MÉTODO	PORCENTAJE
627	HISTOLOGÍA PRIMARIO	94,34%
	RX Y OTROS	2,59%
	CLÍNICA	1,29%
	DEFUNCIONES	0,16%
	HEMATOLOGÍA	0,16%
	CITOLOGÍA	1,29%
	CIRUGÍA	0,16%

Gráfico de Tendencia de la Incidencia y Mortalidad



LINFOMA NO HODGKIN



Se diagnosticaron un promedio anual de **225** casos nuevos de Linfoma no Hodgkin, siendo el **55%** en hombres y **45%** mujeres. La tasa cruda de incidencia fue **10,02** en hombres y **8,04** en mujeres por cada 100.000 habitantes. La tasa cruda de mortalidad **3,80** en hombres y **2,24** en mujeres.

Los grupos etarios con mayor afectación en mujeres fueron de 60 a 74 años y en hombres en mayores de 75 años. El **92%** de los casos fue con base histológica. Se observa un incremento en la tasa de incidencia en hombres de **4,5** en el año 2000 a **9,51** en el año 2014 y en mujeres incrementa de **4,3** en el año 2000 a **7,93** en el año 2014; la mortalidad no presenta mayor variación a lo largo de periodo analizado.

Gráfico de Distribución por Grupos de Edad y Sexo

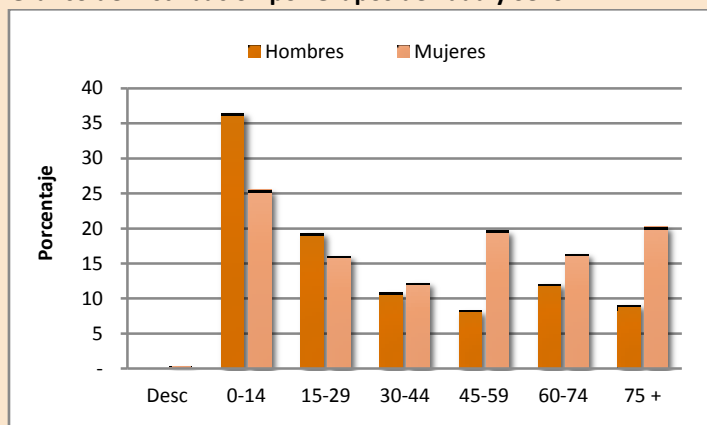


Tabla: Síntesis de Incidencia y Mortalidad

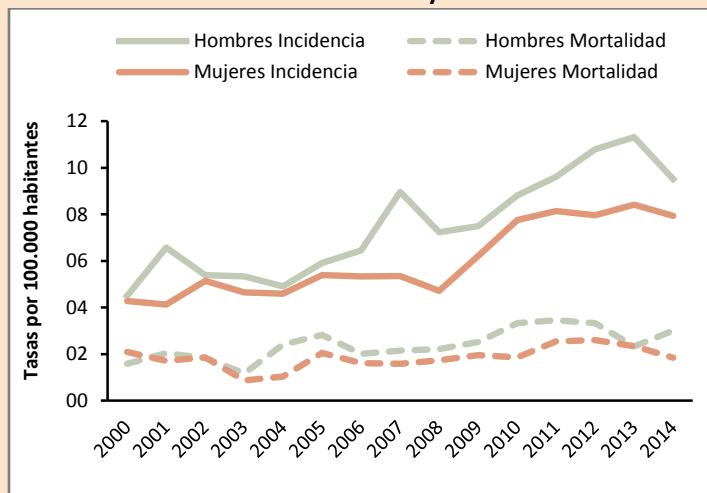
	Incidencia		Mortalidad	
	Hombre	Mujer	Hombre	Mujer
Número de casos	617	510	190	142
% del total de casos	6,8%	4,4%	4,8%	3,2%
Tasa cruda	10,02	8,04	3,8	2,24
Tasa estandarizada	11,34	8,46	3,6	2,29

Tasa por 100.000 hab.

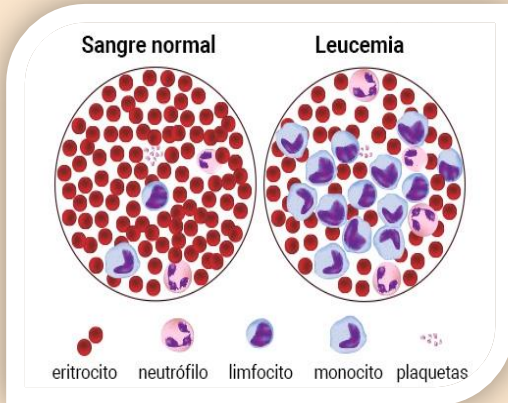
Tabla: Base de Diagnóstico

Nº CASOS	MÉTODO	PORCENTAJE
1.127	HISTOLOGÍA PRIMARIO	92,46%
	RX Y OTROS	0,62%
	CLÍNICA	0,18%
	DEFUNCIONES	0,27%
	HEMATOLOGÍA	6,30%
	CITOLOGÍA	0,18%

Gráfico de Tendencia de la Incidencia y Mortalidad



LEUCEMIAS



Se diagnosticaron un promedio anual de **152** casos nuevos de leucemias, **52%** en hombres y **48%** mujeres. La tasa cruda de incidencia fue **6,46** en hombres y **5,69** en mujeres por cada 100.000 habitantes. La tasa cruda de mortalidad **4,63** en hombres y **3,64** en mujeres.

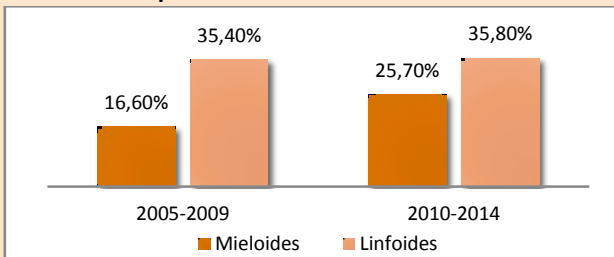
Los grupos etarios con mayor afectación en ambos sexos fueron niños de 0 a 14 años. El **66%** de los casos fue con base hematológica y **32,5%** con base histológica. Se observa una tendencia creciente en la incidencia de las leucemias, en hombres de **3,5** en el año 2000 a **6,34** en el año 2014 y en mujeres de **3,8** en el año 2000 a **7,16** en el año 2014; la mortalidad presenta un ligero aumento, en mujeres de **2,3** en el 2000 a **3,62** en el 2014, y en hombres de **2,5** en el 2000 a **3,62** en el 2014. La supervivencia en adultos de las leucemias linfocíticas se mantiene en **35%** para ambos quinquenios, las mieloides mejora de **16,6%** al **25,7%** en el 2010-2014, la supervivencia infantil se presenta en otra sección.

Tabla: Síntesis de Incidencia y Mortalidad

	Incidencia		Mortalidad	
	Hombre	Mujer	Hombre	Mujer
Número de casos	398	361	285	231
% del total de casos	4,4%	3,1%	7,2%	5,1%
Tasa cruda	6,46	5,69	4,63	3,64
Tasa estandarizada	6,90	5,96	5,00	3,63

Tasa por 100.000 hab.

Gráfico de Supervivencia



Fuente: "Global surveillance of trends in cancer survival 2000–14 (CONCORD-3)", de Allemani, C., Matsuda, T., Di-Carlo, V., et al., 2018, The Lancet.

Tabla: Base de Diagnóstico

N° CASOS	MÉTODO	PORCENTAJE
759	HEMATOLOGÍA	66,40%
	HISTOLOGÍA PRIMARIO	32,54%
	RX Y OTROS	0,53%
	CLÍNICA	0,40%
	DEFUNCIONES	0,13%

Gráfico de Distribución por Grupos de Edad y Sexo

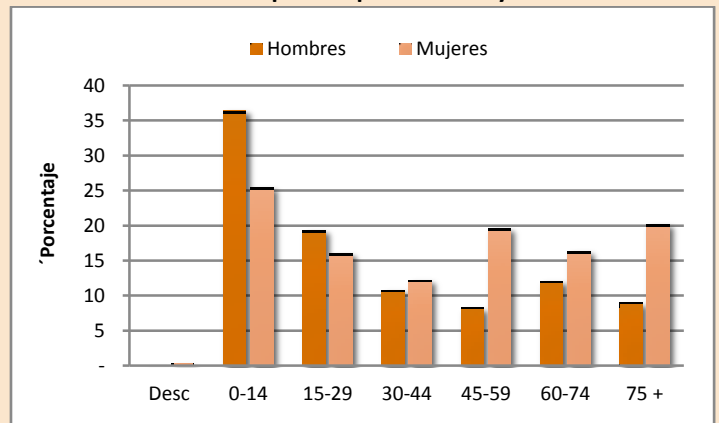
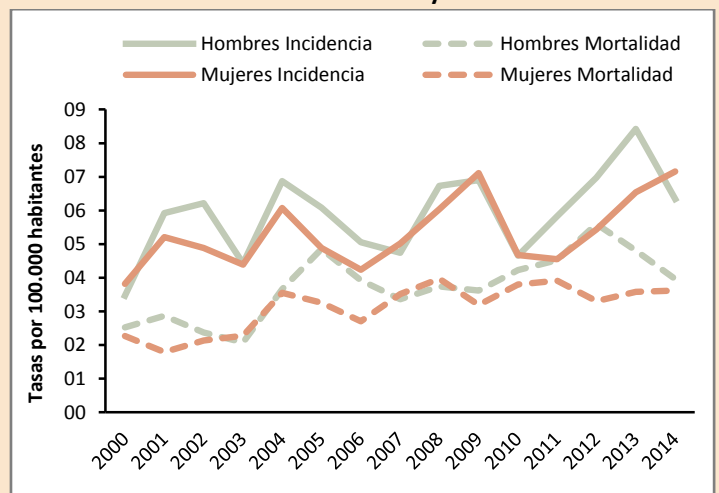


Gráfico de Tendencia de la Incidencia y Mortalidad



CÁNCER INFANTIL RESIDENTES EN LA CIUDAD DE GUAYAQUIL. 2010-2014

Cáncer infantil de 0 a 19 años

Se diagnostican un promedio anual de **159** casos nuevos de cáncer infantil, siendo el **56%** en niños y **44%** en niñas. La tasa cruda de incidencia fue **184,5** en niños y **149,7** en niñas por cada 1.000.000 de habitantes. La tasa cruda de mortalidad **136,85** en niños y **97,10** en niñas.

Los grupos etarios con mayor afectación tanto en niñas y niños son de 0 a 4 años con **30%** y **32,3%** respectivamente. Se observa una tendencia creciente en la incidencia de cáncer infantil en niñas y niños entre 0 a 19 años. En niños incrementó de **114,7** en el año 2000 a **172,85** en el 2014 y en niñas en mayor proporción de **73,7** en el 2000 a **165,68** en el 2014. La mortalidad por cáncer infantil presenta un ligero aumento en ambos sexos.

Tabla. Síntesis de Incidencia y Mortalidad

	Incidencia		Mortalidad	
	Hombre	Mujer	Hombre	Mujer
Número de casos	443	353	843	616
% del total de casos	56%	44%	58%	42%
Tasa cruda	184,5	149,7	136,83	97,10
Tasa estandarizada	188,14	152,80	138,91	104,01

Tasa por 1.000.000 de habitantes

Grupo de edad	Niños		Niñas		Total	
	No.	%	No.	%	No.	%
0-4	133	30,0%	114	32,3%	247	31,0%
5-9	113	25,5%	69	19,5%	182	22,9%
10-14	77	17,4%	72	20,4%	149	18,7%
15-19	120	27,1%	98	27,8%	218	27,4%
Total	443	100,0%	353	100,0%	796	100,0%

Gráfico. Distribución por Sexo.

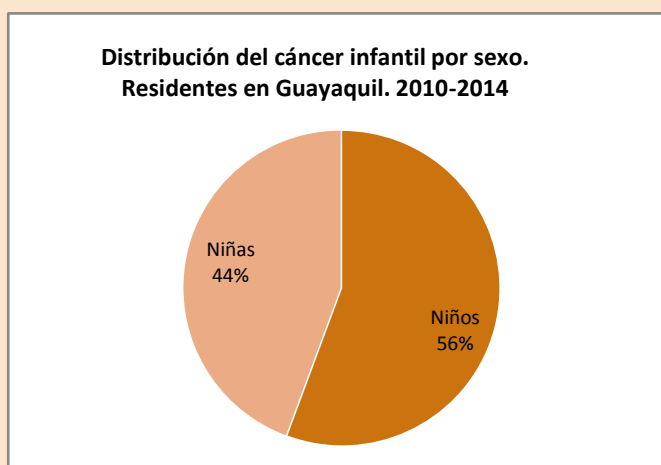


Gráfico. Distribución por Grupos Etarios y Sexo

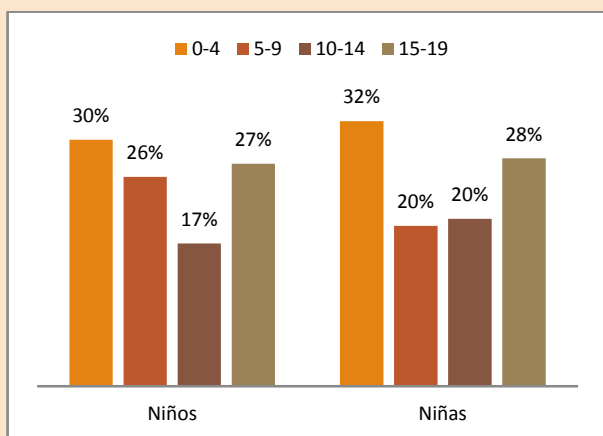
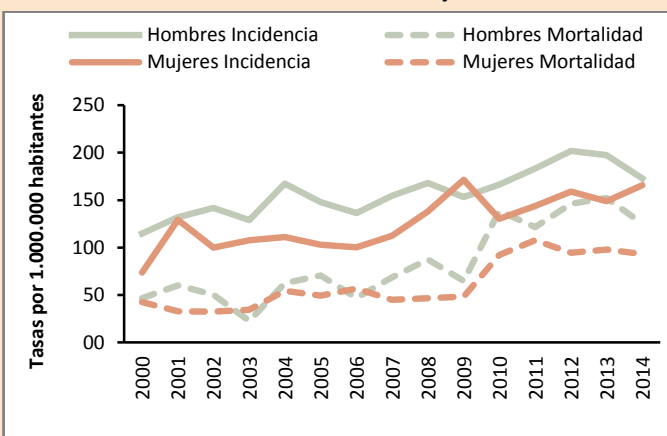


Gráfico. Tendencia de la Incidencia y Mortalidad



Cáncer infantil de 0 a 19 años

Gráfico 1. Cáncer infantil de 0 a 19 años según diagnóstico. Ambos sexos

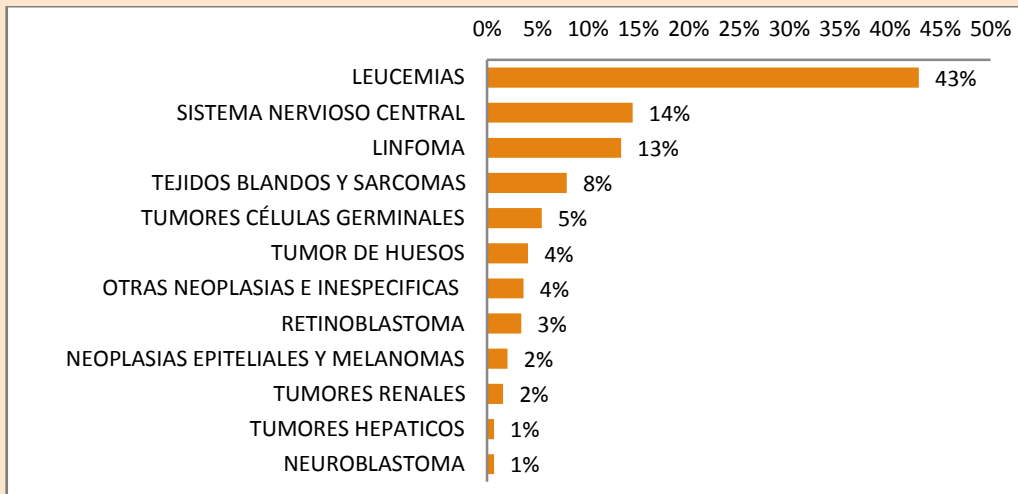


Gráfico 2. Cáncer infantil de 0 a 19 años según diagnóstico. Niños

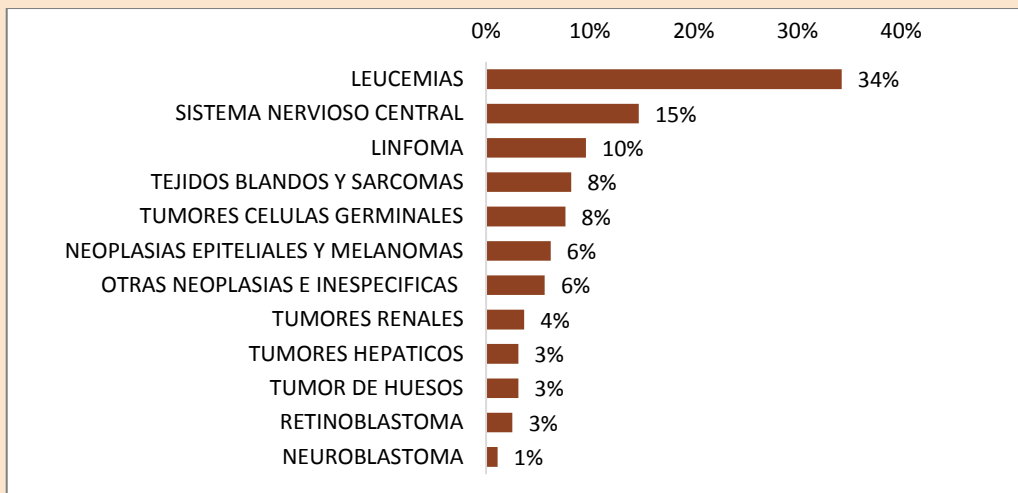
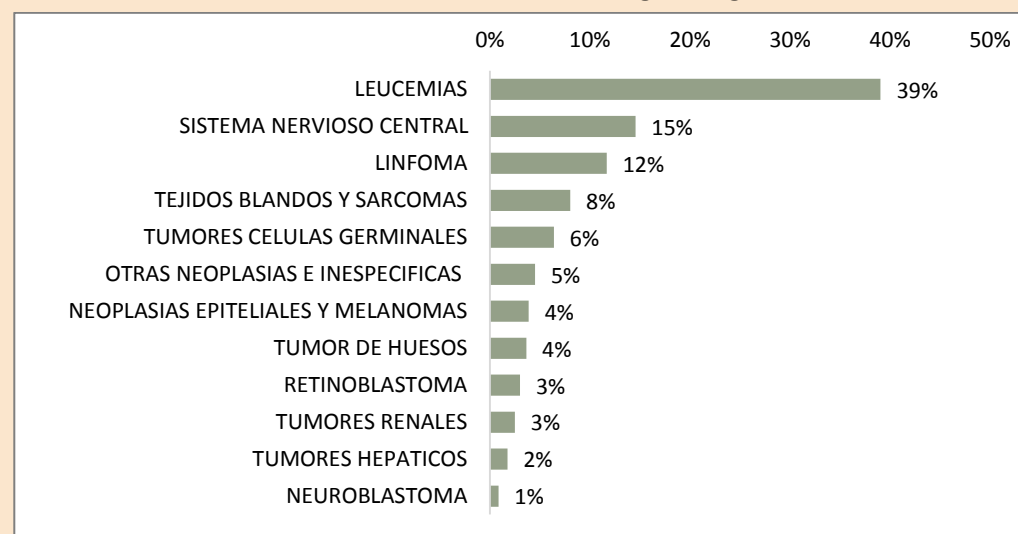
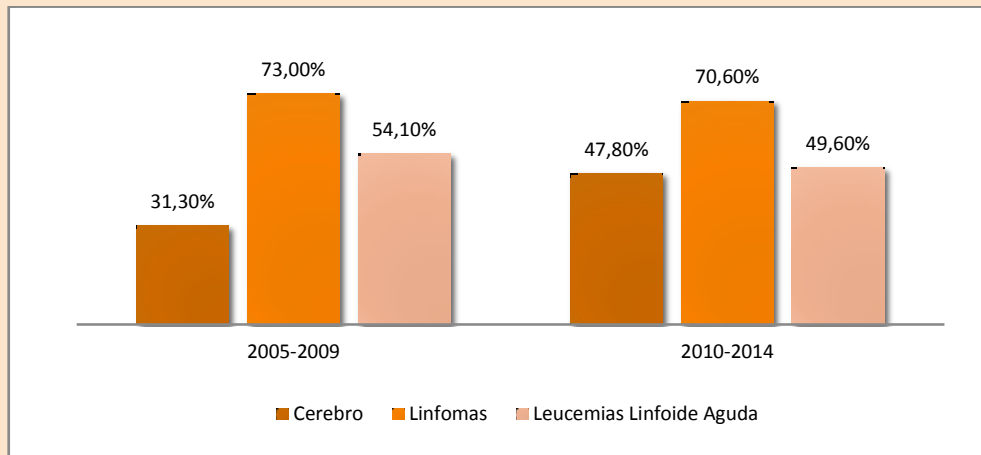


Gráfico 3. Cáncer infantil de 0 a 19 años según diagnóstico. Niñas



Cáncer infantil de 0 a 19 años

Gráfico de Supervivencia. Ambos sexos



En el estudio Concord-3, analizaron la supervivencia de tres neoplasias en niños: Leucemia Linfocítica Aguda (LLA), Linfomas y Cerebro, ya que entre ellas, ocupan el 50% o más de las neoplasias infantiles.

Para los datos analizados de la ciudad de Guayaquil se observa que, tanto la supervivencia de la LLA y de los linfomas bajan para en el periodo 2010-2014 de **73%** a **70,6%** y de **54,1%** a **49,6%** respectivamente con respecto al quinquenio previo, mientras que se observa mejora en la supervivencia de las neoplasias de cerebro de **31,3%** en el periodo 2005-2009 a **47,8%** en el 2010-2014.

ANEXOS

TASAS DE INCIDENCIA DEL CÁNCER INFANTIL DE 0 A 19 AÑOS EN NIÑOS. RESIDENTES EN GUAYAQUIL

GRUPO DIAGNÓSTICO	GRUPOS DE EDAD				CASOS	TASA CRUDA
	0-4	5-9	10-14	15-19		
I. LEUCEMIAS	96,3	89,4	52,7	79,1	190	79,1
II. LINFOMAS	14,9	34,8	23,9	24,6	59	24,6
III. SISTEMA NERVIOSO CENTRAL	28,2	36,4	22,3	19,3	64	26,6
IV. NEUROBLASTOMA	5,0	0,0	0,0	0,0	3	1,2
V. RETINOBLASTOMA	21,6	3,3	0,0	0,0	15	6,2
VI. TUMORES RENALES	6,6	5,0	0,0	0,0	7	2,9
VII. TUMORES HEPÁTICOS	3,3	0,0	1,6	0,0	3	1,2
VIII. TUMOR DE HUESOS	0,0	3,3	11,2	15,8	18	7,5
IX. TEJIDOS BLANDOS Y SARCOMAS	19,9	9,9	11,2	17,6	35	14,6
X. TUMORES CÉLULAS GERMINALES	19,9	0,0	0,0	21,1	24	10,0
XI. NEOPLASIAS EPITELIALES Y MELANOMAS	0,0	0,0	0,0	15,8	9	3,7
XII. OTRAS NEOPLASIAS E INESPECÍFICAS	5,0	5,0	0,0	17,6	16	6,7
TOTAL	220,8	187,1	122,9	211,0	442	184,5

Tasa por 1.000.000 habitantes

TASAS DE INCIDENCIA DEL CÁNCER INFANTIL DE 0 A 19 AÑOS EN NIÑAS. RESIDENTES EN GUAYAQUIL

GRUPO DIAGNÓSTICO	GRUPOS DE EDAD				CASOS	TASA CRUDA
	0-4	5-9	10-14	15-19		
I. LEUCEMIAS	74,0	44,1	39,5	121	48,4	51,3
II. LINFOMAS	10,3	11,9	11,5	34	24,2	14,4
III. SISTEMA NERVIOSO CENTRAL	31,0	27,1	13,2	52	17,3	22,1
IV. NEUROBLASTOMA	5,2	0,0	1,6	4	0,0	1,7
V. RETINOBLASTOMA	12,0	3,4	0,0	9	0,0	3,8
VI. TUMORES RENALES	18,9	3,4	0,0	13	0,0	5,5
VII. TUMORES HEPÁTICOS	13,8	3,4	0,0	11	1,7	4,7
VIII. TUMOR DE HUESOS	0,0	1,7	6,6	11	10,4	4,7
IX. TEJIDOS BLANDOS Y SARCOMAS	18,9	5,1	16,5	29	8,6	12,3
X. TUMORES CÉLULAS GERMINALES	6,9	5,1	14,8	27	19,0	11,4
XI. NEOPLASIAS EPITELIALES Y MELANOMAS	0,0	3,4	8,2	22	25,9	9,3
XII. OTRAS NEOPLASIAS E INESPECÍFICAS	5,2	8,5	6,6	20	13,8	8,5
TOTAL	196,1	117,0	118,4	169,3	353	149,7

Tasa por 1.000.000 habitantes

TASAS DE INCIDENCIA DE RESIDENTES EN GUAYAQUIL SEGÚN GRUPOS DE EDAD POR 100.000. 2010-2014 HOMBRES

CIE	LOCALIZACIÓN TOPOGRÁFICA	GRUPOS DE EDAD																TOTAL CASOS	TASA CRUDA	TASA ESTÁNDAR
		0-4	5-9	10-14	15-19	20-24	25-29	30-34	35-39	40-44	45-49	50-54	55-59	60-64	65-69	70-74	>75			
172	MELANOMA	0,0	0,0	0,0	0,2	0,0	0,2	0,4	0,2	0,3	0,6	1,4	0,9	1,2	6,9	1,2	6,4	33	0,54	0,63
C01	BASE DE LA LENGUA	0,0	0,0	0,0	0,0	0,0	0,4	0,0	0,0	0,0	0,9	0,7	0,9	1,9	0,9	1,2	4,0	19	0,31	0,34
C02	OTRAS PARTES Y LAS NO ESPECIFICADAS DE LA LENGUA	0,2	0,0	0,0	0,0	0,2	0,0	0,2	0,0	0,5	0,9	0,4	1,3	1,2	2,6	2,5	7,2	28	0,45	0,51
C03	ENCÍA	0,0	0,0	0,0	0,0	0,0	0,0	0,0	0,5	0,0	0,0	0,4	0,9	1,2	0,0	0,0	2,4	10	0,16	0,18
C04	PISO DE LA BOCA	0,0	0,0	0,0	0,0	0,0	0,0	0,0	0,0	0,0	0,0	0,7	0,0	0,0	0,0	0,0	0,0	2	0,03	0,03
C05	PALADAR	0,0	0,0	0,0	0,0	0,4	0,2	0,0	0,2	0,3	0,3	0,7	0,9	0,6	1,7	0,0	4,0	18	0,29	0,31
C06	OTRAS PARTES Y LAS NO ESPECIFICADAS DE LA BOCA	0,0	0,0	0,0	0,0	0,2	0,0	0,2	0,0	0,0	0,3	0,0	0,4	0,6	0,0	0,0	0,0	5	0,08	0,08
C07	GLÁNDULA PARÓTIDA	0,0	0,0	0,0	0,2	0,0	0,2	0,0	0,0	0,0	0,0	1,0	0,4	0,6	2,6	3,7	2,4	16	0,26	0,33
C08	OTRAS GLÁNDULAS SALIVALES MAYORES Y LAS NO ESPECIFICADAS	0,0	0,0	0,0	0,0	0,2	0,0	0,2	0,0	0,5	0,6	0,0	0,0	1,9	0,9	1,2	0,8	12	0,19	0,22
C09	AMÍGDALA	0,0	0,0	0,0	0,0	0,0	0,0	0,2	0,5	0,8	1,4	1,7	2,1	1,9	2,6	6,1	4,8	38	0,62	0,73
C10	OROFARINGE	0,0	0,0	0,0	0,0	0,0	0,0	0,0	0,0	0,3	0,0	0,7	0,0	0,6	0,0	0,0	0,8	5	0,08	0,09
C11	NASOFARINGE	0,0	0,0	0,0	0,0	0,4	0,0	0,0	0,0	0,3	0,0	0,4	0,0	0,0	0,9	0,0	2,4	8	0,13	0,15
C12	SENO PIRIFORME	0,0	0,0	0,0	0,0	0,0	0,0	0,0	0,0	0,0	0,0	0,0	0,0	0,0	0,0	1,2	0,0	1	0,02	0,02
C13	HIPOFARINGE	0,0	0,0	0,0	0,0	0,0	0,0	0,0	0,0	0,0	0,0	0,0	0,0	0,0	0,0	0,0	0,8	1	0,02	0,02
C14	OTROS SITIOS Y MAL DEFINIDOS DEL LABIO, LA CAVIDAD BUCAL Y LA FARINGE	0,0	0,0	0,0	0,0	0,0	0,0	0,0	0,0	0,0	0,0	0,0	0,4	0,0	0,0	0,0	0,8	2	0,03	0,04
C15	ESÓFAGO	0,0	0,0	0,0	0,0	0,0	0,0	0,0	0,7	0,8	0,6	2,1	3,4	6,2	6,0	13,5	20,1	75	1,22	1,46
C16	ESTÓMAGO	0,3	0,0	0,0	0,2	0,5	1,9	3,0	4,95	8,3	12,4	22,9	38,8	65,7	94,2	170,3	231,2	927	15,05	18,14
C17	INTESTINO DELGADO	0,0	0,0	0,0	0,0	0,2	0,0	0,4	0,5	1,3	0,0	0,7	3,4	4,3	6,9	9,8	8,8	54	0,88	1,07
C18	COLON	0,0	0,0	0,0	0,9	0,0	0,9	2,8	5,2	4,5	7,2	8,7	16,6	36,6	36,0	52,7	100,3	421	6,83	8,02
C19	UNIÓN RECTOSIGMOIDEA	0,0	0,0	0,0	0,0	0,0	0,4	0,0	0,0	0,5	0,0	1,4	2,6	1,9	6,0	4,9	12,0	43	0,7	0,82
C20	RECTO	0,0	0,0	0,0	0,2	0,5	0,2	1,4	2,1	2,9	1,4	6,2	8,1	13,6	11,1	27,0	28,9	168	2,73	3,19
C21	ANO Y CONDUCTO ANAL	0,0	0,0	0,0	0,0	0,0	0,2	0,0	0,5	0,3	0,9	1,4	0,9	1,2	1,7	2,5	3,2	23	0,37	0,43
C22	HÍGADO Y CONDUCTOS BILIARES	0,3	0,0	0,3	0,0	0,4	0,7	1,0	0,9	1,3	4,3	4,2	11,1	18,0	22,3	50,2	63,4	253	4,11	4,93
C23	VESÍCULA BILIAR	0,0	0,0	0,0	0,0	0,0	0,0	0,0	0,0	0,3	0,9	0,7	1,3	3,7	5,1	11,0	4,8	36	0,58	0,77
C24	OTRAS PARTES Y LAS NO ESPECIFICADAS DE LAS VÍAS BILIARES	0,0	0,0	0,0	0,0	0,0	0,0	0,2	0,2	0,8	0,3	0,7	1,3	6,2	7,7	9,8	15,3	57	0,93	1,15
C25	PÁNCREAS	0,2	0,0	0,0	0,0	0,0	0,6	0,6	0,5	1,1	3,5	1,7	8,9	11,2	11,1	30,6	35,3	151	2,45	2,95
C30	CAVIDAD NASAL Y OÍDO MEDIO	0,0	0,0	0,0	0,0	0,0	0,0	0,0	0,0	0,3	0,0	0,7	1,3	0,0	0,0	0,0	0,8	7	0,11	0,12
C31	SENOS PARANASALES	0,0	0,0	0,0	0,0	0,0	0,0	0,0	0,0	0,3	0,0	1,0	1,3	1,2	0,9	0,0	4,0	15	0,24	0,28
C32	LARINGE	0,2	0,0	0,0	0,0	0,0	0,0	0,2	0,5	1,9	1,2	2,8	6,4	11,8	11,1	22,1	24,1	118	1,92	2,36
C33	TRÁQUEA	0,0	0,2	0,0	0,0	0,0	0,0	0,0	0,0	0,0	0,0	0,4	0,0	0,0	0,0	0,0	0,0	2	0,03	0,04
C34	BRONQUIOS Y PULMÓN	0,0	0,0	0,0	0,4	0,7	0,9	0,8	1,7	2,9	5,2	9,4	20,5	32,8	58,2	74,7	134,9	478	7,76	9,34
C37	TIMO	0,0	0,0	0,0	0,2	0,0	0,0	0,2	0,0	0,0	0,0	0,0	0,0	0,0	0,0	0,0	0,8	3	0,05	0,05
C38	CORAZÓN, MEDIASTINO Y PLEURA	0,0	0,3	0,0	0,4	0,0	1,3	0,8	0,7	0,5	1,4	1,7	1,7	2,5	0,9	7,4	6,4	53	0,86	0,94
C40	HUESOS, ARTICULACIONES Y CARTÍLAGOS ARTICULARES DE LOS MIEMBROS	0,0	0,2	1,1	1,2	1,6	0,0	0,6	0,9	0,5	0,6	0,0	1,3	1,9	0,9	0,0	2,4	46	0,75	0,72
C41	HUESOS, ARTICULACIONES Y CARTÍLAGOS ARTICULARES DE OTROS SITIOS Y DE LOS NO ESPECIF.	0,2	0,2	0,0	0,5	0,2	0,2	0,2	0,2	0,0	0,3	0,4	1,3	1,2	0,9	1,2	2,4	21	0,34	0,38

CIE	LOCALIZACIÓN TOPOGRÁFICA	GRUPOS DE EDAD																DESC	TOTAL CASOS	TASA CRUDA	TASA ESTÁNDAR
		0-4	5-9	10-14	15-19	20-24	25-29	30-34	35-39	40-44	45-49	50-54	55-59	60-64	65-69	70-74	>75				
C42	SISTEMA HEMATOPOYÉTICO Y RETICULOENDOTELIAL	9,8	9,1	5,1	8,3	4,3	3,5	4,9	4,7	5,1	5,5	10,4	17,5	19,2	43,7	47,8	81,9		613	9,95	11,02
C44	PIEL	0,2	0,3	0,3	0,5	1,6	4,5	6,7	12,3	19,7	27,4	44,0	64,7	112,2	212,4	253,5	488,0		1821	29,56	35,06
C48	PERITONEO Y RETROPERITONEO	1,0	0,2	0,2	0,4	0,0	0,2	0,6	0,2	0,8	0,9	1,4	0,4	3,1	5,1	6,1	5,6		49	0,8	0,94
C49	TEJIDO CONJUNTIVO, SUBCUTÁNEO Y DE OTROS TEJIDOS BLANDOS	0,5	0,8	0,6	0,9	1,3	1,1	3,0	2,1	4,3	2,3	2,8	6,8	6,8	3,4	11,0	16,9		147	2,39	2,52
C50	MAMA	0,2	0,0	0,0	0,0	0,0	0,2	0,0	0,0	0,5	0,3	0,4	0,9	0,6	0,0	2,5	3,2		15	0,24	0,27
C60	PENE	0,2	0,0	0,0	0,0	0,0	0,6	0,4	0,7	2,4	2,3	2,1	3,4	3,1	6,9	9,8	4,0		67	1,09	1,25
C61	GLÁNDULA PROSTÁTICA	0,0	0,0	0,0	0,0	0,0	0,0	0,0	0,2	0,0	4,0	10,1	29,4	114,0	220,1	290,3	590,8		1527	24,79	30,72
C62	TESTÍCULOS	1,5	0,2	0,0	1,8	3,8	4,3	5,7	4,0	2,9	1,4	1,7	0,4	0,0	0,9	2,5	3,2		139	2,26	2,10
C63	OTROS ÓRGANOS GENITALES MASCULINOS Y LOS NO ESPECIFICADOS	0,0	0,0	0,0	0,0	0,0	0,0	0,0	0,0	0,0	0,0	0,0	0,4	0,6	0,0	1,2	3,2		7	0,11	0,12
C64	RIÑÓN	1,0	0,5	0,0	0,2	0,2	0,6	0,8	1,4	3,5	3,5	10,4	20,0	26,7	29,1	24,5	35,3		267	4,33	5,25
C65	PELVIS RENAL	0,0	0,0	0,0	0,0	0,0	0,0	0,0	0,0	0,0	0,0	0,4	0,0	0,0	0,9	0,0	0,0		2	0,03	0,05
C66	URETER	0,0	0,0	0,0	0,0	0,0	0,0	0,0	0,0	0,0	0,0	0,0	0,0	0,0	0,0	0,0	0,8		1	0,02	0,02
C67	VEJIGA URINARIA	0,0	0,0	0,0	0,0	0,0	0,0	0,4	0,7	0,3	1,7	2,8	6,8	13,0	15,4	27,0	52,2		164	2,66	3,15
C68	OTROS ORGANOS URINARIOS Y LOS NO ESPECIFICADOS	0,0	0,0	0,0	0,0	0,0	0,0	0,0	0,0	0,0	0,0	0,0	0,0	0,0	0,0	0,0	1,6		2	0,03	0,03
C69	OJO Y ANEXOS	2,3	0,3	0,0	0,0	0,0	0,2	0,0	0,7	0,3	0,9	0,4	1,7	0,0	0,9	1,2	7,2		40	0,65	0,72
C70	MENINGES	0,0	0,2	0,0	0,0	0,2	0,0	0,2	0,0	0,3	0,0	1,0	0,0	0,0	0,0	0,0	0,0		7	0,11	0,11
C71	ENCÉFALO	2,7	3,0	2,2	1,4	1,6	2,6	3,8	4,5	6,7	5,8	6,9	5,1	14,3	16,3	7,4	16,9		264	4,29	4,63
C72	MÉDULA ESPINAL, NERVIOS CRANEALES Y DE OTRAS PARTES DEL SISTEMA NERVIOSO CENTRAL	0,3	0,2	0,0	0,4	0,2	0,4	0,4	0,5	0,0	0,3	0,0	0,4	0,0	0,0	0,0	0,0		14	0,23	0,22
C73	GLÁNDULA TIROIDES	0,0	0,0	0,0	0,2	0,2	0,7	1,4	1,9	2,4	2,9	4,9	8,1	7,4	8,6	8,6	8,8		113	1,83	2,06
C74	GLÁNDULA SUPRARRENAL (ADRENAL)	0,2	0,0	0,0	0,0	0,0	0,0	0,0	0,0	0,0	0,0	0,0	0,4	0,0	0,0	1,2	0,0		3	0,05	0,06
C75	OTRAS GLÁNDULAS ENDÓCRINAS Y ESTRUCTURAS AFINES	0,0	0,0	0,0	0,0	0,4	0,2	0,0	0,0	0,0	0,3	0,0	0,0	0,0	0,9	0,0	0,0		5	0,08	0,10
C76	SITIOS MAL DEFINIDOS Y OTROS	0,2	0,2	0,3	0,2	0,0	0,6	0,2	0,2	0,5	0,6	0,7	1,3	1,9	2,6	1,2	4,8		32	0,52	0,56
C77	GANGLIOS LINFÁTICOS	0,8	2,7	2,1	2,6	2,5	2,6	4,0	3,3	5,3	8,4	8,0	9,4	15,5	30,0	31,8	36,9		337	5,47	6,13
C80	SITIO PRIMARIO DESCONOCIDO	0,0	0,0	0,0	0,2	0,9	1,3	2,0	1,2	2,9	4,3	6,6	13,6	22,3	31,7	41,6	47,4		272	4,42	5,32
TODOS LOS SITIOS - NUM. CASOS		133	111	77	120	125	170	241	253	335	408	547	772	956	1084	1040	2672	13	9057		
TODOS LOS SITIOS - TASA CRUDA		22,08	18,38	12,29	21,10	22,32	31,57	47,61	59,60	89,24	117,64	189,60	328,83	592,42	928,27	1273,78	2144,74			147,01	
TODOS LOS SITIOS - TASA ESTÁNDAR		2,66	1,85	1,11	1,94	1,75	2,55	2,84	3,56	5,40	7,05	9,46	13,15	23,65	27,90	25,44	42,94				173,25
TODOS LOS SITIOS MENOS C44 - NUM. CASOS		132	109	75	117	116	146	207	201	261	313	420	620	775	836	833	2.064	11	7.236		
TODOS LOS SITIOS MENOS C44 - TASA CRUDA		21,91	18,05	11,97	20,57	20,71	27,11	40,89	47,35	69,53	90,25	145,58	264,08	480,26	715,90	1.020,25	1.656,71			117,45	
TODOS LOS SITIOS MENOS C44 - TASA ESTÁNDAR		2,64	1,82	1,08	1,89	1,62	2,19	2,44	2,82	4,22	5,41	7,26	10,56	19,16	21,53	20,37	33,18				138,19

TASAS DE INCIDENCIA DE RESIDENTES EN GUAYAQUIL SEGÚN GRUPOS DE EDAD POR 100.000. 2010-2014 MUJERES

CIE	LOCALIZACIÓN TOPOGRÁFICA	GRUPOS DE EDAD																TOTAL CASOS	TASA CRUDA	TASA ESTÁNDAR
		0-4	5-9	10-14	15-19	20-24	25-29	30-34	35-39	40-44	45-49	50-54	55-59	60-64	65-69	70-74	>75			
172	MELANOMA	0,0	0,0	0,0	0,0	0,0	0,0	0,0	0,5	0,0	0,5	1,6	0,0	1,7	0,0	3,1	4,8	23	0,36	0,37
233	CARCINOMA IN SITU	0,0	0,0	0,0	0,2	2,3	4,0	8,9	10,9	12,2	7,8	7,9	4,8	6,2	16,4	8,2	7,8	297	4,68	4,54
C00	LABIO	0,0	0,0	0,0	0,0	0,0	0,0	0,0	0,2	0,0	0,3	0,0	0,0	0,0	0,0	1,0	0,0	3	0,05	0,05
C01	BASE DE LA LENGUA	0,0	0,0	0,0	0,0	0,0	0,0	0,0	0,0	0,3	0,0	1,0	0,0	0,6	1,5	4,1	0,0	11	0,17	0,21
C02	OTRAS PARTES Y LAS NO ESPECIFICADAS DE LA LENGUA	0,0	0,0	0,0	0,2	0,0	0,0	0,6	0,5	0,5	0,7	3,6	3,4	0,8	3,1	6,0		42	0,66	0,64
C03	ENCÍA	0,2	0,0	0,0	0,0	0,0	0,0	0,2	0,2	0,0	0,5	0,0	0,0	1,1	0,0	1,0	3,0	13	0,2	0,19
C04	PISO DE LA BOCA	0,0	0,0	0,0	0,0	0,0	0,0	0,0	0,0	0,0	0,0	0,0	0,0	0,8	0,0	1,2		3	0,05	0,04
C05	PALADAR	0,0	0,0	0,0	0,0	0,2	0,0	0,0	0,0	0,5	0,0	0,3	0,8	0,0	0,8	1,0	3,6	14	0,22	0,20
C06	OTRAS PARTES Y LAS NO ESPECIFICADAS DE LA BOCA	0,0	0,0	0,0	0,0	0,0	0,2	0,0	0,0	0,0	0,0	0,4	0,6	0,8	0,0	1,2		6	0,09	0,09
C07	GLÁNDULA PARÓTIDA	0,0	0,2	0,0	0,0	0,0	0,0	0,2	0,0	0,5	0,3	0,3	0,4	1,7	1,5	2,1	0,6	15	0,24	0,28
C08	OTRAS GLÁNDULAS SALIVALES MAYORES Y LAS NO ESPECIFICADAS	0,0	0,0	0,0	0,0	0,0	0,0	0,2	0,2	0,0	0,0	0,0	0,8	0,6	0,8	2,1	1,2	10	0,16	0,15
C09	AMÁGDALA	0,0	0,0	0,0	0,0	0,0	0,0	0,2	0,0	0,0	0,8	0,0	1,2	0,0	2,2	3,1	3,0	18	0,28	0,30
C10	OROFARINGE	0,0	0,0	0,0	0,2	0,0	0,0	0,0	0,0	0,0	0,0	0,0	0,0	0,0	0,0	0,0	0,0	1	0,02	0,02
C11	NASOFARINGE	0,0	0,0	0,0	0,0	0,0	0,0	0,0	0,0	0,0	0,0	0,0	0,0	0,0	0,0	0,0	0,6	1	0,02	0,01
C14	OTROS SITIOS Y MAL DEFINIDOS DEL LABIO, LA CAVIDAD BUCAL Y LA FARINGE	0,0	0,0	0,0	0,0	0,0	0,0	0,0	0,0	0,3	0,3	0,0	0,0	0,0	0,0	0,0	0,6	3	0,05	0,05
C15	ESÓFAGO	0,0	0,0	0,0	0,0	0,0	0,0	0,4	0,0	0,0	0,3	0,7	1,2	2,8	1,5	6,1	8,4	35	0,55	0,56
C16	ESTÓMAGO	0,0	0,0	0,2	0,4	0,9	1,5	2,5	5,67	8,4	14,5	17,4	27,1	30,3	41,1	59,3	138,0	659	10,39	10,43
C17	INTESTINO DELGADO	0,0	0,0	0,0	0,0	0,2	0,0	0,4	0,9	0,5	0,5	1,3	4,8	2,8	2,2	5,1	7,2	52	0,82	0,82
C18	COLON	0,0	0,2	0,2	0,4	0,7	0,4	2,5	3,4	5,8	5,9	12,4	19,5	27,0	38,1	45,0	108,0	493	7,77	7,88
C19	UNIÓN RECTOSIGMOIDEA	0,0	0,0	0,0	0,0	0,2	0,2	0,2	0,0	0,3	0,3	0,3	2,0	1,7	0,8	4,1	5,4	28	0,44	0,45
C20	RECTO	0,0	0,0	0,0	0,0	0,0	0,4	0,8	1,1	2,5	1,6	6,6	6,8	12,9	12,7	26,6	18,0	160	2,52	2,79
C21	ANO Y CONDUCTO ANAL	0,0	0,0	0,0	0,0	0,0	0,2	0,0	0,5	0,0	0,8	2,0	2,8	6,2	8,2	8,2	11,4	68	1,07	1,19
C22	HIGADO Y CONDUCTOS BILIARES	1,4	0,3	0,0	0,2	0,4	0,4	0,6	0,7	1,5	2,4	3,6	7,6	9,0	25,4	34,8	68,4	264	4,16	4,25
C23	VESÍCULA BILIAR	0,0	0,0	0,0	0,0	0,0	0,0	0,4	0,0	0,8	1,3	2,0	3,2	6,2	9,0	8,2	15,6	81	1,28	1,37
C24	OTRAS PARTES Y LAS NO ESPECIFICADAS DE LAS VÍAS BILIARES	0,0	0,0	0,0	0,0	0,0	0,0	0,0	0,5	0,8	0,8	0,7	4,0	1,1	4,5	9,2	12,0	57	0,9	0,91
C25	PÁNCREAS	0,0	0,0	0,0	0,0	0,2	0,4	1,0	0,2	1,8	0,3	3,9	5,6	9,6	10,5	18,4	34,2	149	2,35	2,40
C26	OTROS SITIOS Y MAL DEFINIDOS DE LOS ORGANOS DIGESTIVOS	0,0	0,0	0,0	0,0	0,0	0,0	0,0	0,0	0,0	0,0	0,0	0,0	0,0	0,8	0,0	0,6	2	0,03	0,03
C30	CAVIDAD NASAL Y OÍDO MEDIO	0,0	0,0	0,0	0,0	0,2	0,0	0,2	0,0	0,3	0,0	0,3	0,0	0,0	0,8	0,0	0,0	5	0,08	0,08
C31	SENOS PARANASALES	0,0	0,0	0,0	0,0	0,0	0,2	0,0	0,5	0,0	0,5	0,3	0,4	0,0	2,2	1,0	1,8	14	0,22	0,24
C32	LARINGE	0,0	0,0	0,0	0,0	0,2	0,0	0,0	0,0	1,0	0,3	0,3	0,8	0,6	0,0	3,1	4,8	21	0,33	0,32
C34	BRONQUIOS Y PULMÓN	0,0	0,0	0,0	0,0	0,0	0,4	1,7	1,4	2,5	4,8	5,9	8,8	24,7	27,6	48,1	74,4	337	5,31	5,56
C37	TIMO	0,0	0,0	0,2	0,0	0,0	0,0	0,0	0,0	0,0	0,0	0,0	0,0	0,0	0,0	0,0	0,0	1	0,02	0,01
C38	CORAZÓN, MEDIASTINO Y PLEURA	0,2	0,0	0,3	0,2	0,5	0,2	0,2	0,7	0,5	0,3	0,0	1,6	1,7	1,5	4,1	5,4	37	0,58	0,58
C40	HUESOS, ARTICULACIONES Y CARTÍLAGOS ARTICULARES DE LOS MIEMBROS	0,0	0,2	0,5	1,0	0,0	0,2	0,6	0,0	0,0	1,3	0,0	1,6	0,0	1,5	1,0	1,8	29	0,46	0,43
C41	HUESOS, ARTICULACIONES Y CARTÍLAGOS ARTICULARES DE OTROS SITIOS Y DE LOS NO ESPECIFICADOS	0,0	0,0	0,0	0,2	0,2	0,0	0,2	0,5	0,5	1,1	0,7	1,2	0,6	1,5	3,1	0,6	23	0,36	0,37
C42	SISTEMA HEMATOPOYETICO Y RETICULOENDOTELIAL	7,9	4,8	4,3	5,0	3,1	3,8	4,2	4,5	4,3	7,8	12,4	16,0	21,4	32,1	51,1	49,8	549	8,65	9,16

CIE	LOCALIZACIÓN TOPOGRÁFICA	GRUPOS DE EDAD																TOTAL CASOS	TASA CRUDA	TASA ESTÁNDAR	
		0-4	5-9	10-14	15-19	20-24	25-29	30-34	35-39	40-44	45-49	50-54	55-59	60-64	65-69	70-74	>75				DESC
C44	PIEL	0,0	0,3	0,3	0,4	0,5	1,8	7,5	10,9	15,0	23,3	40,6	53,5	110,7	146,3	212,7	380,9	1748	27,55	28,53	
C47	NERVIOS PERIFÉRICOS Y SISTEMA NERVIOSO AUTONOMO	0,0	0,0	0,0	0,0	0,0	0,0	0,0	0,0	0,3	0,0	0,3	0,0	0,6	0,0	0,0	0,0	3	0,05	0,06	
C48	PERITONEO Y RETROPERITONEO	0,7	0,0	0,2	0,0	0,2	0,0	0,0	0,2	0,3	1,3	2,0	0,8	1,1	1,5	1,0	3,6	32	0,5	0,51	
C49	TEJIDO CONJUNTIVO, SUBCUTANEO Y DE OTROS TEJIDOS BLANDOS	0,7	0,7	1,0	0,7	1,1	0,9	0,8	1,4	1,5	1,3	3,6	6,0	2,3	9,7	10,2	8,4	117	1,84	1,92	
C50	MAMA	0,0	0,0	0,0	0,4	0,9	4,9	11,6	24,5	49,2	73,0	84,8	111,7	150,6	156,8	145,2	146,4	2072	32,66	35,24	
C51	VULVA	0,0	0,0	0,0	0,0	0,0	0,2	0,0	0,5	0,3	0,3	0,7	1,2	2,8	3,0	10,2	8,4	43	0,68	0,73	
C52	VAGINA	0,2	0,0	0,0	0,2	0,0	0,0	0,0	0,0	0,5	0,0	0,0	1,2	1,7	1,5	0,0	6,0	22	0,35	0,35	
C53	CUELLO UTERINO	0,0	0,0	0,0	0,2	1,6	12,3	30,4	36,8	48,5	45,1	54,0	65,4	68,0	72,4	71,6	85,2	1516	23,9	24,11	
C54	CUERPO UTERINO	0,0	0,0	0,0	0,0	0,4	0,9	1,5	3,4	3,8	7,2	11,5	20,7	33,2	36,6	31,7	28,8	346	5,45	6,09	
C55	ÚTERO	0,0	0,0	0,0	0,2	0,4	0,2	0,7	0,8	0,5	2,6	1,6	2,8	1,5	1,0	8,4	8,4	46	0,73	0,70	
C56	OVARIO	0,5	0,5	1,5	1,7	2,6	3,1	2,1	4,3	9,4	10,2	14,1	18,4	16,3	20,9	22,5	15,6	356	5,61	5,89	
C57	OTROS ÓRGANOS GENITALES FEMENINOS Y LOS NO ESPECIFICADOS	0,0	0,0	0,0	0,0	0,2	0,5	0,0	0,0	0,0	0,0	0,0	0,0	0,0	0,8	1,0	0,6	7	0,11	0,10	
C58	PLACENTA	0,0	0,0	0,0	0,0	0,2	0,0	0,4	0,0	0,0	0,0	0,0	0,0	0,0	0,0	0,0	0,0	3	0,05	0,03	
C64	RIÑÓN	2,2	0,5	0,2	0,0	0,2	0,2	0,2	0,5	2,3	3,5	8,2	10,0	14,6	23,2	13,3	18,0	194	3,06	3,45	
C65	PELVIS RENAL	0,0	0,0	0,0	0,0	0,0	0,0	0,0	0,0	0,0	0,0	0,3	0,0	0,0	0,0	0,0	1,2	3	0,05	0,04	
C67	VEJIGA URINARIA	0,0	0,0	0,0	0,2	0,0	0,2	0,2	0,2	0,3	0,8	0,7	2,4	3,4	1,5	13,3	17,4	66	1,04	1,04	
C68	OTROS ÓRGANOS URINARIOS Y LOS NO ESPECIFICADOS	0,0	0,0	0,0	0,0	0,0	0,0	0,0	0,0	0,0	0,0	0,3	0,0	0,0	0,0	0,0	0,0	1	0,02	0,02	
C69	OJO Y ANEXOS	1,4	0,3	0,0	0,0	0,4	0,2	0,2	0,0	0,0	0,5	1,3	2,4	0,0	0,8	2,1	7,2	41	0,65	0,65	
C70	MENINGES	0,0	0,0	0,0	0,0	0,2	0,2	0,0	0,0	0,3	0,0	1,0	0,8	0,0	0,0	0,0	0,0	8	0,13	0,12	
C71	ENCÉFALO	3,3	2,4	1,0	1,6	2,4	2,2	2,7	2,3	1,5	4,0	7,5	8,0	9,0	11,2	10,2	18,0	233	3,67	3,82	
C72	MÉDULA ESPINAL, NERVIOS CRANEALES Y DE OTRAS PARTES DEL SISTEMA NERVIOSO CENTRAL	0,3	0,0	0,3	0,0	0,0	0,0	0,0	0,0	0,0	0,3	0,3	0,0	0,6	0,8	0,0	0,0	8	0,13	0,15	
C73	GLÁNDULA TIROÍDES	0,0	0,0	0,8	1,7	3,0	6,7	10,2	14,1	15,2	14,5	16,1	17,6	19,1	23,9	18,4	23,4	514	8,1	8,06	
C74	GLÁNDULA SUPRARRENAL (ADRENAL)	0,0	0,0	0,0	0,2	0,0	0,0	0,0	0,2	0,0	0,0	0,3	0,0	0,0	0,0	0,0	0,6	4	0,06	0,06	
C75	OTRAS GLANDULAS ENDOCRINAS Y ESTRUCTURAS AFINES	0,0	0,0	0,0	0,0	0,0	0,0	0,2	0,0	0,0	0,0	0,0	0,0	0,0	0,0	0,0	0,0	1	0,02	0,01	
C76	SITIOS MAL DEFINIDOS Y OTROS	0,3	0,0	0,3	0,0	0,4	0,0	0,2	0,0	0,0	0,5	0,7	0,0	2,3	0,0	3,1	3,0	23	0,36	0,38	
C77	GANGLIOS LINFÁTICOS	0,3	1,2	0,5	1,9	1,1	2,7	1,7	1,4	3,3	3,8	7,9	8,4	13,5	18,7	23,5	31,2	255	4,02	4,20	
C80	SITIO PRIMARIO DESCONOCIDO	0,0	0,0	0,2	0,2	0,9	0,5	1,5	3,0	3,8	7,8	10,8	15,2	22,5	26,9	37,8	49,2	341	5,38	5,71	
TODOS LOS SITIOS - NUM. CASOS		114	68	72	98	144	276	507	604	795	946	1075	1183	1155	1078	972	2435	5	11527		
TODOS LOS SITIOS - TASA CRUDA		19,61	11,53	11,84	16,93	25,09	49,96	97,58	137,06	201,70	253,84	352,03	471,84	648,86	804,88	994,08	1460,73			181,7	
TODOS LOS SITIOS - TASA ESTÁNDAR		2,35	1,16	1,03	1,57	1,97	3,94	5,79	8,20	12,15	15,25	17,62	18,88	25,92	24,07	19,83	29,21				189,18
TODOS LOS SITIOS MENOS C44 - NUM. CASOS		114	66	70	96	141	266	468	556	736	859	951	1.049	958	882	764	1.800	3	9779		
TODOS LOS SITIOS MENOS C44 - TASA CRUDA		19,61	11,19	11,52	16,58	24,57	48,15	90,07	126,16	186,73	230,50	311,42	418,40	538,19	658,54	781,35	1079,80			154,14	
TODOS LOS SITIOS MENOS C44 - TASA ESTÁNDAR		2,35	1,13	1,00	1,54	1,93	3,80	5,34	7,55	11,25	13,85	15,59	16,74	21,49	19,68	15,58	21,59				160,41

LOCALIZACIÓN TOPOGRÁFICA SEGÚN DIAGNÓSTICO HISTOLÓGICO Y SEXO. RESIDENTES EN GUAYAQUIL 2010-2014

Área Topográfica	Morfología	Hombres		Mujeres		Total		
		No.	%	No.	%	No.	%	
MELANOMA	872 0 2 Melanoma In Situ	2	17%	1	13%	3	5%	
	872 0 3 Melanoma maligno SAI	9	75%	7	88%	16	35%	
	874 4 3 Melanoma maligno lentiginoso acral	1	8%	0	0%	1	0%	
	Total	12	100%	8	100%	20	100%	
CARCINOMA INSITU	801 0 2 Carcinoma in situ SAI	0	0%	18	26%	18	26%	
	807 0 2 Carcinoma in situ de células escamosas, SAI => Carcinoma epidermoide In Situ SAI	0	0%	50	74%	50	74%	
	Total	0	0%	68	100%	68	100%	
LABIO	801 0 2 Carcinoma in situ SAI	0	0%	1	50%	1	50%	
	809 0 3 Carcinoma basocelular SAI	0	0%	1	50%	1	50%	
	Total	0	0%	2	100%	2	100%	
BASE DE LA LENGUA	807 0 3 Carcinoma epidermoide SAI	2	100%	0	0%	2	0%	
	968 0 3 Linfoma maligno difuso de células grandes SAI	0	0%	1	100%	1	33%	
	Total	2	100%	1	100%	3	100%	
OTRAS PARTES Y LAS NO ESPECIFICADAS DE LA LENGUA	800 0 3 Neoplasia maligna	3	38%	1	33%	4	9%	
	807 0 3 Carcinoma epidermoide SAI	4	50%	2	67%	6	18%	
	807 1 3 Carcinoma epidermoide tipo queratinizante SAI	1	13%	0	0%	1	0%	
	Total	8	100%	3	100%	11	100%	
ENCIA	800 0 3 Neoplasia maligna	1	25%	1	25%	2	13%	
	807 0 3 Carcinoma epidermoide SAI	1	25%	2	50%	3	25%	
	807 1 3 Carcinoma epidermoide tipo queratinizante SAI	2	50%	0	0%	2	0%	
	936 4 3 Tumor neuroectodérmico periférico	0	0%	1	25%	1	13%	
	Total	4	100%	4	100%	8	100%	
PISO DE LA BOCA	807 0 3 Carcinoma epidermoide SAI	0	0%	1	100%	1	100%	
	Total	0	0%	1	100%	1	100%	
PALADAR	800 0 3 Neoplasia maligna	2	50%	1	50%	3	17%	
	807 1 3 Carcinoma epidermoide tipo queratinizante SAI	1	25%	0	0%	1	0%	
	820 0 3 Carcinoma adenoides quístico	0	0%	1	50%	1	17%	
	967 0 3 Linfoma maligno difuso de linfocitos pequeños SAI	1	25%	0	0%	1	0%	
	Total	4	100%	2	100%	6	100%	
OTRAS PARTES Y LAS NO ESPECIFICADAS DE LA BOCA	800 0 3 Neoplasia maligna	1	33%	0	0%	1	0%	
	805 1 3 Carcinoma verrugoso SAI	1	33%	0	0%	1	0%	
	807 1 3 Carcinoma epidermoide tipo queratinizante SAI	1	33%	0	0%	1	0%	
	814 0 3 Adenocarcinoma SAI	0	0%	1	50%	1	20%	
	843 0 3 Carcinoma mucoepidermoide	0	0%	1	50%	1	20%	
	Total	3	100%	2	100%	5	100%	
	GLANDULA PAROTIDA	807 0 3 Carcinoma epidermoide SAI	1	33%	0	0%	1	0%
843 0 3 Carcinoma mucoepidermoide		1	33%	0	0%	1	0%	
967 0 3 Linfoma maligno difuso de linfocitos pequeños SAI		0	0%	1	50%	1	20%	
969 0 3 Linfoma maligno folicular SAI		0	0%	1	50%	1	20%	
969 9 3 Linfoma de células B de la zona marginal SAI		1	33%	0	0%	1	0%	
Total		3	100%	2	100%	5	100%	
OTRAS GLANDULAS SALIVALES MAYORES Y LAS NO ESPECIFICADAS		800 0 3 Neoplasia maligna	1	14%	0	0%	1	0%
	807 0 3 Carcinoma epidermoide SAI	1	14%	1	33%	2	10%	
	820 0 3 Carcinoma adenoides quístico	1	14%	2	67%	3	20%	
	843 0 3 Carcinoma mucoepidermoide	1	14%	0	0%	1	0%	
	894 1 3 Carcinoma en adenoma pleomórfico	1	14%	0	0%	1	0%	
	898 2 3 Mioepitelioma maligno	1	14%	0	0%	1	0%	
	959 1 3 Linfoma maligno no Hodgkin SAI	1	14%	0	0%	1	0%	
	Total	7	100%	3	100%	10	100%	
	AMIGDALA	807 0 3 Carcinoma epidermoide SAI	3	50%	3	60%	6	27%
		807 1 3 Carcinoma epidermoide tipo queratinizante SAI	0	0%	1	20%	1	9%
807 2 3 Carcinoma epidermoide de células grandes, no queratinizante		2	33%	0	0%	2	0%	
967 0 3 Linfoma maligno difuso de linfocitos pequeños SAI		1	17%	0	0%	1	0%	
968 0 3 Linfoma maligno difuso de células grandes SAI		0	0%	1	20%	1	9%	
Total		6	100%	5	100%	11	100%	
OROFARINGE		807 0 3 Carcinoma epidermoide SAI	1	100%	0	0%	1	0%
	Total	1	100%	0	100%	1	100%	
NASOFARINGE	807 0 3 Carcinoma epidermoide SAI	1	33%	0	0%	1	0%	
	959 1 3 Linfoma maligno no Hodgkin SAI	1	33%	0	0%	1	0%	
	968 0 3 Linfoma maligno difuso de células grandes SAI	1	33%	0	0%	1	0%	
	Total	3	100%	0	100%	3	100%	

Morfología		Hombres		Mujeres		Total	
		No.	%	No.	%	No.	%
OTROS SITIOS Y MAL DEFINIDOS DEL LABIO, LA CAVIDAD BUCAL Y LA FARINGE	800 0 3 Neoplasia maligna	1	100%	1	100%	2	50%
	Total	1	100%	1	100%	2	100%
ESOFAGO	800 0 3 Neoplasia maligna	3	9%	2	20%	5	4%
	801 0 3 Carcinoma SAI	2	6%	2	20%	4	4%
	807 0 2 Carcinoma in situ de células escamosas, SAI => Carcinoma epidermoide In Situ SAI	1	3%	0	0%	1	0%
	807 0 3 Carcinoma epidermoide SAI	14	40%	2	20%	16	4%
	807 1 3 Carcinoma epidermoide tipo queratinizante SAI	1	3%	0	0%	1	0%
	814 0 3 Adenocarcinoma SAI	7	20%	3	30%	10	7%
	814 4 3 Adenocarcinoma, tipo intestinal	1	3%	0	0%	1	0%
	814 5 3 Carcinoma, tipo difuso	0	0%	1	10%	1	2%
	821 1 3 Adenocarcinoma tubular	3	9%	0	0%	3	0%
	831 0 3 Adenocarcinoma de células claras SAI	1	3%	0	0%	1	0%
	848 0 3 Adenocarcinoma mucinoso	1	3%	0	0%	1	0%
	849 0 3 Carcinoma de células en anillo de sello	1	3%	0	0%	1	0%
	Total	35	100%	10	100%	45	100%
ESTOMAGO	800 0 3 Neoplasia maligna	121	26%	94	32%	215	12%
	800 2 3 Tumor maligno de células pequeñas	0	0%	1	0%	1	0%
	800 4 3 Tumor maligno de células fusiformes	1	0%	0	0%	1	0%
	801 0 3 Carcinoma SAI	18	4%	9	3%	27	1%
	801 0 6 Carcinoma metastásico SAI	0	0%	1	0%	1	0%
	801 3 3 Carcinoma neuroendocrino de células grandes	0	0%	1	0%	1	0%
	802 0 3 Carcinoma indiferenciado SAI	0	0%	2	1%	2	0%
	805 0 3 Carcinoma papilar SAI	1	0%	0	0%	1	0%
	807 0 3 Carcinoma epidermoide SAI	2	0%	1	0%	3	0%
	814 0 3 Adenocarcinoma SAI	131	28%	41	14%	172	5%
	814 4 3 Adenocarcinoma, tipo intestinal	76	16%	42	14%	118	6%
	814 5 3 Carcinoma, tipo difuso	32	7%	20	7%	52	3%
	821 1 3 Adenocarcinoma tubular	31	7%	9	3%	40	1%
	824 0 3 Tumor carcinoide SAI	0	0%	4	1%	4	1%
	824 1 3 Tumor carcinoide argentafin maligno	0	0%	1	0%	1	0%
	824 6 3 Carcinoma neuroendocrino	1	0%	0	0%	1	0%
	826 3 3 Adenocarcinoma en adenoma tubulovelloso	1	0%	0	0%	1	0%
	831 0 3 Adenocarcinoma de células claras SAI	1	0%	0	0%	1	0%
	832 3 3 Adenocarcinoma de células mixtas	0	0%	1	0%	1	0%
	848 0 3 Adenocarcinoma mucinoso	4	1%	2	1%	6	0%
	848 1 3 Adenocarcinoma producto de mucina	2	0%	2	1%	4	0%
	849 0 3 Carcinoma de células en anillo de sello	32	7%	39	13%	71	5%
	849 0 6 Carcinoma metastásico de células en anillo de sello	0	0%	1	0%	1	0%
	880 0 3 Sarcoma SAI	1	0%	0	0%	1	0%
	893 6 1 Tumor del estroma gastrointestinal, SAI	0	0%	1	0%	1	0%
	893 6 3 Sarcoma del estroma gastrointestinal <=> Tumor del estroma gastrointestinal, maligno	6	1%	3	1%	9	0%
	959 0 3 Linfoma maligno SAI	2	0%	0	0%	2	0%
	959 1 3 Linfoma maligno no Hodgkin SAI	0	0%	2	1%	2	0%
	967 0 3 Linfoma maligno difuso de linfocitos pequeños SAI	1	0%	1	0%	2	0%
	968 0 3 Linfoma maligno difuso de células grandes SAI	1	0%	3	1%	4	0%
969 9 3 Linfoma de células B de la zona marginal SAI	4	1%	13	4%	17	2%	
Total	469	100%	294	100%	763	100%	
INTESTINO DELGADO	800 0 3 Neoplasia maligna	2	8%	1	5%	3	2%
	814 0 3 Adenocarcinoma SAI	13	54%	10	53%	23	23%
	814 4 3 Adenocarcinoma, tipo intestinal	0	0%	1	5%	1	2%
	821 1 3 Adenocarcinoma tubular	2	8%	1	5%	3	2%
	824 6 3 Carcinoma neuroendocrino	1	4%	0	0%	1	0%
	826 3 3 Adenocarcinoma en adenoma tubulovelloso	1	4%	1	5%	2	2%
	889 0 3 Leiomiomasarcoma SAI	1	4%	0	0%	1	0%
	893 6 3 Sarcoma del estroma gastrointestinal <=> Tumor del estroma gastrointestinal, maligno	1	4%	1	5%	2	2%
	959 0 3 Linfoma maligno SAI	1	4%	0	0%	1	0%
	959 1 3 Linfoma maligno no Hodgkin SAI	1	4%	2	11%	3	5%
	967 0 3 Linfoma maligno difuso de linfocitos pequeños SAI	1	4%	2	11%	3	5%
	Total	24	100%	19	100%	43	100%

Área Topográfica	Morfología	Hombres		Mujeres		Total		
		No.	%	No.	%	No.	%	
COLON	800 0 3 Neoplasia maligna	53	24%	68	28%	121	15%	
	801 0 2 Carcinoma in situ SAI	0	0%	1	0%	1	0%	
	801 0 3 Carcinoma SAI	5	2%	8	3%	13	2%	
	805 0 3 Carcinoma papilar SAI	0	0%	1	0%	1	0%	
	807 0 2 Carcinoma in situ de células escamosas, SAI => Carcinoma epidermoide In Situ SAI	0	0%	1	0%	1	0%	
	807 0 3 Carcinoma epidermoide SAI	0	0%	1	0%	1	0%	
	814 0 2 Adenocarcinoma In Situ SAI	0	0%	1	0%	1	0%	
	814 0 3 Adenocarcinoma SAI	97	43%	90	37%	187	19%	
	814 1 3 Adenocarcinoma escirro	1	0%	0	0%	1	0%	
	814 4 3 Adenocarcinoma, tipo intestinal	4	2%	6	2%	10	1%	
	814 5 3 Carcinoma, tipo difuso	0	0%	1	0%	1	0%	
	821 0 3 Adenocarcinoma en pólipo adenomatosis	1	0%	1	0%	2	0%	
	821 1 3 Adenocarcinoma tubular	22	10%	28	12%	50	6%	
	824 0 3 Tumor carcinoide SAI	4	2%	3	1%	7	1%	
	824 1 3 Tumor carcinoide argentafin maligno	0	0%	1	0%	1	0%	
	824 6 3 Carcinoma neuroendocrino	2	1%	2	1%	4	0%	
	826 0 3 Adenocarcinoma papilar SAI	1	0%	0	0%	1	0%	
	826 1 3 Adenocarcinoma en adenoma vellosos	0	0%	1	0%	1	0%	
	826 2 3 Adenocarcinoma vellosos	1	0%	0	0%	1	0%	
	826 3 3 Adenocarcinoma en adenoma tubulovellosos	2	1%	4	2%	6	1%	
	848 0 3 Adenocarcinoma mucinoso	16	7%	15	6%	31	3%	
	848 1 3 Adenocarcinoma producto de mucina	6	3%	6	2%	12	1%	
	849 0 3 Carcinoma de células en anillo de sello	2	1%	2	1%	4	0%	
	959 0 3 Linfoma maligno SAI	1	0%	0	0%	1	0%	
	959 1 3 Linfoma maligno no Hodgkin SAI	2	1%	0	0%	2	0%	
	967 0 3 Linfoma maligno difuso de linfocitos pequeños SAI	1	0%	0	0%	1	0%	
	967 5 3 Linfoma maligno difuso mixto de células grandes y pequeñas	1	0%	0	0%	1	0%	
	968 0 3 Linfoma maligno difuso de células grandes SAI	1	0%	1	0%	2	0%	
	969 0 3 Linfoma maligno folicular SAI	0	0%	1	0%	1	0%	
	969 9 3 Linfoma de células B de la zona marginal SAI	1	0%	0	0%	1	0%	
	Total	224	100%	243	100%	467	100%	
	UNION RECTOSIGMOIDEA	807 0 3 Carcinoma epidermoide SAI	1	6%	0	0%	1	0%
		814 0 3 Adenocarcinoma SAI	7	39%	5	50%	12	18%
814 4 3 Adenocarcinoma, tipo intestinal		3	17%	1	10%	4	4%	
821 1 3 Adenocarcinoma tubular		3	17%	4	40%	7	14%	
823 0 3 Carcinoma solido SAI		1	6%	0	0%	1	0%	
848 0 3 Adenocarcinoma mucinoso		3	17%	0	0%	3	0%	
Total	18	100%	10	100%	28	100%		
RECTO	800 0 3 Neoplasia maligna	7	9%	2	4%	9	2%	
	801 0 2 Carcinoma in situ SAI	1	1%	0	0%	1	0%	
	801 0 3 Carcinoma SAI	3	4%	2	4%	5	2%	
	807 0 3 Carcinoma epidermoide SAI	3	4%	3	7%	6	2%	
	807 2 3 Carcinoma epidermoide de células grandes, no queratinizante	0	0%	1	2%	1	1%	
	814 0 3 Adenocarcinoma SAI	36	48%	21	46%	57	17%	
	814 4 3 Adenocarcinoma, tipo intestinal	5	7%	0	0%	5	0%	
	821 1 3 Adenocarcinoma tubular	13	17%	12	26%	25	10%	
	824 0 3 Tumor carcinoide SAI	1	1%	1	2%	2	1%	
	824 3 3 Carcinoide de células calciformes	0	0%	1	2%	1	1%	
	824 6 3 Carcinoma neuroendocrino	1	1%	1	2%	2	1%	
	826 3 3 Adenocarcinoma en adenoma tubulovellosos	1	1%	1	2%	2	1%	
	848 0 3 Adenocarcinoma mucinoso	2	3%	0	0%	2	0%	
	849 0 3 Carcinoma de células en anillo de sello	2	3%	0	0%	2	0%	
	969 9 3 Linfoma de células B de la zona marginal SAI	0	0%	1	2%	1	1%	
Total	75	100%	46	100%	121	100%		
ANO Y CONDUCTO ANAL	800 0 3 Neoplasia maligna	1	10%	0	0%	1	0%	
	801 0 2 Carcinoma in situ SAI	0	0%	1	5%	1	3%	
	807 0 3 Carcinoma epidermoide SAI	2	20%	7	37%	9	24%	
	807 1 3 Carcinoma epidermoide tipo queratinizante SAI	0	0%	2	11%	2	7%	
	808 3 3 Carcinoma basaloide de células escamosas	0	0%	1	5%	1	3%	
	812 3 3 Carcinoma basaloide	1	10%	0	0%	1	0%	
	812 4 3 Carcinoma cloacogénico	0	0%	1	5%	1	3%	
	814 0 3 Adenocarcinoma SAI	4	40%	4	21%	8	14%	
	821 1 3 Adenocarcinoma tubular	2	20%	2	11%	4	7%	
	826 3 3 Adenocarcinoma en adenoma tubulovellosos	0	0%	1	5%	1	3%	
Total	10	100%	19	100%	29	100%		

Área Topográfica	Morfología	Hombres		Mujeres		Total		
		No.	%	No.	%	No.	%	
HIGADO Y CONDUCTOS BILIARES	800 0 3 Neoplasia maligna	79	65%	95	71%	174	37%	
	800 0 6 Neoplasia metastásica	0	0%	1	1%	1	0%	
	801 0 2 Carcinoma in situ SAI	0	0%	1	1%	1	0%	
	801 0 3 Carcinoma SAI	6	5%	5	4%	11	2%	
	801 0 6 Carcinoma metastásico SAI	1	1%	0	0%	1	0%	
	803 4 3 Carcinoma de células poligonales	0	0%	1	1%	1	0%	
	807 0 3 Carcinoma epidermoide SAI	1	1%	2	2%	3	1%	
	814 0 3 Adenocarcinoma SAI	3	2%	7	5%	10	3%	
	816 0 3 Colangiocarcinoma	4	3%	4	3%	8	2%	
	816 2 3 Tumor de Klatskin	1	1%	0	0%	1	0%	
	817 0 3 Carcinoma hepatocelular SAI	23	19%	12	9%	35	5%	
	818 0 3 Carcinoma hepatocelular y colangiocarcinoma mixto	0	0%	1	1%	1	0%	
	826 3 3 Adenocarcinoma en adenoma tubulovelloso	0	0%	1	1%	1	0%	
	844 0 3 Cistoadenocarcinoma SAI	1	1%	0	0%	1	0%	
	880 0 3 Sarcoma SAI	0	0%	1	1%	1	0%	
	883 0 3 Histiocitoma fibroso maligno	1	1%	0	0%	1	0%	
	897 0 3 Hepatoblastoma	0	0%	1	1%	1	0%	
	968 0 3 Linfoma maligno difuso de células grandes SAI	1	1%	0	0%	1	0%	
	968 7 3 Linfoma de Burkitt SAI	0	0%	1	1%	1	0%	
Total		121	100%	133	100%	254	100%	
VESICULA BILIAR	800 0 3 Neoplasia maligna	5	25%	7	20%	12	13%	
	801 0 3 Carcinoma SAI	0	0%	2	6%	2	4%	
	801 0 6 Carcinoma metastásico SAI	0	0%	1	3%	1	2%	
	805 0 3 Carcinoma papilar SAI	0	0%	1	3%	1	2%	
	807 0 3 Carcinoma epidermoide SAI	0	0%	1	3%	1	2%	
	814 0 3 Adenocarcinoma SAI	14	70%	22	63%	36	40%	
	826 3 3 Adenocarcinoma en adenoma tubulovelloso	1	5%	0	0%	1	0%	
	856 0 3 Carcinoma adenoescamoso	0	0%	1	3%	1	2%	
	Total		20	100%	35	100%	55	100%
OTRAS PARTES Y LAS NO ESPECIFICADAS DE LAS VIAS BILIARES	800 0 3 Neoplasia maligna	8	24%	7	23%	15	11%	
	814 0 3 Adenocarcinoma SAI	14	42%	14	47%	28	22%	
	816 0 3 Colangiocarcinoma	4	12%	3	10%	7	5%	
	816 2 3 Tumor de Klatskin	1	3%	0	0%	1	0%	
	821 1 3 Adenocarcinoma tubular	2	6%	2	7%	4	3%	
	826 3 3 Adenocarcinoma en adenoma tubulovelloso	4	12%	1	3%	5	2%	
	843 0 3 Carcinoma mucoepidermoide	0	0%	1	3%	1	2%	
	850 0 2 Carcinoma intraductal no infiltrante, SAI	0	0%	1	3%	1	2%	
	850 0 3 Carcinoma ductal infiltrante	0	0%	1	3%	1	2%	
	Total		33	100%	30	100%	63	100%
PANCREAS	800 0 3 Neoplasia maligna	67	80%	55	70%	122	34%	
	801 0 3 Carcinoma SAI	3	4%	4	5%	7	2%	
	814 0 3 Adenocarcinoma SAI	5	6%	11	14%	16	7%	
	824 0 3 Tumor carcinoide SAI	0	0%	1	1%	1	1%	
	824 6 3 Carcinoma neuroendocrino	1	1%	2	3%	3	1%	
	824 9 3 Tumor carcinoide atípico	0	0%	1	1%	1	1%	
	844 0 3 Cistoadenocarcinoma SAI	1	1%	0	0%	1	0%	
	848 1 3 Adenocarcinoma producto de mucina	1	1%	0	0%	1	0%	
	850 0 3 Carcinoma ductal infiltrante	6	7%	5	6%	11	3%	
Total		84	100%	79	100%	163	100%	
OTROS SITIOS Y MAL DEFINIDOS DE LOS ORGANOS DIGESTIVOS	968 0 3 Linfoma maligno difuso de células grandes SAI	0	0%	1	100%	1	100%	
	Total		0	100%	1	100%	1	100%
SENOS PARANASALES	800 0 3 Neoplasia maligna	1	25%	0	0%	1	0%	
	801 0 3 Carcinoma SAI	0	0%	1	100%	1	20%	
	807 0 3 Carcinoma epidermoide SAI	1	25%	0	0%	1	0%	
	807 2 3 Carcinoma epidermoide de células grandes, no queratinizante	1	25%	0	0%	1	0%	
	848 1 3 Adenocarcinoma producto de mucina	1	25%	0	0%	1	0%	
	Total		4	100%	1	100%	5	100%
LARINGE	800 0 3 Neoplasia maligna	9	35%	1	13%	10	3%	
	801 0 2 Carcinoma in situ SAI	1	4%	0	0%	1	0%	
	807 0 2 Carcinoma in situ de células escamosas, SAI => Carcinoma epidermoide In Situ SAI	0	0%	1	13%	1	3%	
	807 0 3 Carcinoma epidermoide SAI	11	42%	4	50%	15	12%	
	807 1 3 Carcinoma epidermoide tipo queratinizante SAI	3	12%	0	0%	3	0%	
	807 2 3 Carcinoma epidermoide de células grandes, no queratinizante	1	4%	0	0%	1	0%	
	843 0 3 Carcinoma mucoepidermoide	0	0%	1	13%	1	3%	
	923 0 3 Condrioblastoma maligno	0	0%	1	13%	1	3%	
	968 0 3 Linfoma maligno difuso de células grandes SAI	1	4%	0	0%	1	0%	
	Total		26	100%	8	100%	34	100%

Área Topográfica	Morfología	Hombres		Mujeres		Total	
		No.	%	No.	%	No.	%
TRAQUEA	800 0 3 Neoplasia maligna	2	100%	0	0%	2	0%
	Total	2	100%	0	100%	2	100%
BRONQUIOS Y PULMON	800 0 3 Neoplasia maligna	143	62%	109	65%	252	27%
	801 0 3 Carcinoma SAI	9	4%	11	7%	2	3%
						0	
	801 2 3 Carcinoma de células grandes SAI	1	0%	0	0%	1	0%
	801 3 3 Carcinoma neuroendocrino de células grandes	0	0%	1	1%	1	0%
	802 0 3 Carcinoma indiferenciado SAI	1	0%	0	0%	1	0%
	802 2 3 Carcinoma pleomórfico	1	0%	0	0%	1	0%
	804 1 3 Carcinoma de células pequeñas SAI	4	2%	5	3%	9	1%
	804 6 3 Carcinoma de células no pequeñas (C34)	1	0%	0	0%	1	0%
	807 0 3 Carcinoma epidermoide SAI	14	6%	9	5%	2	2%
						3	
	807 1 3 Carcinoma epidermoide tipo queratinizante SAI	3	1%	0	0%	3	0%
	807 2 3 Carcinoma epidermoide de células grandes, no queratinizante	2	1%	0	0%	2	0%
	814 0 3 Adenocarcinoma SAI	40	17%	25	15%	6	6%
						5	
	824 6 3 Carcinoma neuroendocrino	1	0%	1	1%	2	0%
	825 0 3 Adenocarcinoma bronquioalveolar	4	2%	2	1%	6	1%
	825 2 3 Carcinoma bronquioalveolar, no mucinoso	0	0%	1	1%	1	0%
	826 3 3 Adenocarcinoma en adenoma tubulovelloso	2	1%	0	0%	2	0%
	848 1 3 Adenocarcinoma producto de mucina	2	1%	1	1%	3	0%
	880 0 3 Sarcoma SAI	2	1%	1	1%	3	0%
	905 0 3 Mesotelioma maligno	1	0%	0	0%	1	0%
	905 1 3 Mesotelioma fibroso maligno	1	0%	0	0%	1	0%
959 1 3 Linfoma maligno no Hodgkin SAI	0	0%	1	1%	1	0%	
Total	232	100%	167	100%	399	100%	
TIMO	824 6 3 Carcinoma neuroendocrino	1	100%	0	0%	1	0%
	Total	1	100%	0	100%	1	100%
CORAZON, MEDIASTIMO Y PLEURA	800 0 3 Neoplasia maligna	7	23%	4	21%	1	8%
						1	
	801 0 3 Carcinoma SAI	1	3%	0	0%	1	0%
	801 0 9 Carcinomatosis	1	3%	0	0%	1	0%
	802 1 3 Carcinoma de tipo anaplásico SAI	0	0%	1	5%	1	2%
	802 2 3 Carcinoma pleomórfico	0	0%	1	5%	1	2%
	805 0 3 Carcinoma papilar SAI	1	3%	0	0%	1	0%
	807 0 3 Carcinoma epidermoide SAI	1	3%	1	5%	2	2%
	807 1 3 Carcinoma epidermoide tipo queratinizante SAI	1	3%	0	0%	1	0%
	814 0 3 Adenocarcinoma SAI	7	23%	5	26%	1	10%
						2	
	824 6 3 Carcinoma neuroendocrino	0	0%	1	5%	1	2%
	858 0 3 Timoma maligno	1	3%	0	0%	1	0%
	905 0 3 Mesotelioma maligno	1	3%	4	21%	5	8%
	905 2 3 Mesotelioma epitelioides maligno	2	6%	0	0%	2	0%
	906 4 3 Germinoma	2	6%	0	0%	2	0%
	908 0 3 Teratoma maligno SAI	1	3%	0	0%	1	0%
	956 0 3 Neurilemoma maligno	1	3%	0	0%	1	0%
	959 1 3 Linfoma maligno no Hodgkin SAI	0	0%	1	5%	1	2%
	966 3 3 Enfermedad de Hodgkin, tipo esclerosis nodular SAI	0	0%	1	5%	1	2%
	967 0 3 Linfoma maligno difuso de linfocitos pequeños SAI	1	3%	0	0%	1	0%
	968 0 3 Linfoma maligno difuso de células grandes SAI	3	10%	0	0%	3	0%
	Total	31	100%	19	100%	50	100%

Área Topográfica	Morfología	Hombres		Mujeres		Total		
		No.	%	No.	%	No.	%	
HUESOS, ARTICULACIONES Y CARILAGOS ARTICULARES DE LOS MIEMBROS	800 0 3 Neoplasia maligna	3	23%	5	63%	8	24%	
	800 3 3 Tumor maligno de células gigantes	1	8%	0	0%	1	0%	
	880 0 3 Sarcoma SAI	0	0%	1	13%	1	5%	
	883 0 3 Histiocitoma fibroso maligno	2	15%	1	13%	3	5%	
	918 0 3 Osteosarcoma SAI	5	38%	1	13%	6	5%	
	919 2 3 Osteosarcoma yuxtacortical < = > Parostial	1	8%	0	0%	1	0%	
	925 1 3 Tumor maligno de células gigantes de partes blandas	1	8%	0	0%	1	0%	
	Total	13	100%	8	100%	21	100%	
HUESOS, ARTICULACIONES Y CARILAGOS ARTICULARES DE OTROS SITIOS Y DE LOS NO ESPECIFICADOS	800 0 3 Neoplasia maligna	1	20%	1	17%	2	9%	
	800 0 6 Neoplasia metastásica	1	20%	0	0%	1	0%	
	918 0 3 Osteosarcoma SAI	1	20%	1	17%	2	9%	
	922 0 3 Condrosarcoma SAI	0	0%	2	33%	2	18%	
	931 0 3 Ameloblastoma maligno	1	20%	0	0%	1	0%	
	937 0 3 Cordoma	0	0%	1	17%	1	9%	
	967 0 3 Linfoma maligno difuso de linfocitos pequeños SAI	1	20%	0	0%	1	0%	
	973 1 3 Plasmocitoma SAI	0	0%	1	17%	1	9%	
		Total	5	100%	6	100%	11	100%
	SISTEMA HEMATOPOYETICO Y RETICULOENDOTELIAL	800 0 3 Neoplasia maligna	16	7%	16	8%	32	4%
		959 0 3 Linfoma maligno SAI	2	1%	0	0%	2	0%
959 1 3 Linfoma maligno no Hodgkin SAI		1	0%	1	1%	2	0%	
965 0 3 Enfermedad de Hodgkin SAI		3	1%	2	1%	5	0%	
967 0 3 Linfoma maligno difuso de linfocitos pequeños SAI		2	1%	0	0%	2	0%	
967 1 3 Linfoma maligno linfoplasmocítico		1	0%	0	0%	1	0%	
968 0 3 Linfoma maligno difuso de células grandes SAI		2	1%	1	1%	3	0%	
973 2 3 Mieloma múltiple		43	20%	21	11%	64	5%	
975 4 3 Histiocitosis de células de Langerhans, diseminada		1	0%	0	0%	1	0%	
980 0 3 Leucemia SAI		16	7%	9	5%	25	2%	
980 1 3 Leucemia aguda SAI		5	2%	4	2%	9	1%	
982 0 3 Leucemia linfoide SAI		1	0%	0	0%	1	0%	
982 3 3 Leucemia linfoide crónica		5	2%	3	2%	8	1%	
982 6 3 Leucemia de células de Burkitt		1	0%	0	0%	1	0%	
982 7 3 Leucemia linfoma de células T adultas		1	0%	0	0%	1	0%	
983 5 3 Leucemia linfoblástica de células precursoras, SAI		24	11%	37	19%	61	9%	
983 6 3 Leucemia linfoblástica de células B precursoras		4	2%	14	7%	18	3%	
986 0 3 Leucemia mieloide SAI		8	4%	11	6%	19	3%	
986 1 3 Leucemia mieloide aguda		32	15%	23	12%	55	6%	
986 3 3 Leucemia mieloide crónica		16	7%	9	5%	25	2%	
986 6 3 Leucemia promielocítica aguda FAB M3		2	1%	1	1%	3	0%	
986 7 3 Leucemia mielomonocítica aguda FAB M4		1	0%	1	1%	2	0%	
989 6 3 Leucemia mieloide aguda, t(8;21)(q22;q22)		1	0%	0	0%	1	0%	
993 1 3 Panmielosis aguda		2	1%	4	2%	6	1%	
994 0 3 Leucemia de células pilosas => Reticuloendoteliosis leucémica		0	0%	1	1%	1	0%	
995 0 3 Policitemia vera		0	0%	1	1%	1	0%	
996 0 3 Neoplasia mieloproliferativa, SAI / Neoplasia mieloproliferativa crónica		1	0%	2	1%	3	0%	
996 1 3 Mielofibrosis primaria / Mieloesclerosis con metaplasia mieloide		1	0%	0	0%	1	0%	
996 2 3 Trombocitemia idiopática		3	1%	3	2%	6	1%	
997 0 1 Enfermedad linfoproliferativa SAI		1	0%	0	0%	1	0%	
998 0 3 Anemia refractaria sin sideroblastos		0	0%	3	2%	3	1%	
998 6 3 Síndrome mielodisplásico con síndrome de delección (5q-)		0	0%	3	2%	3	1%	
998 9 3 Síndrome mielodisplásico SAI		22	10%	21	11%	43	5%	
		Total	218	100%	191	100%	409	100%

Área Topográfica	Morfología	Hombres		Mujeres		Total		
		No.	%	No.	%	No.	%	
PIEL	800 0 3 Neoplasia maligna	8	1%	6	1%	14	0%	
	801 0 2 Carcinoma in situ SAI	5	0%	4	0%	9	0%	
	801 0 3 Carcinoma SAI	8	1%	11	1%	19	1%	
	801 1 3 Epitelioma maligno	1	0%	0	0%	1	0%	
	802 0 3 Carcinoma indiferenciado SAI	1	0%	0	0%	1	0%	
	805 1 3 Carcinoma verrugoso SAI	1	0%	1	0%	2	0%	
	807 0 2 Carcinoma in situ de células escamosas, SAI => Carcinoma epidermoide In Situ SAI	17	1%	23	2%	40	1%	
	807 0 3 Carcinoma epidermoide SAI	155	13%	99	10%	254	5%	
	807 1 3 Carcinoma epidermoide tipo queratinizante SAI	20	2%	11	1%	31	1%	
	807 2 3 Carcinoma epidermoide de células grandes, no queratinizante	2	0%	4	0%	6	0%	
	807 3 3 Carcinoma epidermoide de células pequeñas, tipo no queratinizante	1	0%	0	0%	1	0%	
	807 4 3 Carcinoma epidermoide de células fusiformes	1	0%	0	0%	1	0%	
	807 5 3 Carcinoma epidermoide pseudoglandular	1	0%	0	0%	1	0%	
	808 1 2 Enfermedad de Bowen	15	1%	10	1%	25	0%	
	808 3 3 Carcinoma basaloide de células escamosas	0	0%	2	0%	2	0%	
	809 0 3 Carcinoma basocelular SAI	492	42%	434	42%	926	20%	
	809 1 3 Carcinoma basocelular multicéntrico	0	0%	3	0%	3	0%	
	809 2 3 Carcinoma basocelular, tipo morfea	2	0%	0	0%	2	0%	
	809 3 3 Carcinoma basocelular, tipo fibroepitelial	1	0%	1	0%	2	0%	
	809 4 3 Carcinoma de células basales y escamosas	0	0%	1	0%	1	0%	
	809 5 3 Carcinoma metatípico	1	0%	0	0%	1	0%	
	809 7 3 Carcinoma de células basales, nodular	341	29%	370	36%	711	17%	
	809 8 3 Carcinoma basal adenoide	2	0%	2	0%	4	0%	
	814 0 3 Adenocarcinoma SAI	3	0%	0	0%	3	0%	
	820 0 3 Carcinoma adenoide quístico	1	0%	0	0%	1	0%	
	824 6 3 Carcinoma neuroendocrino	0	0%	1	0%	1	0%	
	824 7 3 Carcinoma de células de Merkel => Primario cutáneo	0	0%	1	0%	1	0%	
	839 0 3 Carcinoma de los anexos cutáneos	1	0%	0	0%	1	0%	
	841 0 3 Adenocarcinoma sebáceo	2	0%	0	0%	2	0%	
	872 0 2 Melanoma In Situ	12	1%	8	1%	20	0%	
	872 0 3 Melanoma maligno SAI	19	2%	13	1%	32	1%	
	872 1 3 Melanoma nodular	0	0%	1	0%	1	0%	
	873 0 3 Melanoma amelanótico	0	0%	1	0%	1	0%	
	874 3 3 Melanoma de extensión superficial	0	0%	1	0%	1	0%	
	874 4 3 Melanoma maligno lentiginoso acral	1	0%	1	0%	2	0%	
	881 4 3 Fibrosarcoma infantil	0	0%	1	0%	1	0%	
	883 2 3 Dermatofibrosarcoma SAI	1	0%	4	0%	5	0%	
	912 0 3 Hemangiosarcoma	0	0%	1	0%	1	0%	
	914 0 3 Sarcoma de Kaposi	33	3%	0	0%	33	0%	
	967 3 3 Linfoma maligno linfocítico difuso moderadamente diferenciado	0	0%	1	0%	1	0%	
	969 9 3 Linfoma de células B de la zona marginal SAI	1	0%	0	0%	1	0%	
	970 0 3 Micosis fungoide	5	0%	8	1%	13	0%	
	970 2 3 Linfoma de células T. periféricas SAI	2	0%	0	0%	2	0%	
	970 9 3 Linfoma cutáneo	2	0%	1	0%	3	0%	
	971 8 3 Linfoma de células grandes, anaplásico, cutáneo primario C44	1	0%	0	0%	1	0%	
	971 9 3 linfoma de células NK/T, nasal y tipo nasal	1	0%	0	0%	1	0%	
	975 4 3 Histiocitosis de células de Langerhans, diseminada	1	0%	0	0%	1	0%	
	Total		1161	100%	1025	100%	2186	100%
	PERITONEO Y RETROPERITONEO	800 0 3 Neoplasia maligna	7	33%	2	20%	9	6%
		802 0 3 Carcinoma indiferenciado SAI	1	5%	0	0%	1	0%
824 6 3 Carcinoma neuroendocrino		1	5%	0	0%	1	0%	
880 0 3 Sarcoma SAI		0	0%	1	10%	1	3%	
883 0 3 Histiocitoma fibroso maligno		1	5%	0	0%	1	0%	
885 0 3 Liposarcoma SAI		1	5%	1	10%	2	3%	
885 1 3 Liposarcoma bien diferenciado		1	5%	1	10%	2	3%	
885 2 3 Liposarcoma mixoide		1	5%	0	0%	1	0%	
905 0 3 Mesotelioma maligno		1	5%	0	0%	1	0%	
908 0 3 Teratoma maligno SAI		2	10%	0	0%	2	0%	
950 0 3 Neuroblastoma SAI		1	5%	0	0%	1	0%	
956 0 3 Neurilemoma maligno		0	0%	1	10%	1	3%	
965 2 3 Enfermedad de Hodgkin de celularidad mixta SAI		1	5%	1	10%	2	3%	
967 0 3 Linfoma maligno difuso de linfocitos pequeños SAI		1	5%	1	10%	2	3%	
967 1 3 Linfoma maligno linfoplasmocítico		1	5%	0	0%	1	0%	
968 0 3 Linfoma maligno difuso de células grandes SAI		1	5%	2	20%	3	6%	
Total			21	100%	10	100%	31	100%

Área Topográfica	Morfología	Hombres		Mujeres		Total		
		No.	%	No.	%	No.	%	
TEJIDO CONJUNTIVO, SUBCUTANEO Y DE OTROS TEJIDOS BLANDOS	800 0 3 Neoplasia maligna	3	5%	4	10%	7	4%	
	800 2 3 Tumor maligno de células pequeñas	1	2%	0	0%	1	0%	
	880 0 3 Sarcoma SAI	7	12%	3	8%	10	3%	
	880 1 3 Sarcoma fusocelular SAI	2	3%	0	0%	2	0%	
	880 2 3 Sarcoma de células gigantes (excluye Hueso M9250/3)	3	5%	0	0%	3	0%	
	880 4 3 Sarcoma epiteloide	1	2%	1	3%	2	1%	
	880 5 3 Sarcoma indiferenciado	1	2%	0	0%	1	0%	
	881 0 3 Fibrosarcoma SAI	3	5%	1	3%	4	1%	
	881 1 3 Fibromixosarcoma	1	2%	0	0%	1	0%	
	883 0 3 Histiocitoma fibroso maligno	5	8%	7	18%	12	7%	
	885 0 3 Liposarcoma SAI	4	7%	5	13%	9	5%	
	885 1 3 Liposarcoma bien diferenciado	1	2%	1	3%	2	1%	
	885 2 3 Liposarcoma mixoide	2	3%	5	13%	7	5%	
	885 4 3 Liposarcoma pleomórfico	2	3%	0	0%	2	0%	
	885 5 3 Liposarcoma mixto	2	3%	0	0%	2	0%	
	889 0 3 Leiomiomasarcoma SAI	1	2%	2	5%	3	2%	
	890 0 3 Rabdomiosarcoma SAI	1	2%	1	3%	2	1%	
	891 0 3 Rabdomiosarcoma embrionario	0	0%	1	3%	1	1%	
	892 0 3 Rabdomiosarcoma alveolar	1	2%	0	0%	1	0%	
	914 0 3 Sarcoma de Kaposi	10	17%	1	3%	11	1%	
	925 2 3 Tumor tenosinovial maligno de células gigantes	0	0%	1	3%	1	1%	
	926 0 3 Sarcoma de Ewing	2	3%	0	0%	2	0%	
	956 0 3 Neurilemoma maligno	0	0%	3	8%	3	3%	
	967 0 3 Linfoma maligno difuso de linfocitos pequeños SAI	1	2%	1	3%	2	1%	
	967 1 3 Linfoma maligno linfoplasmocítico	0	0%	1	3%	1	1%	
	967 5 3 Linfoma maligno difuso mixto de células grandes y pequeñas	1	2%	0	0%	1	0%	
	968 0 3 Linfoma maligno difuso de células grandes SAI	2	3%	1	3%	3	1%	
	975 4 3 Histiocitosis de células de Langerhans, diseminada	1	2%	0	0%	1	0%	
	975 5 3 Sarcoma histiocito	1	2%	0	0%	1	0%	
	Total		59	100%	39	100%	98	100%
	MAMA	800 0 3 Neoplasia maligna	2	40%	56	14%	58	14%
		801 0 3 Carcinoma SAI	0	0%	6	1%	6	1%
		805 0 3 Carcinoma papilar SAI	0	0%	2	0%	2	0%
807 0 3 Carcinoma epidermoide SAI		0	0%	2	0%	2	0%	
814 0 3 Adenocarcinoma SAI		0	0%	2	0%	2	0%	
820 1 3 Carcinoma cribiforme		0	0%	1	0%	1	0%	
848 0 3 Adenocarcinoma mucinoso		0	0%	4	1%	4	1%	
850 0 2 Carcinoma intraductal no infiltrante, SAI		0	0%	4	1%	4	1%	
850 0 3 Carcinoma ductal infiltrante		2	40%	296	73%	298	72%	
850 1 3 Comedocarcinoma SAI		0	0%	5	1%	5	1%	
850 3 3 Adenocarcinoma papilar intraductal con invasión		0	0%	1	0%	1	0%	
851 0 3 Carcinoma medular SAI		1	20%	6	1%	7	1%	
852 0 3 Carcinoma lobulillar SAI		0	0%	12	3%	12	3%	
852 2 3 Carcinoma ductal infiltrante y lobulillar		0	0%	2	0%	2	0%	
854 3 3 Enfermedad de Paget y carcinoma intraductal de la mama		0	0%	1	0%	1	0%	
880 0 3 Sarcoma SAI		0	0%	1	0%	1	0%	
902 0 3 Tumor filoides maligno		0	0%	2	0%	2	0%	
968 0 3 Linfoma maligno difuso de células grandes SAI		0	0%	1	0%	1	0%	
Total			5	100%	404	100%	409	100%
VULVA		800 0 3 Neoplasia maligna	0	0%	1	6%	1	6%
	801 0 2 Carcinoma in situ SAI	0	0%	1	6%	1	6%	
	807 0 2 Carcinoma in situ de células escamosas, SAI => Carcinoma epidermoide In Situ SAI	0	0%	3	17%	3	17%	
	807 0 3 Carcinoma epidermoide SAI	0	0%	10	56%	10	56%	
	807 2 3 Carcinoma epidermoide de células grandes, no queratinizante	0	0%	1	6%	1	6%	
	814 0 3 Adenocarcinoma SAI	0	0%	2	11%	2	11%	
Total		0	0%	18	100%	18	100%	

Área Topográfica	Morfología	Hombres		Mujeres		Total		
		No.	%	No.	%	No.	%	
VAGINA	800 0 3 Neoplasia maligna	0	0%	1	11%	1	11%	
	801 0 3 Carcinoma SAI	0	0%	2	22%	2	22%	
	805 0 3 Carcinoma papilar SAI	0	0%	1	11%	1	11%	
	807 0 3 Carcinoma epidermoide SAI	0	0%	2	22%	2	22%	
	807 2 3 Carcinoma epidermoide de células grandes, no queratinizante	0	0%	1	11%	1	11%	
	814 0 3 Adenocarcinoma SAI	0	0%	2	22%	2	22%	
	Total	0	0%	9	100%	9	100%	
CUELLO UTERINO	800 0 3 Neoplasia maligna	0	0%	32	7%	32	7%	
	801 0 2 Carcinoma in situ SAI	0	0%	41	8%	41	8%	
	801 0 3 Carcinoma SAI	0	0%	17	4%	17	4%	
	807 0 2 Carcinoma in situ de células escamosas, SAI => Carcinoma epidermoide In Situ SAI	0	0%	83	17%	83	17%	
	807 0 3 Carcinoma epidermoide SAI	0	0%	159	33%	159	33%	
	807 1 3 Carcinoma epidermoide tipo queratinizante SAI	0	0%	29	6%	29	6%	
	807 2 3 Carcinoma epidermoide de células grandes, no queratinizante	0	0%	40	8%	40	8%	
	807 6 2 Carcinoma epidermoide in situ con invasión dudosa del estroma	0	0%	1	0%	1	0%	
	807 6 3 Carcinoma epidermoide microinvasor	0	0%	18	4%	18	4%	
	814 0 2 Adenocarcinoma In Situ SAI	0	0%	2	0%	2	0%	
	814 0 3 Adenocarcinoma SAI	0	0%	50	10%	50	10%	
	826 0 3 Adenocarcinoma papilar SAI	0	0%	2	0%	2	0%	
	826 2 3 Adenocarcinoma vellosos	0	0%	1	0%	1	0%	
	826 3 3 Adenocarcinoma en adenoma tubulovellosos	0	0%	1	0%	1	0%	
	838 0 3 Carcinoma endometriode	0	0%	2	0%	2	0%	
	838 4 3 Adenocarcinoma, tipo endocervical	0	0%	5	1%	5	1%	
	880 0 3 Sarcoma SAI	0	0%	1	0%	1	0%	
	Total	0	0%	484	100%	484	100%	
	CUERPO UTERINO	800 0 3 Neoplasia maligna	0	0%	23	17%	23	17%
		801 0 2 Carcinoma in situ SAI	0	0%	1	1%	1	1%
801 0 3 Carcinoma SAI		0	0%	3	2%	3	2%	
802 0 3 Carcinoma indiferenciado SAI		0	0%	1	1%	1	1%	
807 0 2 Carcinoma in situ de células escamosas, SAI => Carcinoma epidermoide In Situ SAI		0	0%	1	1%	1	1%	
807 0 3 Carcinoma epidermoide SAI		0	0%	5	4%	5	4%	
807 1 3 Carcinoma epidermoide tipo queratinizante SAI		0	0%	4	3%	4	3%	
807 2 3 Carcinoma epidermoide de células grandes, no queratinizante		0	0%	1	1%	1	1%	
814 0 3 Adenocarcinoma SAI		0	0%	36	27%	36	27%	
821 0 3 Adenocarcinoma en pólipo adenomatoso		0	0%	1	1%	1	1%	
826 0 3 Adenocarcinoma papilar SAI		0	0%	2	1%	2	1%	
826 2 3 Adenocarcinoma vellosos		0	0%	1	1%	1	1%	
831 0 3 Adenocarcinoma de células claras SAI		0	0%	1	1%	1	1%	
838 0 3 Carcinoma endometriode		0	0%	49	36%	49	36%	
856 0 3 Carcinoma adenoescamoso		0	0%	1	1%	1	1%	
880 0 3 Sarcoma SAI		0	0%	2	1%	2	1%	
889 0 3 Leiomiomasarcoma SAI		0	0%	1	1%	1	1%	
893 0 3 Sarcoma del estroma endometrial		0	0%	1	1%	1	1%	
895 0 3 Tumor mulleriano mixto		0	0%	1	1%	1	1%	
Total		0	0%	135	100%	135	100%	
UTERO	800 0 3 Neoplasia maligna	0	0%	15	54%	15	54%	
	807 0 2 Carcinoma in situ de células escamosas, SAI => Carcinoma epidermoide In Situ SAI	0	0%	5	18%	5	18%	
	807 2 3 Carcinoma epidermoide de células grandes, no queratinizante	0	0%	3	11%	3	11%	
	814 0 3 Adenocarcinoma SAI	0	0%	2	7%	2	7%	
	838 0 3 Carcinoma endometriode	0	0%	1	4%	1	4%	
	856 0 3 Carcinoma adenoescamoso	0	0%	1	4%	1	4%	
	898 0 3 Carcinosarcoma SAI	0	0%	1	4%	1	4%	
Total	0	0%	28	100%	28	100%		

Área Topográfica	Morfología	Hombres		Mujeres		Total		
		No.	%	No.	%	No.	%	
OVARIO	800 0 3 Neoplasia maligna	0	0%	31	21%	31	21%	
	801 0 3 Carcinoma SAI	0	0%	6	4%	6	4%	
	805 0 3 Carcinoma papilar SAI	0	0%	3	2%	3	2%	
	807 0 3 Carcinoma epidermoide SAI	0	0%	2	1%	2	1%	
	814 0 3 Adenocarcinoma SAI	0	0%	19	13%	19	13%	
	821 1 3 Adenocarcinoma tubular	0	0%	1	1%	1	1%	
	826 0 3 Adenocarcinoma papilar SAI	0	0%	3	2%	3	2%	
	826 3 3 Adenocarcinoma en adenoma tubulovelloso	0	0%	1	1%	1	1%	
	831 0 3 Adenocarcinoma de células claras SAI	0	0%	2	1%	2	1%	
	838 0 3 Carcinoma endometriode	0	0%	1	1%	1	1%	
	844 0 3 Cistadenocarcinoma SAI	0	0%	3	2%	3	2%	
	844 1 3 Cistadenocarcinoma seroso SAI	0	0%	4	3%	4	3%	
	845 0 3 Cistadenocarcinoma papilar SAI	0	0%	5	3%	5	3%	
	846 0 3 Cistadenocarcinoma seroso papilar	0	0%	38	26%	38	26%	
	846 1 3 Carcinoma papilar de superficie serosa	0	0%	3	2%	3	2%	
	846 2 1 Tumor quístico papilar serosa de malignidad limitrofe (bordeline) (56.9)	0	0%	1	1%	1	1%	
	847 0 3 Cistadenocarcinoma mucinoso SAI	0	0%	1	1%	1	1%	
	847 1 3 Cistadenocarcinoma mucinoso papilar	0	0%	3	2%	3	2%	
	848 0 3 Adenocarcinoma mucinoso	0	0%	2	1%	2	1%	
	862 0 3 Tumor maligno de células de la granulosa	0	0%	1	1%	1	1%	
	895 0 3 Tumor mulleriano mixto	0	0%	1	1%	1	1%	
	906 0 3 Disgerminoma	0	0%	5	3%	5	3%	
	907 1 3 Tumor del seno endodérmico	0	0%	1	1%	1	1%	
	908 0 3 Teratoma maligno SAI	0	0%	5	3%	5	3%	
	908 5 3 Tumor mixto de células germinales	0	0%	1	1%	1	1%	
	910 0 3 Coriocarcinoma SAI	0	0%	2	1%	2	1%	
	968 0 3 Linfoma maligno difuso de células grandes SAI	0	0%	1	1%	1	1%	
	Total		0	0%	146	100%	146	100%
	OTROS ORGANOS GENITALES FEMENINOS Y LOS NO ESPECIFICADOS	908 0 3 Teratoma maligno SAI	0	0%	1	100%	1	100%
		Total	0	0%	1	100%	1	100%
PLACENTA	800 0 3 Neoplasia maligna	0	0%	1	50%	1	50%	
	910 0 1 Mola hidatiforme invasora	0	0%	1	50%	1	50%	
	Total	0	0%	2	100%	2	100%	
PENE	800 0 3 Neoplasia maligna	2	6%	0	0%	2	0%	
	805 1 3 Carcinoma verrugoso SAI	2	6%	0	0%	2	0%	
	807 0 2 Carcinoma in situ de células escamosas, SAI => Carcinoma epidermoide In Situ SAI	2	6%	0	0%	2	0%	
	807 0 3 Carcinoma epidermoide SAI	19	59%	0	0%	19	0%	
	807 1 3 Carcinoma epidermoide tipo queratinizante SAI	4	13%	0	0%	4	0%	
	807 2 3 Carcinoma epidermoide de células grandes, no queratinizante	1	3%	0	0%	1	0%	
	809 0 3 Carcinoma basocelular SAI	1	3%	0	0%	1	0%	
	814 0 3 Adenocarcinoma SAI	1	3%	0	0%	1	0%	
Total	32	100%	0	0%	32	100%		
GLANDULA PROSTATICA	800 0 3 Neoplasia maligna	150	25%	0	0%	150	0%	
	801 0 3 Carcinoma SAI	5	1%	0	0%	5	0%	
	812 0 3 Carcinoma de células transicionales SAI	1	0%	0	0%	1	0%	
	814 0 3 Adenocarcinoma SAI	451	74%	0	0%	451	0%	
	855 0 3 Carcinoma de células acinosas	1	0%	0	0%	1	0%	
	889 0 3 Leiomiocarcinoma SAI	1	0%	0	0%	1	0%	
	Sum	609	100%	0	0%	609	100%	
TESTICULOS	800 0 3 Neoplasia maligna	4	8%	0	0%	4	0%	
	800 0 6 Neoplasia metastásica	1	2%	0	0%	1	0%	
	807 0 2 Carcinoma in situ de células escamosas, SAI => Carcinoma epidermoide In Situ SAI	1	2%	0	0%	1	0%	
	864 0 3 Carcinoma de células de Sertoli	1	2%	0	0%	1	0%	
	885 1 3 Liposarcoma bien diferenciado	1	2%	0	0%	1	0%	
	906 1 3 Seminoma SAI	20	42%	0	0%	20	0%	
	906 2 3 Seminoma, tipo anaplásico	4	8%	0	0%	4	0%	
	907 0 3 Carcinoma embrionario SAI	7	15%	0	0%	7	0%	
	907 1 3 Tumor del seno endodérmico	1	2%	0	0%	1	0%	
	908 0 3 Teratoma maligno SAI	1	2%	0	0%	1	0%	
	908 1 3 Teratocarcinoma	2	4%	0	0%	2	0%	
	908 2 3 Teratoma maligno indiferenciado	1	2%	0	0%	1	0%	
	908 5 3 Tumor mixto de células germinales	1	2%	0	0%	1	0%	
	959 1 3 Linfoma maligno no Hodgkin SAI	2	4%	0	0%	2	0%	
	967 0 3 Linfoma maligno difuso de linfocitos pequeños SAI	1	2%	0	0%	1	0%	
Total	48	100%	0	0%	48	100%		

Área Topográfica	Morfología	Hombres		Mujeres		Total	
		No.	%	No.	%	No.	%
OTROS ORGANOS GENITALES MASCULINOS Y LOS NO ESPECIFICADOS	805 1 3 Carcinoma verrugoso SAI	1	33%	0	0%	1	0%
	807 0 3 Carcinoma epidermoide SAI	2	67%	0	0%	2	0%
	Total	3	100%	0	0%	3	100%
RINON	800 0 3 Neoplasia maligna	11	10%	11	16%	22	6%
	801 0 3 Carcinoma SAI	1	1%	0	0%	1	0%
	808 4 3 Carcinoma de células escamosas, tipo células claras	1	1%	0	0%	1	0%
	812 0 3 Carcinoma de células transicionales SAI	4	4%	6	9%	10	3%
	813 0 3 Carcinoma papilar de células transicionales	3	3%	1	1%	4	1%
	826 0 3 Adenocarcinoma papilar SAI	3	3%	0	0%	3	0%
	831 0 3 Adenocarcinoma de células claras SAI	22	20%	18	27%	40	10%
	831 2 3 Carcinoma de células renales	56	51%	23	34%	79	13%
	831 7 3 Carcinoma de células renales, tipo cromóforo	1	1%	2	3%	3	1%
	831 8 3 Carcinoma de células renales, sarcomatoide	2	2%	1	1%	3	1%
	832 0 3 Carcinoma de células granulares	1	1%	1	1%	2	1%
	885 0 3 Liposarcoma SAI	1	1%	0	0%	1	0%
	896 0 3 Nefroblastoma SAI	1	1%	3	4%	4	2%
	965 0 3 Enfermedad de Hodgkin SAI	1	1%	0	0%	1	0%
	967 0 3 Linfoma maligno difuso de linfocitos pequeños SAI	0	0%	1	1%	1	1%
	968 0 3 Linfoma maligno difuso de células grandes SAI	1	1%	0	0%	1	0%
	Total	109	100%	67	100%	176	100%
PELVIS RENAL	812 0 3 Carcinoma de células transicionales SAI	0	0%	1	50%	1	50%
	813 0 3 Carcinoma papilar de células transicionales	0	0%	1	50%	1	50%
	Total	0	0%	2	100%	2	100%
VEJIGA URINARIA	800 0 3 Neoplasia maligna	10	12%	10	29%	20	8%
	801 0 3 Carcinoma SAI	0	0%	1	3%	1	1%
	805 0 3 Carcinoma papilar SAI	1	1%	1	3%	2	1%
	807 0 2 Carcinoma in situ de células escamosas, SAI => Carcinoma epidermoide In Situ SAI	1	1%	0	0%	1	0%
	812 0 3 Carcinoma de células transicionales SAI	50	60%	16	47%	66	14%
	813 0 3 Carcinoma papilar de células transicionales	20	24%	4	12%	24	3%
	814 0 3 Adenocarcinoma SAI	1	1%	0	0%	1	0%
	821 1 3 Adenocarcinoma tubular	0	0%	1	3%	1	1%
	831 0 3 Adenocarcinoma de células claras SAI	1	1%	0	0%	1	0%
	848 0 3 Adenocarcinoma mucinoso	0	0%	1	3%	1	1%
	Total	84	100%	34	100%	118	100%
OJO Y ANEXOS	800 0 3 Neoplasia maligna	0	0%	3	13%	3	8%
	801 0 2 Carcinoma in situ SAI	4	25%	1	4%	5	3%
	807 0 2 Carcinoma in situ de células escamosas, SAI => Carcinoma epidermoide In Situ SAI	3	19%	6	26%	9	15%
	807 0 3 Carcinoma epidermoide SAI	5	31%	9	39%	14	23%
	807 1 3 Carcinoma epidermoide tipo queratinizante SAI	1	6%	1	4%	2	3%
	807 2 3 Carcinoma epidermoide de células grandes, no queratinizante	1	6%	1	4%	2	3%
	872 0 3 Melanoma maligno SAI	0	0%	1	4%	1	3%
	951 0 3 Retinoblastoma SAI	2	13%	1	4%	3	3%
	Total	16	100%	23	100%	39	100%
MENINGES	953 0 3 Meningioma maligno	3	75%	2	100%	5	33%
	953 8 3 Meningioma papilar	1	25%	0	0%	1	0%
	Total	4	100%	2	100%	6	100%
ENCEFALO	800 0 3 Neoplasia maligna	42	37%	39	37%	81	18%
	880 1 3 Sarcoma fusocelular SAI	1	1%	0	0%	1	0%
	937 0 3 Cordoma	0	0%	1	1%	1	0%
	938 0 3 Glioma maligno	1	1%	0	0%	1	0%
	938 2 3 Glioma mixto	1	1%	0	0%	1	0%
	939 1 3 Ependimoma SAI	3	3%	0	0%	3	0%
	940 0 3 Astrocitoma SAI	20	18%	21	20%	41	10%
	940 1 3 Astrocitoma anaplásico	8	7%	3	3%	11	1%
	941 1 3 Astrocitoma gemistocítico	2	2%	0	0%	2	0%
	942 0 3 Astrocitoma fibrilar	6	5%	5	5%	11	2%
	942 1 1 Astrocitoma pilocítico	1	1%	3	3%	4	1%
	944 0 3 Glioblastoma SAI	15	13%	20	19%	35	9%
	945 0 3 Oligodendroglioma SAI	3	3%	2	2%	5	1%
	947 0 3 Meduloblastoma SAI	5	4%	2	2%	7	1%
	947 1 3 Meduloblastoma desmoplásico/Meduloblastoma nodular desmoplásico	1	1%	0	0%	1	0%
	947 3 3 Tumor neuroectodérmico primitivo, SAI	2	2%	0	0%	2	0%
	950 0 3 Neuroblastoma SAI	1	1%	0	0%	1	0%
	950 8 3 Tumor teratoideo/rabdoide atípico	0	0%	1	1%	1	0%
	953 0 3 Meningioma maligno	0	0%	4	4%	4	2%
	956 0 3 Neurilemoma maligno	0	0%	1	1%	1	0%
	968 0 3 Linfoma maligno difuso de células grandes SAI	2	2%	3	3%	5	1%
	Total	114	100%	105	100%	219	100%

Área Topográfica	Morfología	Hombres		Mujeres		Total	
		No.	%	No.	%	No.	%
MEDULA ESPINAL, NERVIOS CRANEALES Y DE OTRAS PARTES DEL SISTEMA NERVIOSO CENTRAL	800 0 3 Neoplasia maligna	0	0%	1	25%	1	14%
	936 4 3 Tumor neuroectodérmico periférico	0	0%	1	25%	1	14%
	940 0 3 Astrocitoma SAI	0	0%	1	25%	1	14%
	947 3 3 Tumor neuroectodérmico primitivo, SAI	2	67%	0	0%	2	0%
	956 0 3 Neurilemoma maligno	1	33%	0	0%	1	0%
	975 4 3 Histiocitos de células de Langerhans, diseminada	0	0%	1	25%	1	14%
	Total	3	100%	4	100%	7	100%
GLANDULA TIROIDES	800 0 3 Neoplasia maligna	5	23%	15	16%	20	13%
	801 0 3 Carcinoma SAI	0	0%	1	1%	1	1%
	802 1 3 Carcinoma de tipo anaplásico SAI	0	0%	1	1%	1	1%
	805 0 3 Carcinoma papilar SAI	1	5%	5	5%	6	4%
	807 0 3 Carcinoma epidermoide SAI	1	5%	0	0%	1	0%
	826 0 3 Adenocarcinoma papilar SAI	15	68%	62	67%	77	54%
	833 0 3 Adenocarcinoma folicular SAI	0	0%	4	4%	4	3%
	834 0 3 Carcinoma papilar, variante folicular	0	0%	2	2%	2	2%
	851 0 3 Carcinoma medular SAI	0	0%	3	3%	3	3%
	Total	22	100%	93	100%	115	100%
GLANDULA SUPRARRENAL (ADRENAL)	800 0 3 Neoplasia maligna	1	100%	0	0%	1	0%
	801 0 3 Carcinoma SAI	0	0%	1	100%	1	50%
	Total	1	100%	1	100%	2	100%
OTRAS GLANDULAS ENDOCRINAS Y ESTRUCTURAS AFINES	800 0 3 Neoplasia maligna	1	33%	0	0%	1	0%
	906 4 3 Germinoma	1	33%	0	0%	1	0%
	936 1 1 Pineocitoma	1	33%	0	0%	1	0%
	Total	3	100%	0	100%	3	100%
SITIOS MAL DEFINIDOS Y OTROS	800 0 3 Neoplasia maligna	6	55%	3	60%	9	19%
	800 0 9 Neoplasia maligna cuya localización, primaria o metastásica, es incierta	0	0%	1	20%	1	6%
	807 0 3 Carcinoma epidermoide SAI	1	9%	0	0%	1	0%
	814 0 3 Adenocarcinoma SAI	0	0%	1	20%	1	6%
	824 6 3 Carcinoma neuroendocrino	1	9%	0	0%	1	0%
	908 1 3 Teratocarcinoma	1	9%	0	0%	1	0%
	956 0 3 Neurilemoma maligno	1	9%	0	0%	1	0%
	968 0 3 Linfoma maligno difuso de células grandes SAI	1	9%	0	0%	1	0%
	Total	11	100%	5	100%	16	100%
	GANGLIOS LINFATICOS	800 0 3 Neoplasia maligna	13	8%	7	8%	20
947 3 3 Tumor neuroectodérmico primitivo, SAI		1	1%	0	0%	1	0%
959 0 3 Linfoma maligno SAI		17	11%	6	7%	23	3%
959 1 3 Linfoma maligno no Hodgkin SAI		25	16%	17	20%	42	7%
965 0 3 Enfermedad de Hodgkin SAI		8	5%	7	8%	15	3%
965 2 3 Enfermedad de Hodgkin de celularidad mixta SAI		5	3%	8	10%	13	3%
966 3 3 Enfermedad de Hodgkin, tipo esclerosis nodular SAI		13	8%	3	4%	16	1%
966 5 3 Enfermedad de Hodgkin, tipo esclerosis nodular, con predominio linfocítico		3	2%	0	0%	3	0%
967 0 3 Linfoma maligno difuso de linfocitos pequeños SAI		14	9%	6	7%	20	3%
967 1 3 Linfoma maligno linfoplasmocítico		0	0%	1	1%	1	0%
967 3 3 Linfoma maligno linfocítico difuso moderadamente diferenciado		2	1%	0	0%	2	0%
967 5 3 Linfoma maligno difuso mixto de células grandes y pequeñas		7	4%	3	4%	10	1%
968 0 3 Linfoma maligno difuso de células grandes SAI		40	26%	19	23%	59	8%
969 0 3 Linfoma maligno folicular SAI		5	3%	2	2%	7	1%
969 1 3 Linfoma maligno folicular mixto de células grandes y pequeñas hendidas		1	1%	1	1%	2	0%
969 5 3 Linfoma maligno folicular de células pequeñas hendidas		0	0%	1	1%	1	0%
969 8 3 Linfoma maligno folicular de células grandes SAI		0	0%	1	1%	1	0%
970 2 3 Linfoma de células T. periféricas SAI		1	1%	2	2%	3	1%
997 0 1 Enfermedad linfoproliferativa SAI		1	1%	0	0%	1	0%
Total		156	100%	84	100%	240	100%

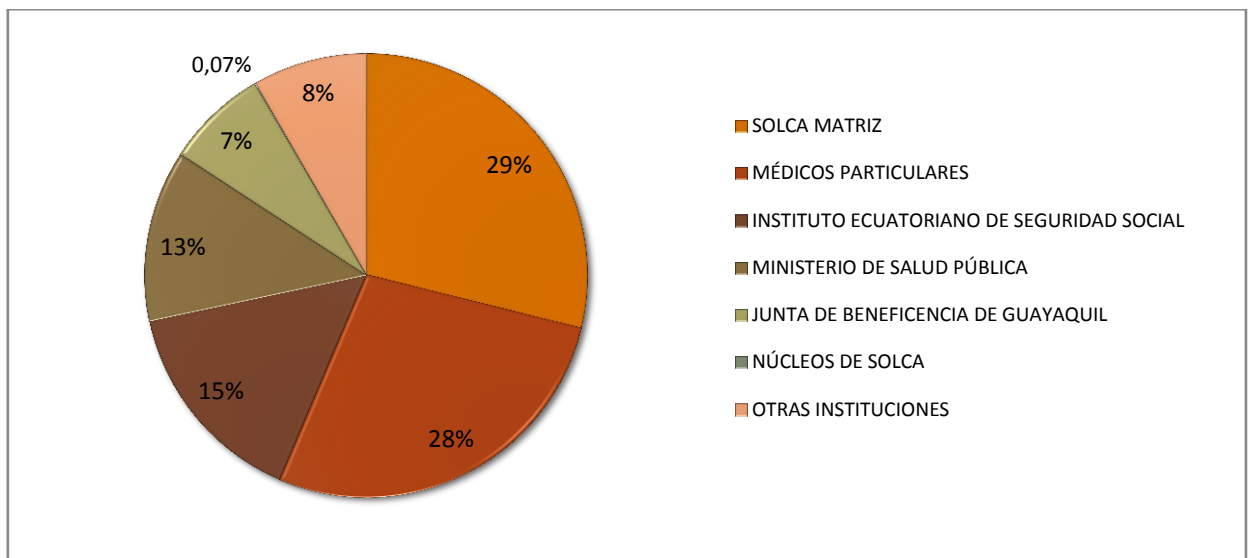
Área Topográfica	Morfología	Hombres		Mujeres		Total	
		No.	%	No.	%	No.	%
SITIO PRIMARIO DESCONOCIDO	800 0 3 Neoplasia maligna	13	10%	14	11%	27	5%
	800 0 6 Neoplasia metastásica	19	15%	12	9%	31	5%
	801 0 3 Carcinoma SAI	2	2%	1	1%	3	0%
	801 0 6 Carcinoma metastásico SAI	15	12%	25	19%	40	10%
	801 0 9 Carcinomatosis	3	2%	1	1%	4	0%
	807 0 3 Carcinoma epidermoide SAI	0	0%	1	1%	1	0%
	807 0 6 Carcinoma metastásico de células escamosas SAI	9	7%	9	7%	18	4%
	807 2 3 Carcinoma epidermoide de células grandes, no queratinizante	1	1%	0	0%	1	0%
	814 0 3 Adenocarcinoma SAI	4	3%	2	2%	6	1%
	814 0 6 Adenocarcinoma metastásico SAI	55	43%	60	47%	115	23%
	824 6 6 Carcinoma neuroendocrino, SAI, metástasis	1	1%	0	0%	1	0%
	826 0 3 Adenocarcinoma papilar SAI	0	0%	1	1%	1	0%
	826 3 3 Adenocarcinoma en adenoma tubulovelloso	0	0%	1	1%	1	0%
	831 0 3 Adenocarcinoma de células claras SAI	1	1%	0	0%	1	0%
	848 0 6 Seudomixoma del peritoneo	3	2%	0	0%	3	0%
	848 1 3 Adenocarcinoma producto de mucina	0	0%	2	2%	2	1%
905 0 3 Mesotelioma maligno	1	1%	0	0%	1	0%	
	Total	127	100%	129	100%	256	100%
TOTAL		4287	100%	4271	100%	8558	100%

INCIDENCIA DE CÁNCER DETERMINADO POR INSTITUCIÓN Y POR SEXO

NO.	INSTITUCIÓN	HOMBRE		MUJER		TOTAL	
		CASOS	PORCENTAJE	CASOS	PORCENTAJE	CASOS	PORCENTAJE
I	SOLCA MATRIZ	2.040	23	3.899	34	5.939	29
II	MÉDICOS PARTICULARES	2.697	30	2.975	26	5.672	28
III	INSTITUTO ECUATORIANO DE SEGURIDAD SOCIAL	1.731	19	1.408	12	3.139	15
IV	MINISTERIO DE SALUD PÚBLICA	1.174	13	1.408	12	2.582	13
V	JUNTA DE BENEFICENCIA DE GUAYAQUIL	691	8	832	7	1.523	7
VI	NÚCLEOS DE SOLCA	4	0,04	10	0,09	14	0.07
VII	OTRAS INSTITUCIONES	720	8	995	9	1.715	8
TOTAL		9.057	100	11.527	100	20.584	100

Fuente: Registro de tumores SOLCA – Guayaquil

Gráfico de Incidencias por Instituciones



Fuente: Registro de tumores SOLCA – Guayaquil

TRABAJOS, PÓSTERES Y CONTRIBUCIONES REALIZADAS

Allemani C., et. al (2018). Global surveillance of trends in cancer survival 2000–2014 (CONCORD-3): analysis of individual records for 37 513 025 patients diagnosed with one of 18 cancers from 322 population-based registries in 71 countries. *Lancet*, 1023-1075

Quinto R., (2016). Caracterización del cáncer infantil en la región de Guayas-Ecuador: Un enfoque multivariante. Maestría en Análisis avanzado de datos multivariantes (Tesis no publicada). Universidad de Salamanca, Salamanca-España.

Allemani C., et. al (2015). Global surveillance of cancer survival 1995-2009: analysis of individual data for 25'676.887 patients from 279 population-based registries in 67 countries (CONCORD-2). *Lancet*, 977-1010.

Pósteres:

Jaramillo L., Roha A., Jaramillo A., Quinto R., Real J., (2018, noviembre). Spatial distribution of the most frequent cancers in Guayaquil. Presentado en la 40th IACR Annual Scientific Conference, Arequipa-Perú.

Quinto R., Jaramillo L., Real J., (noviembre 2018). Pediatric cancer incidence in SOLCA Guayaquil, 2000-2017. Presentado en la 40th IACR Annual Scientific Conference, Arequipa-Perú.

Quinto R., Jaramillo L., Real J., (noviembre 2018). Epidemiological profile of cancer in Guayaquil, 2008-2012. Presentado en la 40th IACR Annual Scientific Conference, Arequipa-Perú.

Quinto R., De la Cruz M., Demey J., (2016, noviembre). Childhood cancer in Ecuador – Guayas region: a multivariate analysis approach. Presentado en el UICC World Cancer Congress: "Mobilising action, Inspiring change", Paris-Francia.

Quinto R., De la Cruz M., Demey J., (2016, noviembre). Mortality caused by malignant tumors in Ecuadorian Region 2005-2014 A demographic study using Multiple Factor Analysis (MFA). Presentado en el UICC World Cancer Congress: "Mobilising action, Inspiring change", Paris-Francia.

Jaramillo A., (2015, noviembre). Cancer Pediátrico en SOLCA Guayaquil, 2000-2010. Presentado en el VII Encuentro de Registros de Cáncer del Ecuador, Guayaquil-Ecuador.

La información de los trabajos y pósteres realizados con datos de los registros de cáncer de base poblacional y hospitalaria, lo pueden encontrar visitando el siguientes link: www.estadisticas.med.ec